



Title	最適呼吸制御装置の研究
Author(s)	三田村, 好矩
Citation	北海道大学. 博士(工学) 甲第736号
Issue Date	1971-03-25
Doc URL	http://hdl.handle.net/2115/32618
Type	theses (doctoral)
File Information	0736.pdf



[Instructions for use](#)

最適呼吸制御装置の研究

北海道大学大学院工学研究科博士課程

三田村 好矩

前文

研究目的

本研究は生体における制御機構を解明し、生体を人工的に制御する可能性を見出すために行なったものである。

問題点

生体は複雑多岐な制御のもとに生命維持を行なっている。呼吸機能を例にとるとその制御機構の主要な特色は(1)多重制御である。(2)最適制御である。(3)適応性がある。などで、その解析は至難である。特に生体浸襲を極力避けながら実験的手法によって解明する必要があり、一般には無数の反応様式から推定する以外による方法が見出せない。又、このような制御が停止した場合に、これを人工的に行なうことは一般には非常に困難である。

本研究のねらい

本研究では最も接近しやすい呼吸機能を例にとり、呼吸停止の生体に自動式呼吸装置を連結して、人工的に呼吸制御を行ない、生体と既知の制御機構を結合した場合の生体反応をることによって、一方では呼吸制御機構を明らかにし、他方では生体の人工制御を実現しようとしたものである。

本研究の成果および批判

本研究は従来の調節呼吸では困難とされていた生化学的平衡保持を可能とするための新しい方法を開発し、生体に対する人工呼吸制御に満足すべき成果をあげた。又、生体制御機構の解明に新しい手段を与えた。

人為的な制御方式によって、生体は満足できる状態にあつたが、実際には生体自体の保有する適応性がその不完全さを補充していると考えられる現象もある。又、人工制御の結果から、直ちに生体自身の制御機構を代替するものと帰納するのに

は多くの危険を含んでいる。

目 次

第1章 緒 言	1
第2章 人工呼吸法概論	4
第3章 最適呼吸制御装置の生理学的基礎	
3・1 緒 言	8
3・2 入力情報	9
3・3 死腔量	
3・3・1 生理学的死腔量と解剖学的死腔量	12
3・3・2 生理学的死腔量測定実験	
3・3・2・1 実験方法	13
3・3・2・2 実験結果	14
3・3・3 結言	15
3・4 最適呼吸数	
3・4・1 緒 言	15
3・4・2 最適呼吸数	16
3・5 呼吸比率	26
第4章 最適呼吸制御装置	
4・1 全体の構成	27
4・2 呼吸制御部	28
4・3 駆動部	32
第5章 呼吸制御装置一生体系の換気動態の解析	
5・1 緒 言	37
5・2 呼吸制御装置一生体系の定式化	37
5・3 計算結果	39
第6章 補助呼吸装置への応用	
6・1 緒 言	43
6・2 全体の構成	43

6・3 換気量制御部

44

第7章 動物実験及び臨床応用

7・1 長期人工呼吸実験

7・1・1 実験方法

50

7・1・1 実験結果

50

7・2 静脈内炭酸ガス負荷実験

7・2・1 実験方法

51

7・2・2 実験結果

52

7・3 補助呼吸装置による動物実験

7・3・1 実験方法

55

7・3・2 実験結果

55

7・4 臨床応用 一 手術時における使用例

7・4・1 方法

57

7・4・2 結果

58

7・5 臨床応用 一 呼吸不全患者の治療

7・5・1 方法

58

7・5・2 結果

59

第8章 考察

64

第9章 結論

69

謝辞

71

参考文献

72

著者の発表論文

76

第 1 章 緒 言

手術中の麻酔においては、患者はしばしば無呼吸に陥る。開胸手術時
は勿論のこと、腹部手術等でも筋弛緩剤を使用する場合には無呼吸となる。
また術後においても筋弛緩剤による遷延性無呼吸や、開心術後 代謝を
下げる目的で故意に無呼吸にすることがある。さらに手術や麻酔以外においても、
脊髄延髓性灰白髓炎、多発神經炎や脊髓炎や麻薬睡眠薬の過量投与による
呼吸不全、重症筋無力症、破傷風、新生児の呼吸窮迫症候群の場合には、
患者は全く呼吸ができないか、できても不十分である。かかる場合には人工呼吸
が必要であり、その適用は広範囲に渡っている。

呼吸の立た機能は、組織に十分の酸素を供給し、組織で生産された過剰の
炭酸ガスを体外に排出することであり、この機能を果たすため、人工呼吸は
適切に制御されなければならない。すなわち換気滅退の場合は、水素イオン濃度
は酸に傾き、低酸素症、炭酸過剰症となり、生命の維持に危険である。他方、
過剰換気の場合には、逆に水素イオン濃度がアルカリに傾き、テタニー、脳血
管収縮^{1), 2)}、肺胞表面活性物質の減少³⁾、自発呼吸への復帰困難⁴⁾等がみら
れる。

正常人では、呼吸は血液中の炭酸ガス分圧、酸素分圧、pH の化学的因素と神経
性因子の二つによって制御されており、動脈血の炭酸ガス分圧、酸素分圧、pH は
代謝の変動に対し一定値に保たれている。従って、人工呼吸時に換気量が
適当であるかどうかを判定するためには、頻回の動脈血採血と、その炭酸ガス分
圧、酸素分圧、pH の分析が最も有効であるとされている。しかし、頻回の動脈血採血は
患者にとって常に可能でないこと、1 回の血液ガス分析に数分の時間を要するた
め、分析結果を換気量に反映するのに時間遅れがあることが問題となる。しかも
血液ガス分析装置は高価で操作が容易でないなどの理由で総合病院以外には
あまり設置されていない。そこで従来の人工呼吸時における換気量調節は、医師
の経験や種々のモグラムに頼ることが多かった。前者の場合は、常時医師が付
いていなければならぬので、長時間に渡って患者に適切な人工呼吸を与えるの
は困難となる。またモグラムについては、Radford^{5), 6)}、Engström⁷⁾、Nunn⁸⁾

Kenny⁹⁾等によつて種々考案されており、特定の患者に対しては、それらの有効性も認められているが、¹⁰⁾ノモグラムによる方法では、換気量は一定であり、患者の代謝や死腔量の変化に対しては全く無効である。そこでAruum¹¹⁾, Lambertsen¹²⁾, Holloman¹³⁾、神山¹⁴⁾らは、呼気終末位炭酸ガス分圧を呼吸ごとに測定し、その値が常に一定にあるように、換気量を制御し、患者の代謝や死腔量が変化しても常に適切な換気量が得られる方法を提案あるいは試みている。これは呼気終末位ガスは肺胞ガスと等しくなり、また肺胞気炭酸ガス分圧は動脈血炭酸ガス分圧と大体一致するといふことを利用したものである。しかし、1回換気量が小さくなつた場合には、呼気終末位ガスと死腔ガスとの混合があり、呼気終末位炭酸ガス分圧は眞の肺胞気炭酸ガス分圧より数 mmHg 小さく測定される。¹³⁾また換気血流比異常により肺胞死腔量が存在する場合には、呼気終末位においても、肺胞気炭酸ガス分圧と動脈血炭酸ガス分圧は一致しない。さらに慢性気管支炎、肺気腫、肺線維症等の患者では、呼気時に全ての肺胞が同時に収縮しない不均等換気のため、呼気終末位炭酸ガス分圧は肺胞気炭酸ガス分圧と一致しない等の理由により、呼気終末位炭酸ガス分圧による換気量制御は充分といえない。そこで、これらの欠点を取り除くため、分時換気量と平均呼気炭酸ガス濃度の積より分時炭酸ガス排出量を求め、その値に比例した換気量を与えて動脈血炭酸ガス分圧を一定に保つようち方法を提案し、それに基づいた人工呼吸制御装置を試作した。この方法によれば、呼気終末位炭酸ガス分圧の代りに平均呼気炭酸ガス濃度を測定しているため、1回換気量の大小、不均等換気には影響されない。また1回換気量の演算に必要とされる死腔量には生理学的死腔量を使用し、肺胞死腔量による誤差を取り除いた。さらにAruum, 神山らの装置では、換気量の変化は、呼吸数を一定にし、1回換気量の変化によってのみ実現しているが、この場合には、換気量の増大に伴ない、1回換気量增加、肺胞内圧の上昇をもたらし、循環系に悪い影響を与える。肺胞破裂の危険がある。ところで生体は常に呼吸仕事量が最小となるような呼吸数で呼吸していると言われているが²²⁾、本装置では呼吸仕事量が最小となる呼吸数で常に人工呼吸を行なわせるような演算回路を持っている。これによつて換気量が増大しなければならない必要が生じた場合には、自発呼吸に近い呼吸様式で1回換気量と呼吸数の両方を増加させて肺胞内圧上昇を抑え、呼吸数一定の調節呼吸にみられる欠点を解消した。また本装置は、若干の回路変更と、気流量を測定

する変換器の付加により、容易に補助呼吸装置に変更することができる。自発呼吸のある患者に対しても使用可能となっている。本装置はまず動物実験によってその効果と安全性を確認し、ついで手術患者や呼吸器疾患者の内科的治療に使用し、現在実用的な臨床機器としての目的を達するまでに至っている。

第2章 人工呼吸法概論

Radford^{5), 6)} は患者の必要ガス換気量の標準値を性別、体重をもとにして求めたグラムを発表した。吸気中に炭酸ガスが含まれていなければ

すと

$$\dot{V}_A = \frac{1}{\bar{F}_{ACO_2}} \cdot \dot{V}_{CO_2} \quad (2-1)$$

の関係式が成立する。ここで \dot{V}_A は肺胞換気量、 \bar{F}_{ACO_2} は平均肺胞気炭酸ガス濃度、 \dot{V}_{CO_2} は今時炭酸ガス排出量である。大気圧を 700~780 mmHg の範囲、室温を 24°C とし、平均肺胞気炭酸ガス分圧が 40 mmHg となるのは必要肺胞換気量を求めると

$$\dot{V}_A = 20 \dot{V}_{CO_2} \quad (2-2)$$

となる。ここで一回換気量を V_T 、呼吸数を f 、死腔量を V_D とすると (2-2) を変形すると。

$$V_T = V_D + \frac{20 \cdot \dot{V}_{CO_2}}{f} \quad (2-3)$$

となる。ところが基礎代謝状態における今時炭酸ガス排出量と体重とはほぼ一定の関係があるから、体重より今時炭酸ガス排出量を推定できる。すなわち

$$\dot{V}_{CO_2} = \theta(W) \quad (2-4)$$

ここで W は体重とする。また死腔量を ml で表現 (t : 敷値と $[V_D]$) とし、体重を lb で表現 (t : 敷値を $[W]$) とする。

$$[V_D] = [W] \quad (2-5)$$

の関係があるから、敷値的には

$$V_T = W + \frac{20 \cdot \theta(W)}{f} \quad (2-6)$$

となり、患者の体重を測定することにより、必要な換気量を求めることができる。この式は患者が基礎代謝状態の時の必要な換気量を求めたものであるから、発熱による代謝が増加した時や、呼吸装置の付加により死腔量が増加した時、高地で人工呼吸を行った時には、それを補正する必要がある。

Engström⁷⁾ は患者の性別、年令、身長、体重より必要な換気量を求めるエクランを発表した。身長と体重より体表面積を求り、その値と性別、年令を基にした、必要な換気量を求める。彼は、また新生児、小児用のエクランも作製した。

Nunn⁸⁾ は動脈血炭酸ガス分圧、肺胞酸素分圧を希望値に保つことによる換気量と吸入酸素ガス濃度を患者の性別、体重より求めた。肺胞炭酸ガス分圧を P_{ACO_2} 、大気圧 P_B 、吸入炭酸ガス濃度を F_{CO_2} とする。Bohr の関係式より

$$P_{ACO_2} = P_B \cdot \left(\frac{V_{CO_2}}{V_A} + F_{CO_2} \right) \quad (2 \cdot 7)$$

となる。この式は今時炭酸ガス排出量と、性別、体重とは一定の関係があるから、吸入気に炭酸ガスが含まれるとして、大気圧を 760 mmHg とすれば、(2.7) 式より動脈血炭酸ガス分圧を希望値に保つことによる肺胞換気量が求まる。さらに死腔量を考慮し肺胞換気量は、分時換気量の $\frac{2}{3}$ という関係を用いると必要な分時換気量が求まる。次に肺胞炭酸ガス分圧を P_{ACO_2} 、吸入酸素分圧を P_{IO_2} 、呼吸商を R とすると

$$P_{AO_2} = P_{IO_2} - \frac{P_{ACO_2}}{R} \cdot F \quad (2 \cdot 8)$$

の関係が成立する。 $T = T = L$

$$F = 1 - F_{IO_2} (1 - R)$$

である。ここで F_{IO_2} は吸入酸素ガス濃度である。呼吸商を $0.8 \sim 1$ 、 F_{IO_2} を空気の 21% とすると、(2.7) 式より求まつた肺胞炭酸ガス分圧に対して、肺胞炭酸ガス分圧を希望値に保つことによる吸入酸素ガス濃度が求まる。

Kenny⁹⁾ は患者の代謝か体重により推定できることを利用し、必要な換気量 V を

$$\dot{V} = K \cdot W^a \quad (2-9)$$

の形で実験的に求めた。ここで W は体重、 K, a は定数である。すなはち動脈血の pH が 7.35 ~ 7.44, P_{CO_2} が 36 ~ 44 mmHg, Standard bicarbonate が 男子で 24.4 m-equiv/l \pm 1.8, 女子で 23.7 m-equiv/l \pm 1.8 を満足するように換気量を調整し、そのときの換気量と患者の体重より (2-9) 式の定数 K, a を決定した。次に (2-9) 式を基にして必要換気量を求めた。

Fraumin¹¹⁾ は人工呼吸時に炭酸ガス分圧を狭い範囲で一定に保つ呼吸器を開発した。呼気終末位ガスをサンプラーでサンプルし、その炭酸ガス濃度を分析器で測定する。測定された値と設定炭酸ガス濃度値とを比較し、その差信号で吸入回路の途中に挿入した圧調節器を活動させ、吸入ガスの圧を調節し換気量を制御した。この装置により精密な炭酸ガス分圧調節ができるところ。

Lambertsen¹²⁾ は肺胞炭酸ガス分圧を一定に保つ制御系を開発した。呼気終末位の炭酸ガス濃度を赤外線炭酸ガス分析器で測定し、その値を記録する。記録された値と観察し、その値が希望値になるよう高炭酸ガス吸入気と低炭酸ガス吸入気との混合比率を手動で調節し、肺胞炭酸ガス分圧を一定に保つ。この制御系を自発呼吸として患者に適用し所期の結果を得られる。

Holloman¹³⁾ は肺胞炭酸ガス分圧を一定に保つサンプル値制御装置を開発した。この装置では、呼気終末位炭酸ガス濃度をサンプリングし、その値を一次ホールドし、設定炭酸ガス濃度との差を求め、その差を比例積分調節器に入れる。調節器の出力によりサーボモーターを駆動し、サーボモーターと直結した弁の開閉により炭酸ガス吸入量を自動的に調節して、肺胞炭酸ガス分圧を一定に保つ。このシステムを自発呼吸下で患者に適用し良好な結果を得られる。

神山¹⁴⁾ は心肺機能のほぼ正常な患者を対象として患者の肺胞気

炭酸ガス分圧を常時測定し、これを一定に保つように換気量を調節する調節呼吸の自動制御装置を製作した。赤外線炭酸ガス分析計で呼気終末位炭酸ガス分圧を測定し、その値を適正肺胞気炭酸ガス分圧と比較してその誤差信号を比例積分動作調節計に入れ、その出力信号で1回換気量を調節し、分時換気量を制御した。麻酔時に適用し、動脈血炭酸ガス分圧、pHが一定に保たれた結果を得ている。また重さう 20mlを注入した時にも、短時間に肺胞気炭酸ガス濃度が安定するのみでいる。

以上の人工呼吸法に関する従来の研究を大別すると、(1)患者の体重、身長、年齢、性別等より分時炭酸ガス排出量と死腔量を推定し、その値に基づいて Bohr の式より適正換気量を求める方法と、(2)呼気終末位炭酸ガス濃度を指標とし、その値が一定となるよう換気量を調節する方法の二つがある。前者の方法は簡便である利点はあるが、心肺機能に疾患のある患者では、分時炭酸ガス排出量や死腔量の推定値の誤差が大きくなることがあること、また分時炭酸ガス排出量や死腔量が時間とともに変化することより、この方法は不十分である。後者の方法は、1回換気量が小さい時や、不均等換気、換気血流比異常、拡散障害等がある時には、呼気終末位炭酸ガス分圧と動脈血炭酸ガス分圧とに差が生じ、誤動作の原因となる。

以上の理由より従来の呼吸管理法では不十分な点があり、従来の方法の欠点を取り除く新しい方法が必要となる。

第三章 最適呼吸制御装置の生理学基礎

3-A 緒言

呼吸の主な機能は、組織に十分な酸素を供給し、組織で産生された過剰の炭酸ガスを体外に排出する（こと）である。この機能を保たすため、正常時には、血液の炭酸ガス分压、酸素分压、pHの化学的因素と、神経性因子の二つによって呼吸が制御され、動脈血中の炭酸ガス分压、酸素分压、pHは一定範囲内に保たれている。したがって呼吸制御装置は、血液ガス組成を一定範囲内に保つよう生体の状態に応じて呼吸を制御するものでなければならない。それ故、入力情報は、血液ガス組成と何らかの関係を持つものでなければならず、また対象が生体であることから、その情報収集は安全かつ容易なものでなければならぬ。

次いで、入力情報に基づいて生体の必要とする肺胞換気量を求めるも、ヒトの肺はその構造上、吸入ガスの全てが血液とのガス交換に有効ではなく、その一部は無効となる（=量を死腔量という），呼吸制御装置は肺胞換気量と死腔量の差の換気量（分時換気量）を生体に換気させなければならない。

すなわち呼吸制御装置が直接制御出来るのは分時換気量であるから死腔量の許容が不正確になると、肺胞換気量も希望する値より過不足する（不足となる）、適正な換気が行なわれなくなるから、死腔量の許容は正確な値でなくてはならない。さらに分時換気量を求めて、それを実現する一回換気量と呼吸数の組み合せは複数にあるが、異常に一回換気量と呼吸数の組み合せは、生体の換気や循環に対する悪影響があるから呼吸数と一回換気量の組み合せは、適正に行なわれなければならぬ。呼吸制御装置としては、気管内加压による陽圧呼吸装置を考えるが、この呼吸法は、肺、胸腔に加わる方向性が、自發呼吸と逆であり、=圧が循環系、

特に静脈環流、肺循環に悪影響を与えた。 \Rightarrow 影響を軽減するため、気管内加温装置、呼吸比率が考慮されなければならぬ。以下は、入力情報、死腔量、呼吸数、呼吸比率について述べる。

3-13 入力情報

生体の呼吸制御因子には動脈血炭酸ガス分压、酸素分压、pH、化学的因子と神経性因子がある。呼吸制御装置もこれら因子を全て入力情報として、生体に似せた機構で呼吸を制御するか理想的であるが、实际上不可能である。 \Rightarrow 第一段階としてこれらの因子の中から最も重要な因子を選び出し、それによって換気量を制御すべきである。神経性因子には呼吸制御とは意識や感情による呼吸の制御や筋肉運動時筋肉からの神経を介する呼吸の制御等であり、その情報収集は不可能である。さらに呼吸装置が主として使われる時は麻酔時や病床であるから神経性因子は省略しても良いと思われる。

次に化学的因素であるが、まず“酸素分压については、人工呼吸時には通常吸入気に酸素ガスを混合するから、動脈血酸素分压は換気量が少なくてても正常範囲にある反面、極度の炭酸過剰症を伴うことがある”^{(15), (16), (17)}、換気量制御のために單一の入力情報としては不適当である。炭酸ガス分压については、通常吸入気の炭酸ガス濃度は零であるから、動脈血炭酸ガス分压は、換気量の過不足に従って、増減し換気量が適正かどうか良・指標となりえる。さらに心疾患、貧血、無気肺、肺水腫以外の大抵の場合には、炭酸ガスの排出が十分であれば、動脈血の酸素飽和も十分であると言われていること、無気肺の場合にも高濃度の炭酸ガス吸入により動脈血酸素分压を正常に保つことが出来ることにより、炭酸ガス分压を入力情報として、換気量を制御すれば、酸素分压も正常範囲にある=といふ。pHについては、生体内緩衝系および腎臓により、その値が一定にならうに調節されているから、換気量の

指標として不適である。

以上より、单一の入力情報としては、動脈血炭酸ガス分压をとる、吸入ガスの酸素ガス濃度を調節すれば炭酸ガス分压、酸素分压とも正常範囲に保つことが可能であると思われる。

炭酸ガス分压測定装置としては、クラーク型電極があるが、応答時間、検体の圧や流量の影響を受け易いこと、大きさから、動脈血中炭酸ガス分压を連続測定することは不可能である。さらに、採血や血管切開を避けて、非観血的に動脈血炭酸ガス分压を測定したい。 $t = 3\text{~s}$

Bohr式より

$$(\bar{F}_{ACO_2} - F_{ICO_2}) \cdot \dot{V}_A = \dot{V}_{CO_2}$$

の関係式が成立し、通常吸気中炭酸ガスが含まれないから

$$F_{ICO_2} = 0$$

従って

$$\bar{F}_{ACO_2} \cdot \dot{V}_A = \dot{V}_{CO_2}$$

となる。

$$\bar{F}_{ACO_2} \text{ の代りに } P_{ACO_2} \text{ を用いる}$$

$$\frac{P_{ACO_2}}{P_B - 47} \cdot \dot{V}_A = \dot{V}_{CO_2}$$

となる。 $= 747\text{ (mmHg)}$ は体温が 37°C 時の飽和水蒸気圧である。(たがって)

$$P_{ACO_2} = \frac{\dot{V}_{CO_2}}{\dot{V}_A} \cdot (P_B - 47) \quad (3-1)$$

となる。 \dot{V}_A 生体の1分時炭酸ガス排出量を連続測定すれば、(3-1)式より肺胞気炭酸ガス分压を連続的に求まる。

すなはち (3-1) 式を変形すれば

$$\dot{V}_A = \frac{P_B - 47}{P_{ACO_2}} \cdot \dot{V}_{CO_2} \quad (3-2)$$

とすれば、逆に一定の深さたる肺胞炭酸ガス分压の値を求めて、測定された分時炭酸ガス排出量に対して (3-2) 式で求めた肺胞換気量で生体を換気してやれば、肺胞炭酸ガス分压を希望の値に保つことができる。

さらに肺血流シヤント、換気血流比異常、拡散障害等の疾患がある場合には、肺胞炭酸ガス分压と動脈血炭酸ガス分压は等しくから肺胞炭酸ガス分压を一定に保つてば、動脈血炭酸ガス分压もそれに等しく値を保たれる。上記疾患の場合には動脈血炭酸ガス分压が肺胞炭酸ガス分压より高くなる。 \Rightarrow 場合には等価的に解剖学的死腔量。他にさらに換気量の一部が血液とのガス交換に無効であると考えて良から (\Rightarrow 正確な肺胞死腔量とする)、解剖学的死腔量に肺胞死腔量を加えた生理学的死腔量を (3-2) 式で求めた換気量より多く換気してやれば、 \Rightarrow 場合には動脈血炭酸ガス分压を希望の値に保つことができる。 \therefore 分時炭酸ガス排出量は呼気ガス中の炭酸ガス濃度を \bar{F}_{ECO_2} とすると

$$\dot{V}_{CO_2} = \dot{V}_E \cdot \bar{F}_{ECO_2}$$

とすれば 実際には呼気ガスの平均炭酸ガス濃度と、分時換気量を測定して分時炭酸ガス排出量を求め (3-2) 式より必要な肺胞換気量を求め、 \Rightarrow 逆に求めよう分時換気量を制御すれば良いこととなる。

3. C 死腔量

3. C. 1 生理学的死腔量と解剖学的死腔量

以上の肺はその構造上吸入したガスの全てが血液とガス交換を行なうことができるわけではない。すなはち鼻または口より肺胞に至る気管支の部分は、呼吸により往々よりガスが流入するが、血液とガス交換を行なう機能を持たず、呼吸の機能から差し引かなければ無効な部分となる。このように吸入されたガスうち、ガス交換が行われてから肺胞に到達せず、従てガス組成に何ら変化を受けてそのまま呼出される部分を死腔量といふ。また逆に吸入ガスうちガス交換に有効な部分を肺胞換気量といふから

$$\dot{V}_A = f \cdot (V_T - V_D) \quad (3-3)$$

となる。

死腔量には、解剖学的死腔量と生理学的死腔量の二つがあるといつていい。解剖学的死腔量 $V_D(\text{anat.})$ とは吸入されたガスうち、呼気の最初の部分で吸入されたガスと同じガス組成のまま呼出される部分を言い、Bohr の式より次のように定義される。

$$V_D(\text{anat.}) = \frac{P_{ACO_2} - P_{Eco_2}}{P_{ACO_2}} \cdot V_T$$

ここで P_{Eco_2} は平均呼気炭酸ガス分圧を表す。また生理学的死腔量 ($V_D(\text{physiol.})$) とは、吸入されたガスうちガス交換にあずからずの部分を言い。

$$V_D(\text{physiol.}) = \frac{P_{ACO_2} - P_{Eco_2}}{P_{ACO_2}} \cdot V_T \quad (3-4)$$

で与えられる。

換気量制御の目的は動脈血炭酸ガス分压を一定に保つことであるから、死腔量については、ガス交換に無効である。すなはち生理学的死腔量を採用すべきである。

ところで生理学的死腔量は、一回換気量の増加と共に¹³⁾増加する事が¹⁴⁾ Severinghaus, Nunn,¹⁵⁾ Cooper¹⁶⁾ によって報告されており、その関係をみるべく実験を行つた。

3. C. 2. 生理学的死腔量測定実験

3. C. 2. a 実験方法

雑種成犬 6頭（体重♂～26kg）を使用した。何ら前処理をせず、ヘントベルビタールを静注（30mg/kg），サクシニルコリンクロライド（S. C. C）にて筋弛緩後直ちに気管内挿管を行ない、人工呼吸装置（第4章にて詳述）につなぎ人工呼吸を行つた。呼吸は全時換気量を一定とし、一回換気量と呼吸数を変化させた。全29犬にヘハリント投与し血液凝固を防ぐ。体温は体温計により直腸にて測定した。動脈血は大腿動脈より挿入したカテーテルにて採血した。また同じカテーテルを用い瓦トランジスター（半導光電）にて血圧を常に監視した。動脈血炭酸ガス分压は採血後直ちに Severinghaus P_{CO_2} 検査（Radiometer 社 Copenhagen）で 38°C にて測定し、Severinghaus の結果に基づいて動物の直腸温にて補正（ $t = \alpha^{\circ}\text{C}$ ）。呼気ガスはポリエチレンの袋にて集め、その炭酸ガス濃度を赤外線炭酸ガス分析計（Beckman 社，LB-1）にて測定し平均呼気炭酸ガス分压を求めた。

$$P_{E CO_2} = (P_B - P_{H_2O} \cdot t) \cdot F_{E CO_2} \quad (3-5)$$

ここで $P_{H_2O} \cdot t$ は常温 t における飽和水蒸気压を表す。

一回換気量は人工呼吸器の「ローラー」の動きを光学的に測定して求めた。(第4章にて詳述)。生理学的死腔量は(3-3)式に基づいて計算した。

3. C. 2. b 実験結果

結果を図3.1に示す。

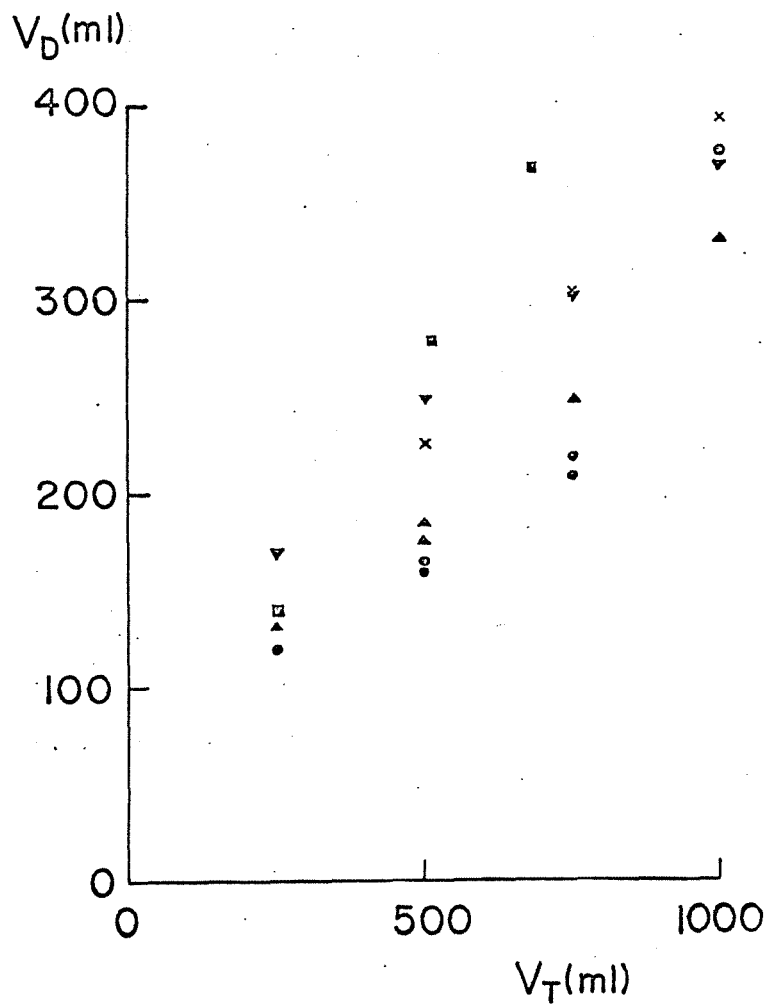


図3.1 生理学的死腔量 - 一回換気量の関係;

26kg ♂ (x), 25kg ♀ (○), 25kg ♂ (△), 12kg ♂ (▽), 8kg ♀ (□)

生理学的死腔量は、一回換気量の増加とともに増加している。両者の関係式を最小二乗法で求めると表3.1のようになる。両者は(3-3)式で近似される。

表 3.1 生理学的死腔量 - 1 回換気量。関係式
関係式は最小二乗法より求めた。

body weight (kg)	sex	physiological dead space (l)
26	M.	$V_D = 0.338V_T + 0.0555$
25	F.	$V_D = 0.348V_T + 0.0044$
25	M.	$V_D = 0.220V_T + 0.0752$
12	M.	$V_D = 0.263V_T + 0.108$
8	F.	$V_D = 0.535V_T + 0.0079$
9.6	M.	$V_D = 0.415V_T + 0.0308$

3. C. 3 緒言

図 3.1 に示されたように生理学的死腔量は 1 回換気量より変化するから、生理学的死腔量は 1 回換気量の関数として評価されるべきである。したがって

$$V_D(\text{physiol.}) = a + b \cdot V_T \quad (3-6)$$

の形で死腔量を評価し、定数、a、b を生体によって決定してやれば、1 回換気量が変化しても常に正しい生理学的死腔量が求まるところである。

3. D 最適呼吸数

3. D. 1 緒言

適正肺胞換気量を実現する呼吸数と 1 回換気量の不適当な組合せは、換気、循環に対して悪影響があるから、その選択は適正に行なわなければならぬ。すなわち

異常に大きくなれば、肺胞換気量は、肺胞内圧を非常に高くし、肺胞損傷の恐れがある。それ程極端でなくとも、1回換気量が大きくなると、それは伴なって肺胞内圧、胸腔内圧は上昇し、それそれ肺血流、静脈環流に悪影響を及ぼし肺循環を悪くする。逆に小さく1回換気量が長時間続くと、肺コンフォーマンスの低下がみられる。

ところで Rahn²²⁾ が与えた肺胞換気量は、特定の呼吸数で、最も効率良く、その換気の仕事は行なわれるべきであると最初に指摘して以来、多くの人々により自発呼吸では、その仕事量が最もなる最適呼吸数で行なわれる事が認められてきた。そこで呼吸装置においても呼吸数として最適呼吸数を選んでいた。最適呼吸数について Otis²³⁾ は呼吸力学系を解析し算出している。しかし、その結果は肺胞換気量の大きさところで、実験結果とあまり良く一致しなかった。三上²⁴⁾ は肺胞換気量の大きさところで呼気予備量が増加すると導入し、アナログ計算機を用いて最適呼吸数を求めた。その結果は肺胞換気量の広い範囲で実験値と一致した。そこで最適呼吸数としては三上らの結果を用いるとした。

3. D. 2. 最適呼吸数

呼吸力学系において、① 肺は1, の肺胞より成る。
 ② 気道抵抗は、吸気時、呼気時とも等しい。③ 肺、胸郭等の質量による慣性抵抗は除外する。④ 肺、胸郭等のコンフォーマンスは、1回換気量の大小によらず一定である。を仮定し、図3.2.1に示すモデルを作成する。

二のモデルより

$$P_A = P_L + P_T + P_{ext} \quad (3-7)$$

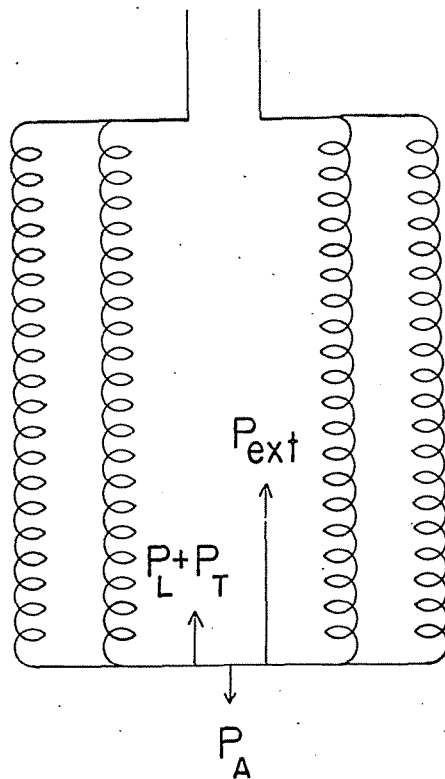
$$P_L = P_{L0} + \frac{1}{C_L} \left\{ \int_0^t \dot{V} d\tau + FRC \right\} \quad (3-8)$$

$$P_T = P_{T0} + \frac{1}{C_T} \left\{ \int_0^t \dot{V} d\tau + FRC \right\} \quad (3-9)$$

$$P_A = -R_1 \cdot \dot{V} - R_2 \cdot \dot{V} |\dot{V}| \quad (3-10)$$

$$P_{ext} = a (\cos \omega t - 1) \quad (3-11)$$

$$t = t_0 \text{ し } \omega = 2\pi f$$



の式を得る。

$t = t_0$ し P_A ; 肺胞内圧,

図3.2 肺の力学系の模型

P_L ; 肺圧, P_T ; 胸郭圧

P_{ext} ; 胸郭に加えられる圧, P_{L0} ; 肺容積が零としたときの假想の肺圧,

胸郭圧, P_{T0} ; 肺容積が零としたときの假想の胸郭圧, C_L ; 肺のコンプライアンス, C_T ; 胸郭のコンプライアンス, \dot{V} ; 呼吸流量速,

FRC ; 機能的残気量, R_1 ; 粘性抵抗, R_2 ; 乱流抵抗, f ; 呼吸数, a ; 定数である。また呼吸仕事は吸気

のみ必要で、呼気は受動的に行なわれる。すると単位時間当たりの換気仕事量は

$$W = f \cdot \int_0^{2f} P_{ext} \dot{V} d\tau \quad (3-12)$$

となる。また肺胞換気量は

$$\dot{V}_A = f \left(\int_0^{2f} \dot{V} d\tau - V_D \right) \quad (3-13)$$

で与えられる。そこで肺胞換気量を一定にして呼吸数を変えてゆき、各呼吸数に対する換気仕事量 E (3-11) 式より求めると仕事量が最小となる最適呼吸数を求める。
29 最適呼吸数-肺胞換気量の関係を図3.3から図3.6
13 示す。²⁴⁾これらの関係は気道抵抗、コンプライアンス、死腔量の値により変化する。

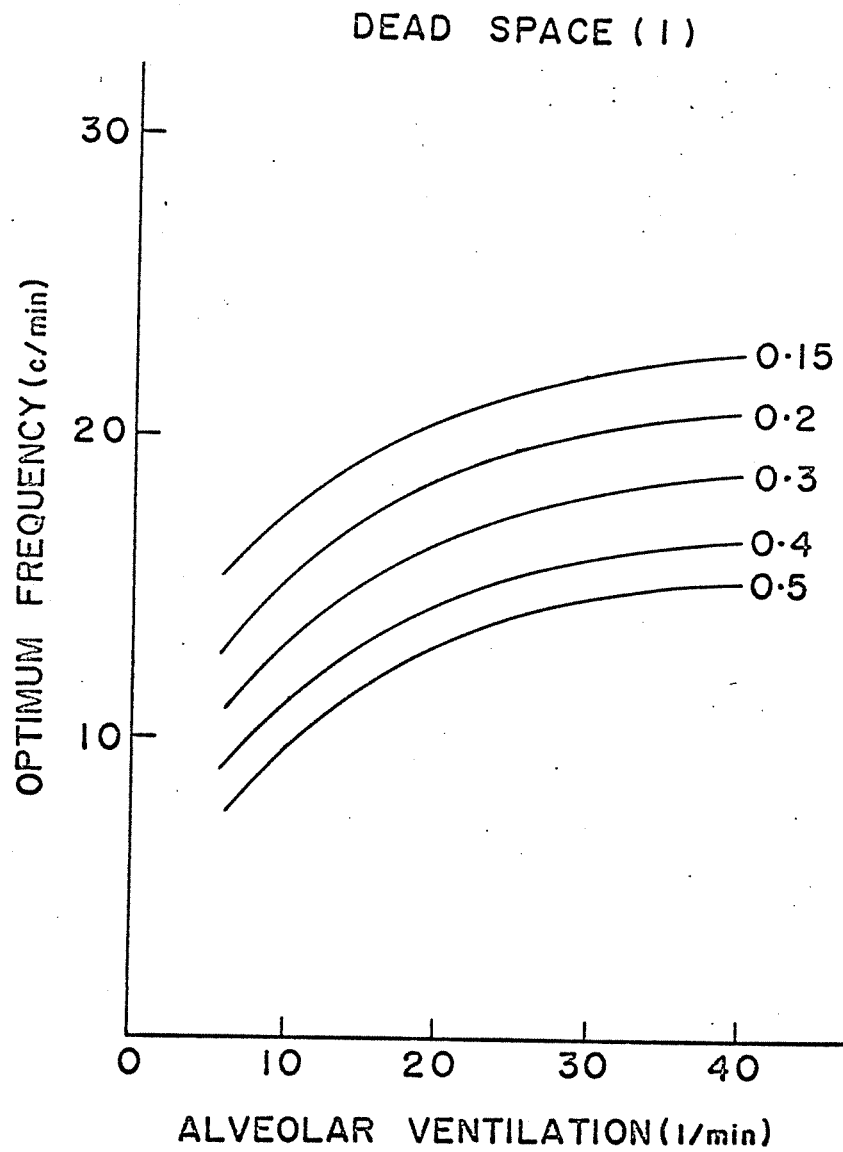


図3.3 死腔量を変数とした場合の最適呼吸周波数曲線 ²⁴⁾

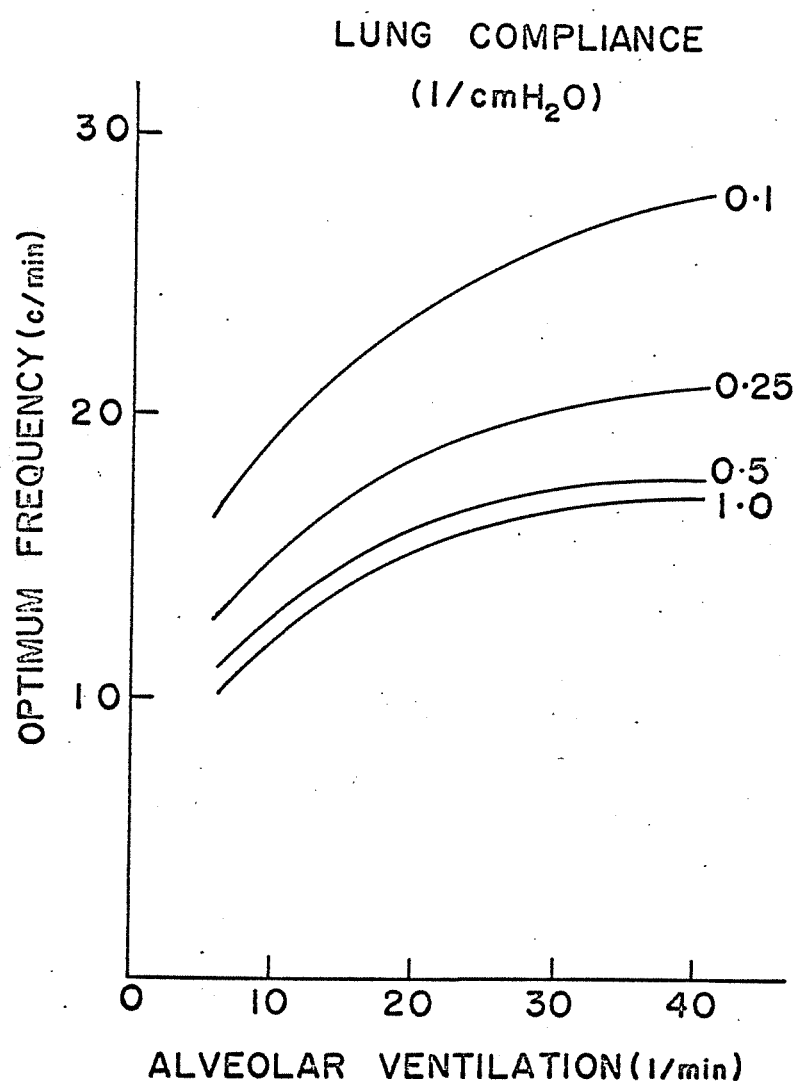


図 3.4 肺コンプライアンスを変数とした場合の最適呼吸周波数曲線²⁴⁾

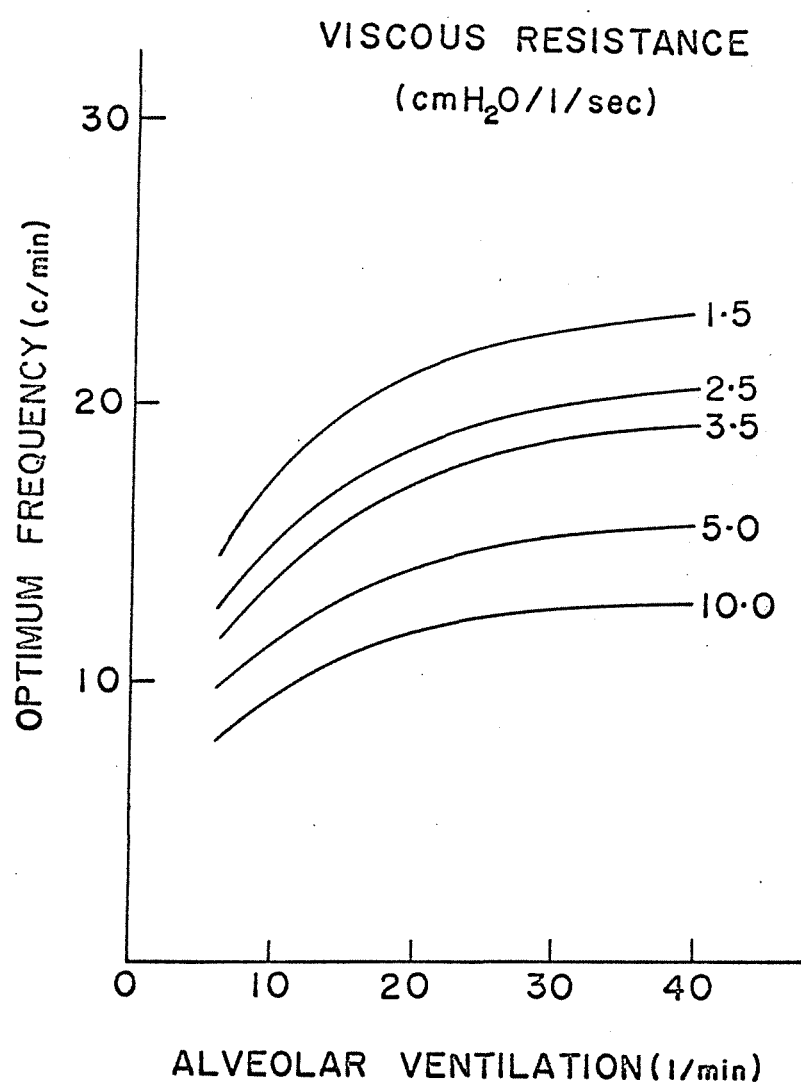


図 3.5 粘性抵抗を変数とした場合の最適呼吸周波数曲線 ²⁴⁾

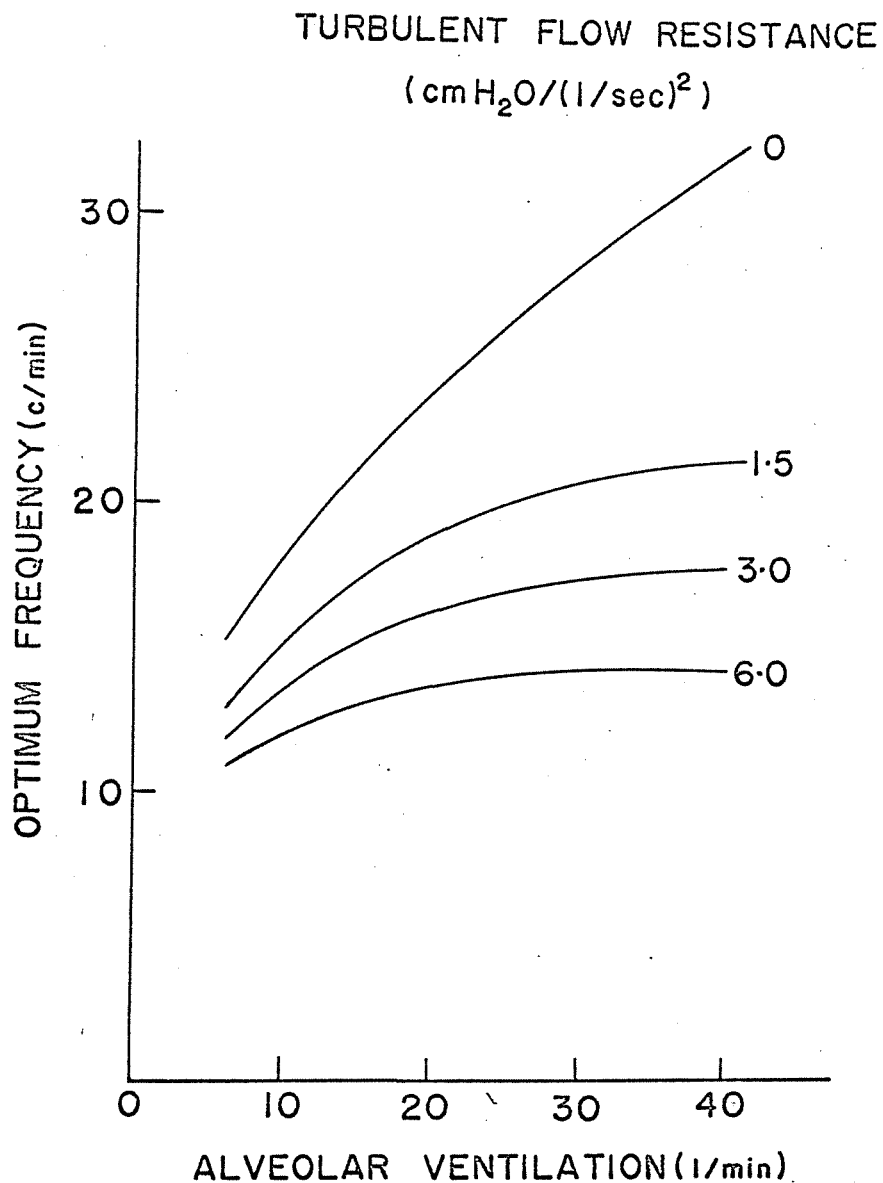
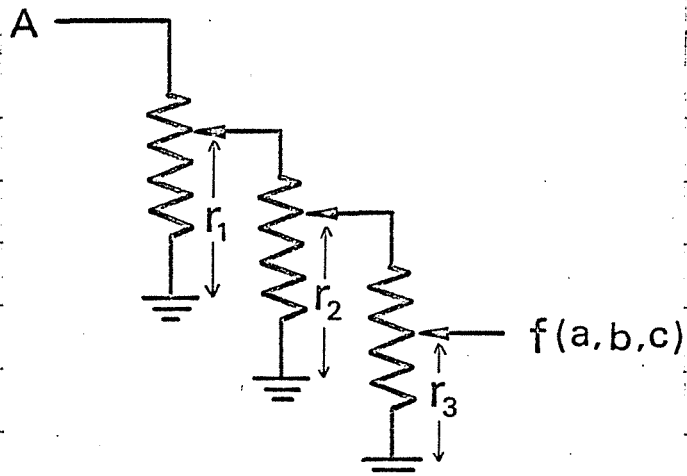


図 3.6 乱流抵抗を表す数と(大場会の最適呼吸周波数曲線)²⁴⁾

と二つで呼吸制御装置で、仕事量を計算しながら呼吸数を変えてゆき、最適呼吸数を求めるやうで、肺胞換気量が与えられたとき、最適呼吸数を実時間で求めることは不可能である。通常人工呼吸時の肺胞換気量は 15 ml/min 以下と考えられるので、肺胞換気量を一定範囲に限ると、図3.3.から図3.6まで、パラメーターの値が変化したときの最適呼吸数 - 肺胞換気量の関係は、パラメーターの値が正常の時と同様で、パラメーターの値は従って上下に平行移動する \Rightarrow とよい近似す \Rightarrow ことができる。そこで呼吸制御装置では、パラメーターが正常のときの最適呼吸数 - 肺胞換気量の関係を閾数発生器上設定し、その関係をパラメーターの値は従って上下に平行移動す \Rightarrow る \Rightarrow た。またパラメーターも、乱流抵抗は呼吸流量速が一様と二種では粘性抵抗に比して小さくまで省略し、気道抵抗としては粘性抵抗のみを考慮した。さらにコンフロライアンスは肺と胸郭とを同一視する、肺、胸郭系のコンフロライアンスとした。従ってパラメーターとしては、気道抵抗、コンフロライアンス、死腔量 \Rightarrow 三、 \Rightarrow いた。そこで平行移動は、閾数発生器の出力をそれぞれ気道抵抗、コンフロライアンス、死腔量の値に従って、上下に平行移動させれば良い。

そこで、正常な関係の出力を、三、 \Rightarrow 可変抵抗にカス



ゲート \Rightarrow に接続し各パラメーターの値に従って平行移動させた。

図3.7 死腔量、コンフロライアンス、気道抵抗を変数とした場合の最適呼吸数算出回路

二個の可変抵抗を正常位置にし、残りの一個の抵抗のみを変える、その時の呼吸数と、シミュレーションより求める、肺動脈収縮数が一致した抵抗値を $R = 3\text{ k}\Omega$ 、パラメータの値を印した。気道抵抗、コンプライアンス、死腔量に対する可変抵抗器の正常位置における抵抗比率をそれぞれ r_1, r_2, r_3 、パラメータ変位 $\Delta R, \Delta C, \Delta V_D$ に対する可変抵抗の変化の全抵抗に対する比率を $\Delta r_1, \Delta r_2, \Delta r_3$ 、閾数発生器の出力電圧を A とする。

$$A r_1 r_2 r_3 = f(R, C, V_D) \quad (3-14)$$

$$A(r_1 + \Delta r_1) r_2 r_3 = f(R + \Delta R, C, V_D) \quad (3-15)$$

$$A r_1 (r_2 + \Delta r_2) r_3 = f(R, C + \Delta C, V_D) \quad (3-16)$$

$$A r_1 r_2 (r_3 + \Delta r_3) = f(R, C, V_D + \Delta V_D) \quad (3-17)$$

となる。いま三つともパラメータがそれぞれ $\Delta R, \Delta C, \Delta V_D$ 変化したとするとき、平行移動された出力は

$$A(r_1 + \Delta r_1)(r_2 + \Delta r_2)(r_3 + \Delta r_3)$$

となる。 $= A \cdot f(R + \Delta R, C + \Delta C, V_D + \Delta V_D)$ となる。

式(3-14), (3-15), (3-16), (3-17) より

$$= A \frac{f(R + \Delta R, C + \Delta C, V_D + \Delta V_D)}{A r_1 r_2 r_3} \cdot \frac{f(R, C + \Delta C, V_D)}{A r_1 r_3} \cdot \frac{f(R, C, V_D + \Delta V_D)}{A r_1 r_2}$$

$$= \frac{f(R + \Delta R, C, V_D) \cdot f(R, C + \Delta C, V_D) \cdot f(R, C, V_D + \Delta V_D)}{f^2(R, C, V_D)} \quad (3-18)$$

となる。

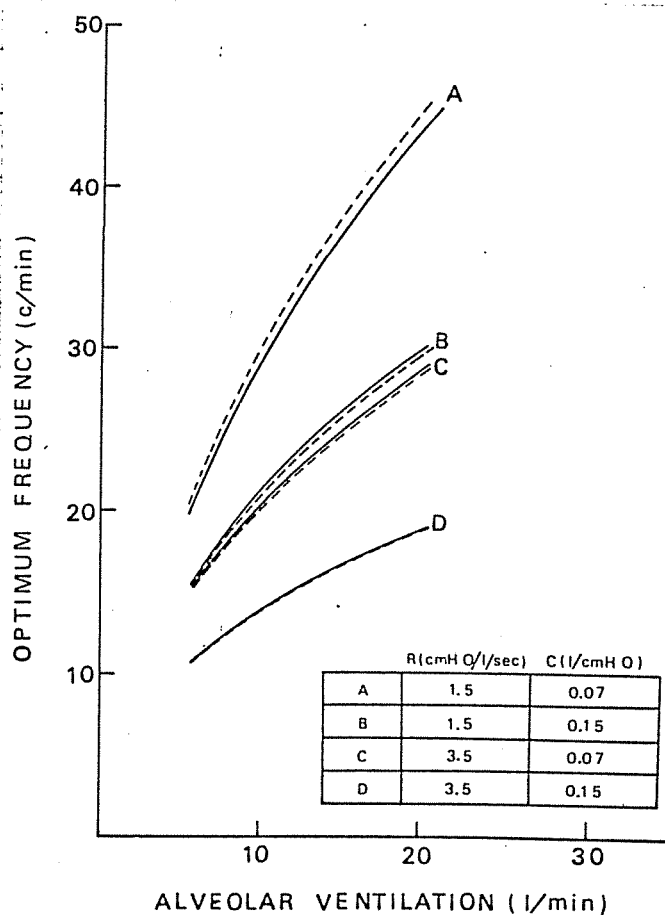
$\epsilon = 3 \times 10^{-4} \text{ m}^{-1}$ として、乱流抵抗を省略し、 $\epsilon = 7 \times 10^{-4} \text{ m}^{-1}$ とすと、 $(3-10)$ 式で $R_2 = 0$ とおき、 $1/C_0 + 1/C_T = 1/C$ とおき、 $(3-12)$ 式は、

$$W = \frac{R}{2} (\dot{V}_A + f \cdot V_0)^2 \left(\frac{\pi^2}{2} + \sqrt{\frac{1}{R^2 C^2 f^2} + 4\pi^2} \right)$$

となる。 ϵ が 10^{-4} m^{-1} のとき、仕事量最小の呼吸数は

$$\begin{aligned} & R^4 C^4 (64\pi^4 V_0^2 - 4\pi^6 V_0^2) f^6 + R^2 C^2 (16\pi^2 V_0^2 - \pi^4 V_0^2) f^4 \\ & - R^2 C^2 (16 \dot{V}_A V_0 \pi^2) f^3 + V_0^2 f^2 - 2 \dot{V}_A V_0 f + \dot{V}_A^2 = 0 \quad (3-19) \end{aligned}$$

の解を f_{opt} とする。これを $f_{\text{true}}(R, C, V_0)$ で表す。 R, C, V_0 を変化したとき $f_{\text{true}}(R + \Delta R, C + \Delta C, V_0 + \Delta V_0)$ を $f_{\text{est}}(R + \Delta R, C + \Delta C, V_0 + \Delta V_0)$ と簡略化する (図 3.8 から 図 3.11 に示す)。



これらの結果より f_{true} と f_{est} の差は 1 c/min 以下であり f_{est} と f_{true} を近似しても十分と思われる。従って実際の呼吸装置では f_{est} を用いる = $f = f_{\text{est}}$ 。

実線は真の値、破線は図 3.7 による近似値を示す。

図 3.8 気道抵抗、コンプライアンスを変数とした場合の最適呼吸周波数曲線

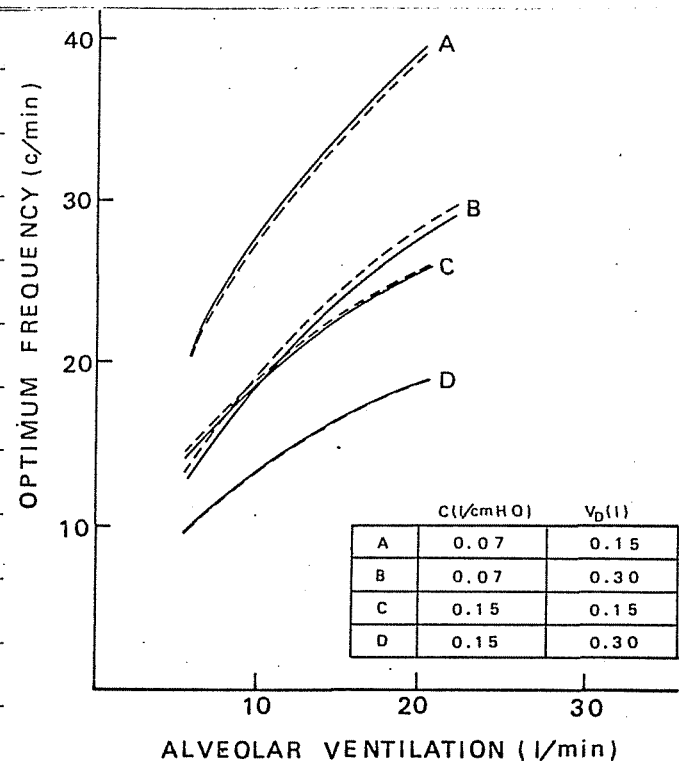


図 3.9

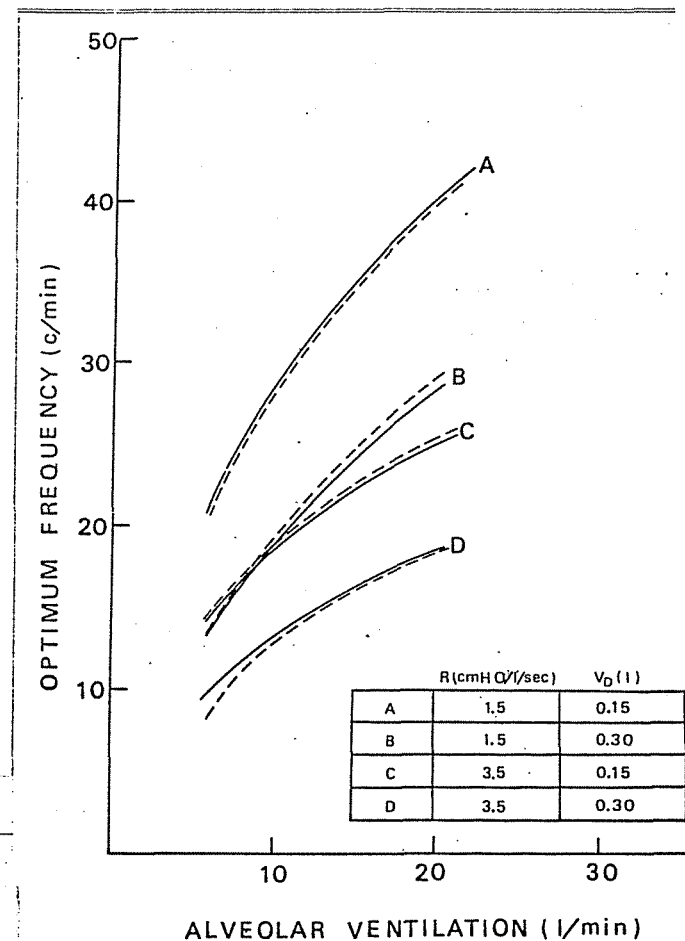


図 3.10

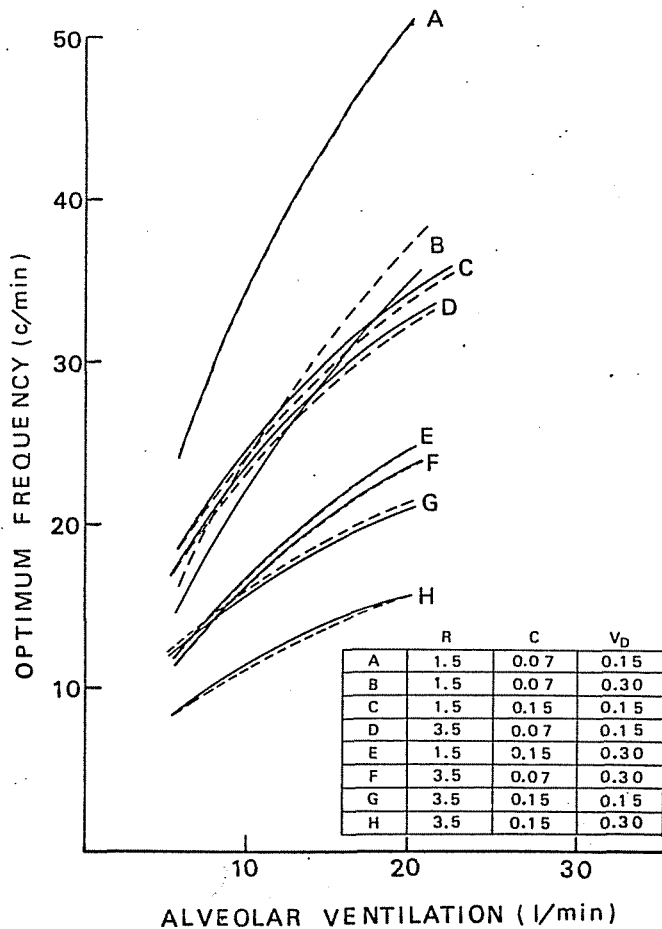


図 3.11

図 3.9 コンフライアンス、死腔量を変数とした場合の最適呼吸周波数曲線

図 3.10 気道抵抗、死腔量を変数とした場合の最適呼吸周波数曲線

図 3.11 気道抵抗、コンフライアンス、死腔量を変数とした場合の最適呼吸周波数曲線

実線は真の値、破線は図 3.7 による近似値を示す。

3. E 呼吸比率

気管内加压呼吸では自然呼吸と異なり吸気時上気管内(=陽圧がかかる),これが平均気管内压,平均胸腔内压上昇させ,循環器系に悪影響を及ぼす。 $\text{E} = \frac{\text{I}}{\text{E}} = a$ 悪影響を少なくてすむため,呼吸比率の循環系に対する影響について研究がなされた。その結果,陽圧呼吸では呼吸比率 1:1.5~2 と幾分呼氣相の長さが良いとされた。²⁵⁾ すなわち呼氣に長い時間を利用して呼氣を完全に行なわせたため,吸気時に減少した静脈環流を呼気時に回復することができる。 $\text{E} = \frac{\text{I}}{\text{E}}$ 呼吸装置でも呼吸比率を 1:1 から 1:3 まで任意に変えられるようになつた。

第4章 最適呼吸制御装置

4-A 全体の構成

第3章でのべた生理学的基礎に基づき、最適呼吸制御装置と試作した。試作した呼吸器は次の三点で従来の呼吸器にはない特徴を持つ。①換気量は分時炭酸ガス排出量によって制御される。②死腔量は生理学的死腔量を使用し、生理学的死腔量は1回換気量の関数である。③呼吸数は、換気圧を最小となる最適呼吸数を選んで。

呼吸器の全体の構成を図4.1に示す。呼吸器は単独あるいは麻酔器と接続し、半閉鎖方式で使用する。空気あるいは麻酔ガスはベロードマリナー・エーブによる駆動され、患者の肺胞に流入する。呼気ガスは

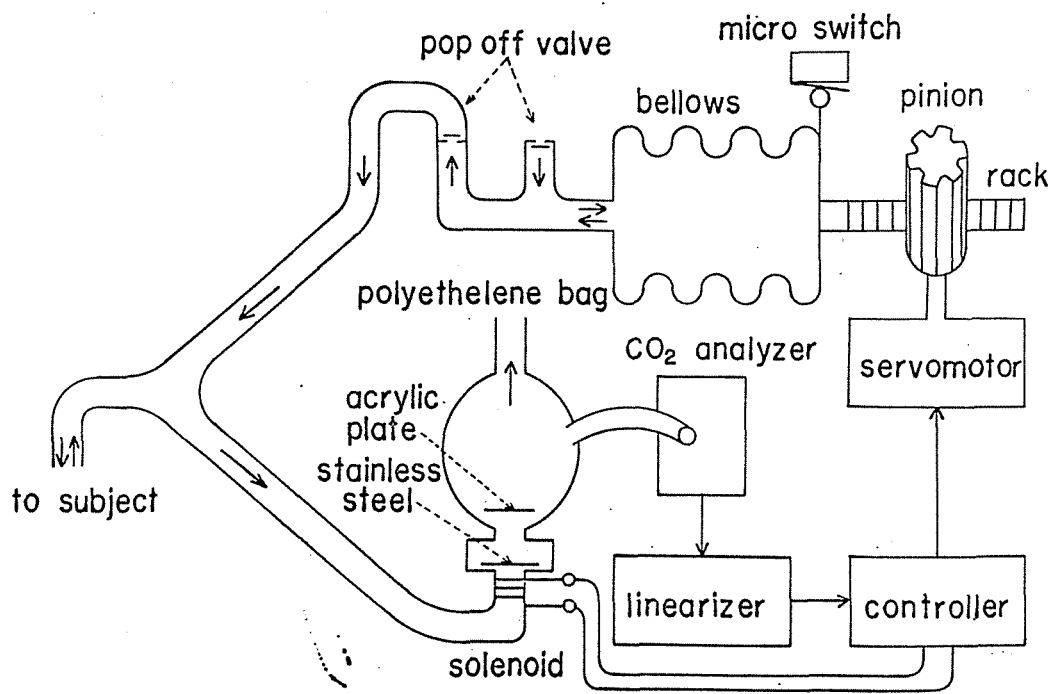


図4.1 最適呼吸制御装置系の構成

蛇管(容積400ml)、呼気弁を通して、シリコーン袋(容積1L)に集められる。呼気弁通過後、呼気ガスはシリコーン袋内の障害物(アクリル板)に衝突し、十分かくはんされ、袋の出口より流出する。(したがってシリコーン袋内の

炭酸ガス濃度は、幾呼吸の平均炭酸ガス濃度を示すところである。炭酸ガス濃度は、赤外線炭酸ガス分析器（Beckman LB-1）によって電気信号に変換される。炭酸ガス分析器の出力電圧は、炭酸ガス濃度に対して非線形なので、折線近似閾数発生器で線形化する。線形化された出力は呼吸制御部に入り、そこでは患者の分時炭酸ガス排出量を求め、その値に基づき適正肺胞換気量を算出する。肺胞換気量の値に基づき、サークル閥発生器は、最適呼吸数を求める。1回換気量は、分時換気量を呼吸数で割ることにより得られる。算出された呼吸数と1回換気量の値は（T=6.2リットル）を開閉してサークルモードを制御し、サークルモードの動きに直結したベルーズの動きを制御する。呼吸制御器の回路は、集積回路、半導体で構成し、プリント基板（11.5×14.5cm）3枚におさめた。装置外観を図4.2 1示す。

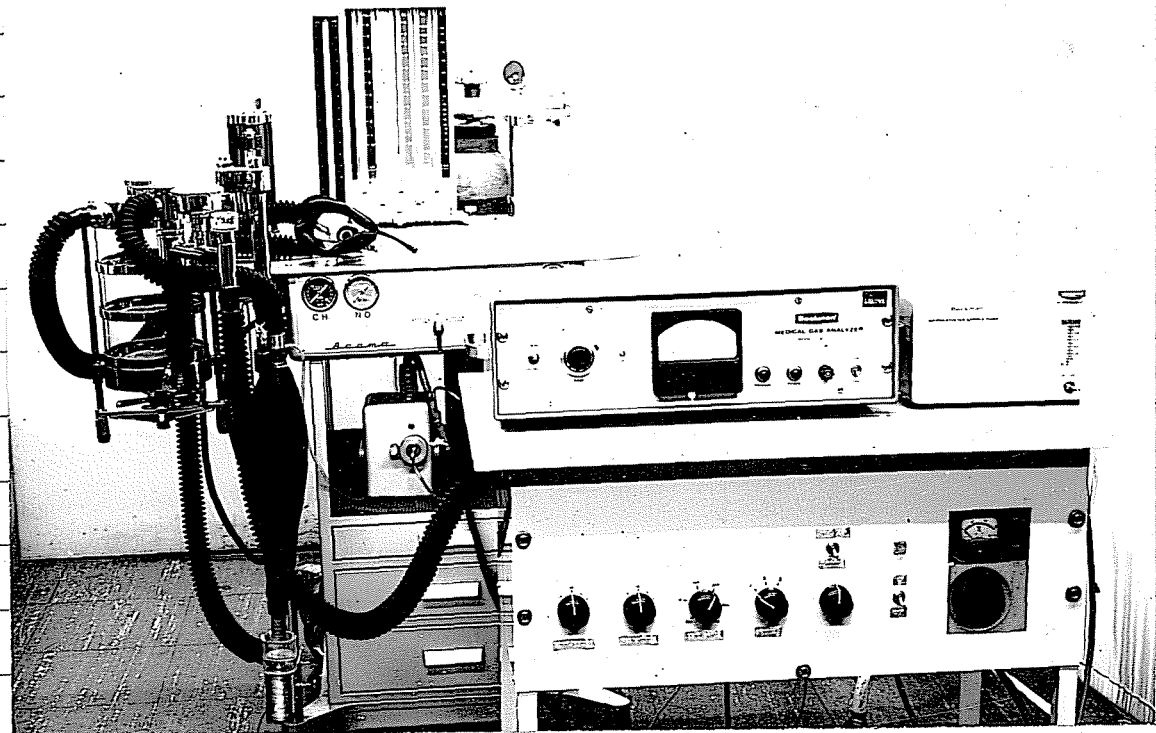


図4.2 麻酔器と組み合せた最適呼吸制御装置

4-B 呼吸制御部

呼吸制御部のプロトグラムを図4.3 1示す。患者の分時炭酸ガス排出量と赤外線炭酸ガス分析器の出力と分時換気量 V_E (AO) の積で求められる。呼気ガスは、肺胞からトリエチレンガスに到達するのに時間がかかるから、炭酸ガス

濃度信号は、今時換気量信号(AIの出力)に比例してくれる事になる。さらに、
アリエレン管内の炭酸ガス濃度は1呼吸毎の平均濃度ではなく、時間重みを
つけて数呼吸の平均濃度である。(T=10sで今時換気量も炭酸ガス濃度と
同じ時間遅延させ、さらに数呼吸の平均今時換気量を求めるにはどうなる。
この動作を1次オクレ等(AO)を用いる事によって代用した。1次オクレの
時定数は10秒とした。

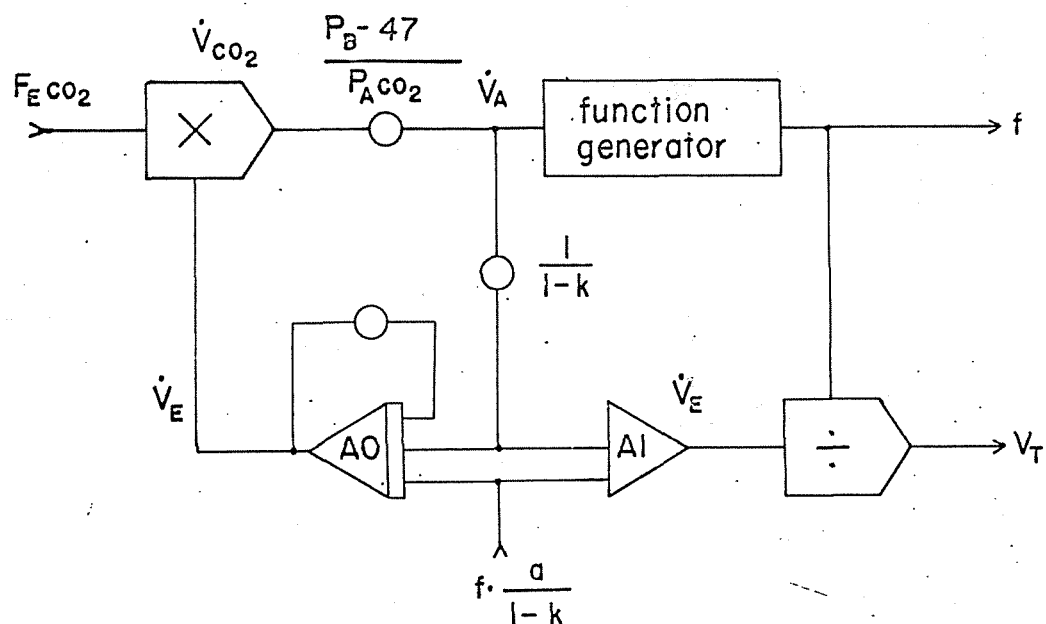


図4.3 換気量制御部のプロックダイヤグラム

算出された：今時炭酸ガス排出量に基づき、(3.2)式に従って適正肺胞換気量を求めた。肺胞炭酸ガス分圧の設定値、大気圧より(3.2)式の係数を計算し、その値を呼吸器に設定する。

・(3.6)式の両辺に呼吸数fをかけろ

$$f \cdot V_D = f \cdot a + f \cdot R \cdot V_T \quad (4.1)$$

となる。となる(3.3)式より

$$\begin{aligned} V_A &= f \cdot V_T - f \cdot V_D \\ &= V_E - f \cdot V_D \end{aligned} \quad (4.2)$$

となる。 (4.1) 式を (4.2) 式に代入する

$$\dot{V}_A = \dot{V}_E - fa - f k V_T$$

となる。 $k < 1$ であるから

$$\dot{V}_E = \frac{1}{1-k} \dot{V}_A + \frac{a}{1-k} f \quad (4.3)$$

となる。 (3.2) 式より求まる肺胞換気量とその肺胞換気量より求まつた最適呼吸数により、(4.3) 式を用い、分時換気量 (A_1) を求めよう。
定数 a 、 $a/(1-k)$ の直は呼吸器に設定する。

最適呼吸数を求めるため、気道抵抗、コンプライアンス、肺腔量が正常の時の肺胞換気量と最適呼吸数の関係をサークル式閾数発生器に設定した。
サークル式閾数発生器の周波数範囲は DC から 0.06 Hz まで平坦で、肺胞換気量算出回路は 10 秒の 1 次低域をもつていてから、この周波数特性は十分である。気道抵抗、コンプライアンス、肺腔量が正常のときは、閾数発生器の出力をパラメータの値に (T=0) で上下に平行移動させる必要があるため閾数発生器の出力をそれぞれ気道抵抗、コンプライアンス、肺腔量に対する三つの可変抵抗にカスターで接続した。一分換気量は分時換気量 (A_1) を最適呼吸数で割って求めた。

呼吸制御部の回路を 図 4.4 に示す。炭酸ガス分析器からの出力は電界効果型トランジスタに入り、 $\sim 2^\circ$ 増幅される。分時炭酸ガス排出量は乘算器 (EH1) で計算され、 $(P_B - 47)/P_{ACO_2}$ の値を可変抵抗 R_1 に設定する。適正肺胞換気量が求まる。炭酸ガス濃度と掛けて分時炭酸ガス排出量と得た分時換気量の信号は OP1 で得られる (図 4.3 の A0 に相当するもの)。実際患者の分時換気量の信号は OP2 で得られる。(図 4.3 の A1 に相当するもの)。スイッチ (SW1) により、分時炭酸ガス排出量による呼吸制御と、手動による呼吸制御のいずれかに切り替えられる。また SW2 は分時炭酸ガス排出量による呼吸制御の開始時刻、分時換気量信号電圧が 0 から $\sim 2^\circ$ 乗算器が零となるため、これを防ぐために、分時換気量信号電圧が 0 まで一定電圧を出し一定時間経過後分時換気量信号は切りかわるようになっている。肺胞換気量の信号は閾数

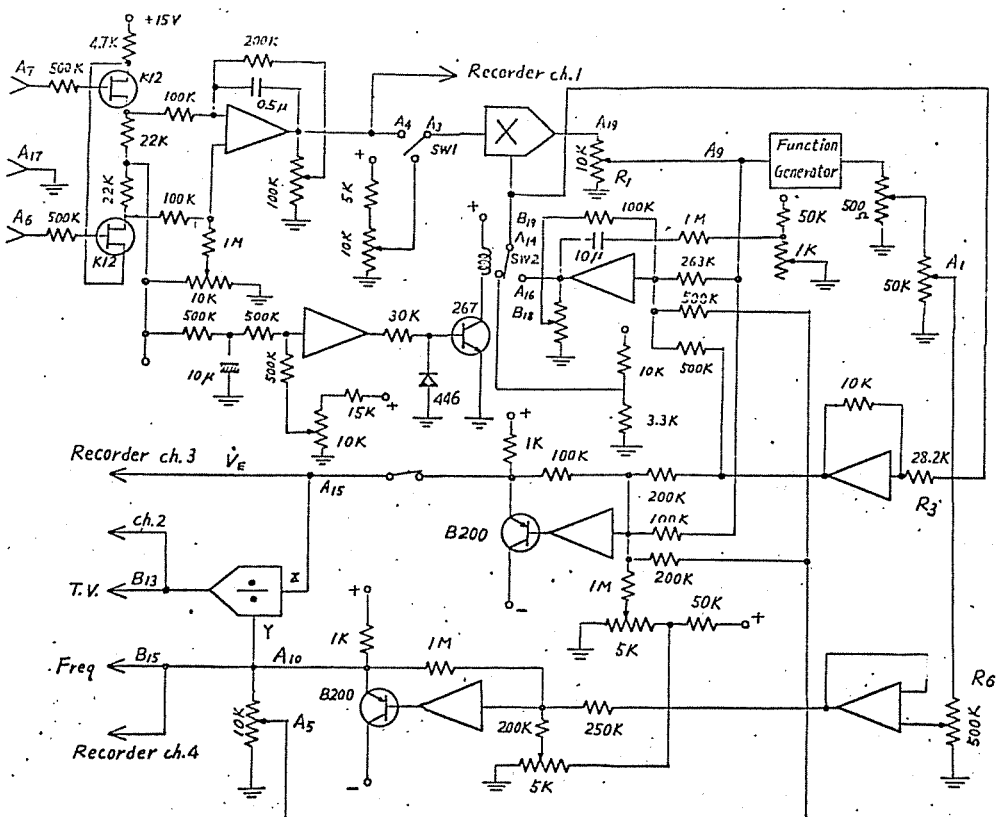


図4.4 換気量制御回路

発生器に入り光の出力は、気道抵抗値を表わす抵抗R4、コンドライアンス値を示す抵抗R5、肺腔量を表わす抵抗R6により平行移動され、呼吸数が定まる。また分時換気量(OP₂)を呼吸数で割って1回換気量が求まる。

関数発生器の回路を図4.5に示す。肺胞換気量信号電圧とサーボモーター・シオメータの電圧との差電圧は増幅され、ついて50Hzでチョッパーされ、その交流信号は交流増幅、電力増幅されサーボモーター制御コイルに差電圧に比例した電流を流す。サーボモーターは差電圧が零になるまで回転(静止する)。サーボモーターに直結したもう1つのボテンシオメーターには定電流が流れ、その出力電圧は、パラメーターが正常の時の最適呼吸数に比例した電圧となる。図4.5はこの回路を示す。

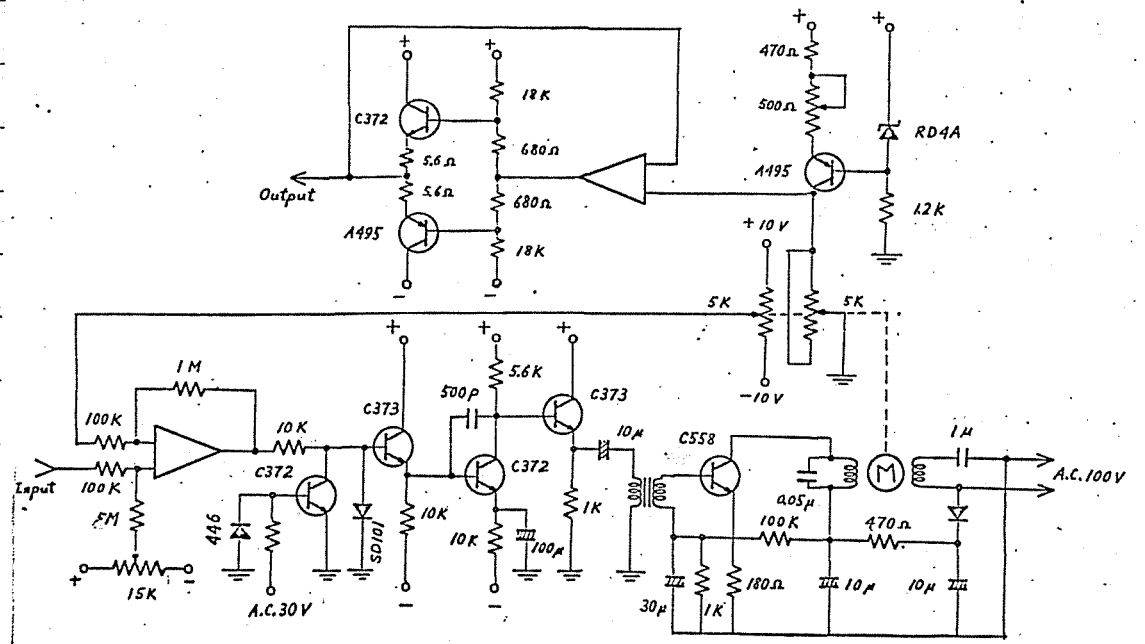


図4.5 関数発生器回路

4. C 駆動部

サーボモーターでベロースを動かすのにビニオニーテック機構を用いた。ベロースはサーボモーターの正転、反転に従い、前進、後進するようになつた。呼吸制御部の1. 回換気量と呼吸数の信号に従ってリレーを開閉しサーボモーターを制御した。回路を図4.6に示す。呼吸数を制御する信号により換気開始時にリレー①がONになる、その結果リレー②もONになる。一回換気量を制御する信号は、一回換気量測定値が予め算出値に達した時のリレー③、④がOFFの状態に保たれる。ベロースの位置を検出したマクロスイッチ(図4.1)はOFFの状態にある(図4.6のSW)。このときサーボモーターの制御コイル C1, C2 は同一方向に電流が流れこれからサーボモーターは正転し、ラップ1に直結したベロースを压缩し、ベロース内のガスを患者の肺胞内に流入させる。

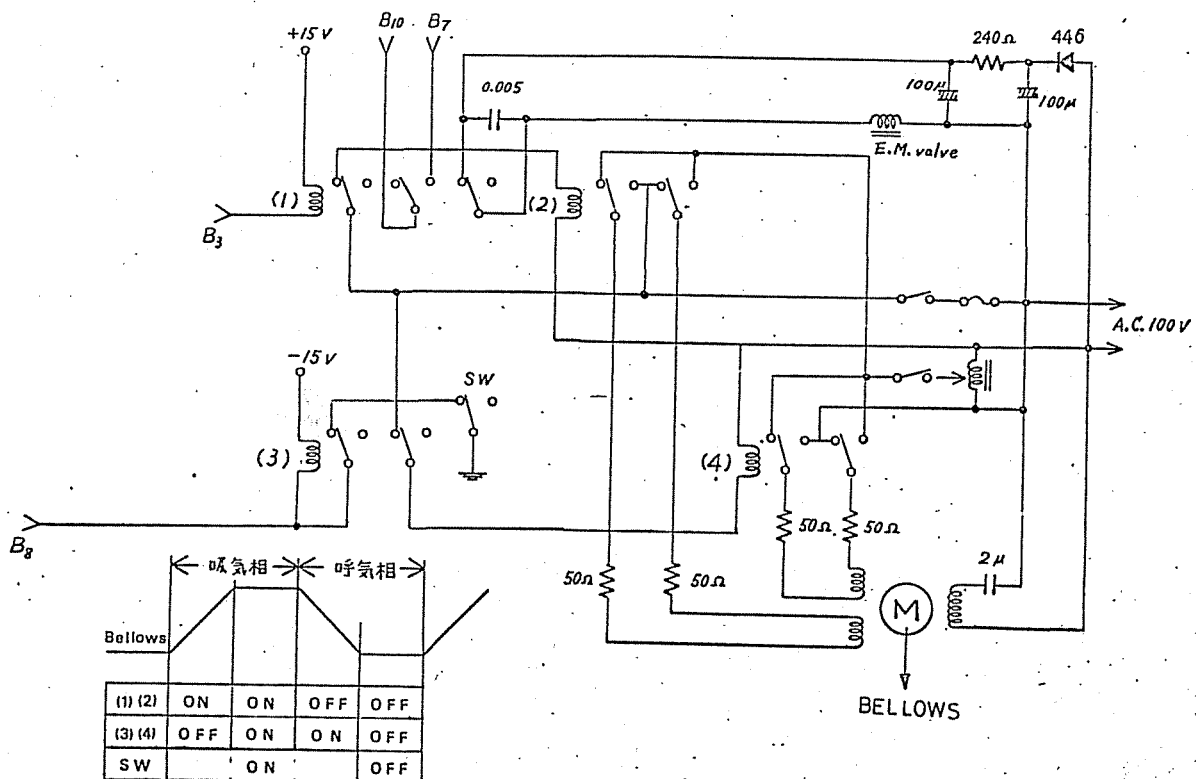


図 4.6 駆動部回路

ベルースが前進すると同時に、図 4.1 に示されたマイクロスイッチ (δW) が ON となる。吸入されたガス量が算出一回換気量に達するとリレー (3) が ON になり、したがってリレー (4) も同時に ON となる。このときには制御コイル C1 に流れ電流の向きが反転し、その位置でサーボモータは停止する。次いで呼気時間が算出時間に達するとリレー (1), (2) が OFF となり制御コイル C2 に流れ電流の向きが反転して、C1 のコイルの電流と同方向にありサーボモータは反転し、それに従いベルースは拡張する。サーボモータの反転に伴い、B8 の入力は反転するが、 δW が ON になってからリレー (3) は ON の状態を保つ。ベルースが初期の位置に戻るとマイクロスイッチ δW が OFF となり、リレー (3), (4) が OFF となる。したがって C1 のコイルに流れれる電流方向は反転し、サーボモータは停止する。呼吸周期が算出周期に一致

すると B2 の信号が反転して リレー①, ②が ON となり呼気が開始する。

ストライダックは駆動コイルに流れれる電流を調節し、呼気相においてガスの吸入速度を調節するものである。

電磁弁 (E.M. valve) は呼気弁に使われているもので、リレー①が開閉によって吸気相で ON, 呼気相で OFFとなる。

肺胞内に吸入されるガス容積はベローズの動きを測定し算出した。図 4.7 に示されている光トランジスタはその目的に使用されたものである。²⁶⁾ 135 本が印刷された

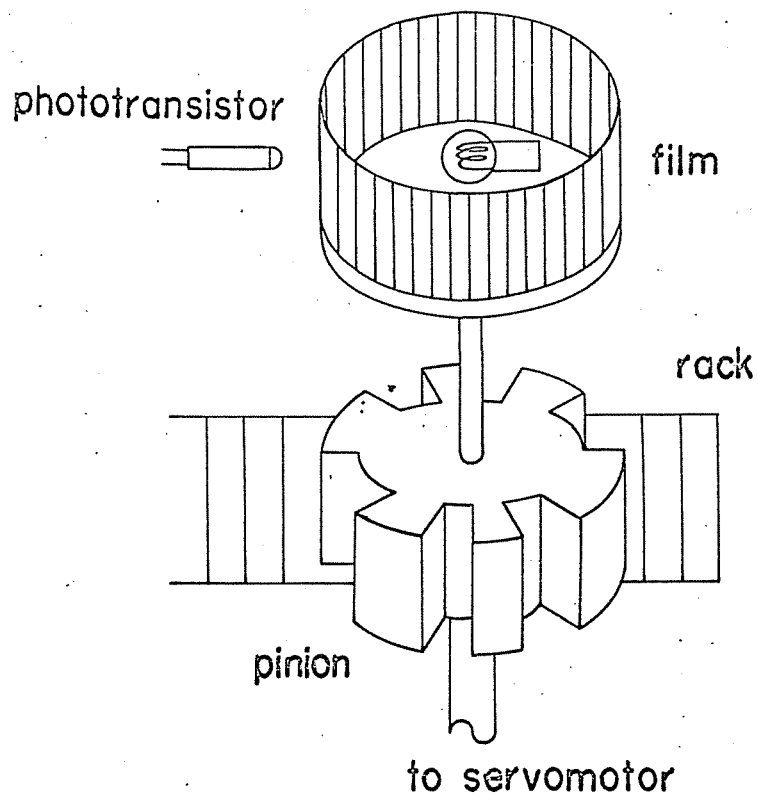


図 4.7 位置変換器

透明なフィルムがサーボモーターの軸に円状に固定されている。

フィルムの内側にランプを置き、外側にフォト・トランジスタを置いた。サーボモーターが回転しベローズが動くと、フォトトランジスタにおいて光の下を通過する格子の数を数え、

吸入ガス容積を算出した。カーボモーターが1回転するとベルーズは 750 ml 動くから椅子1本当り 5.6 ml となる。
1回換気量は通常 500 ml 以上であるから誤差は約1%となり、家用上十分と思われる。なおベルーズが動かす位置を知るためマイクロスイッチの信号を使用した。回路図を図4.8に示す。フォトトランジスタの出力は比較回路により

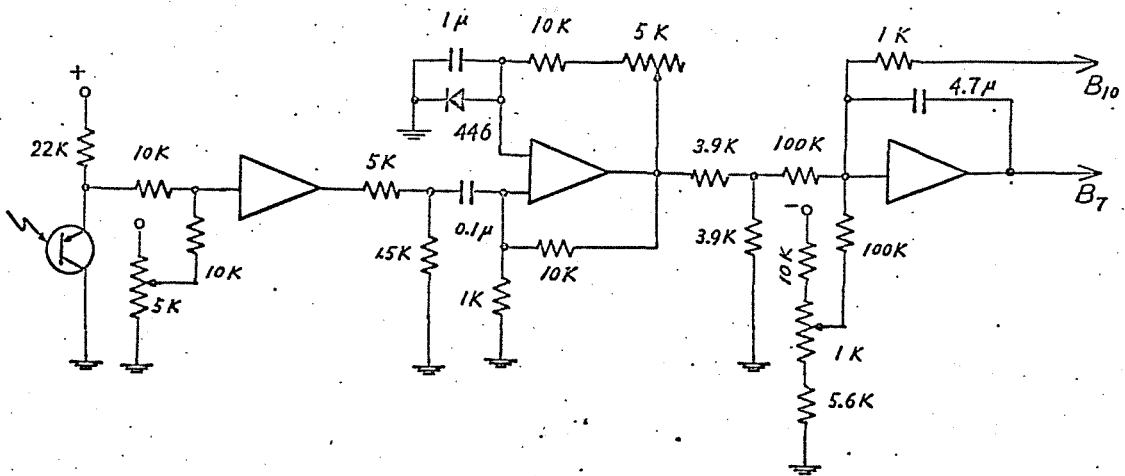


図4.8 位置変換器回路

1.0ルス信号に変換され、草安定マルチバイブレータによって約 10 msec の1.0ルス幅の1.0ルスに整形される。呼吸開始と同時にリレー①がONとなり B_7 と B_{10} は先述終状態から開放状態となる。一方が草安定マルチバイブルエタの出力は積分器によって積分され吸入ガス量に比例した電圧となる。
この電圧と算出一回換気(B_{13})の信号とを比較し、等しくならずと比較回路が働き、リレー③がONとなる。

図4.9において呼吸数の信号は増幅後、ユニジャンクショントランジスタによって、その電圧に逆比例する、すなわち呼吸周期に比例する尖頭波を持つ鋸歯状波に変更される。鋸歯状波は一定電圧を越すと比較回路が働き、リレー①(図4.6)を導通させる。可変抵抗 R_7 は呼吸比率を変えるものである。

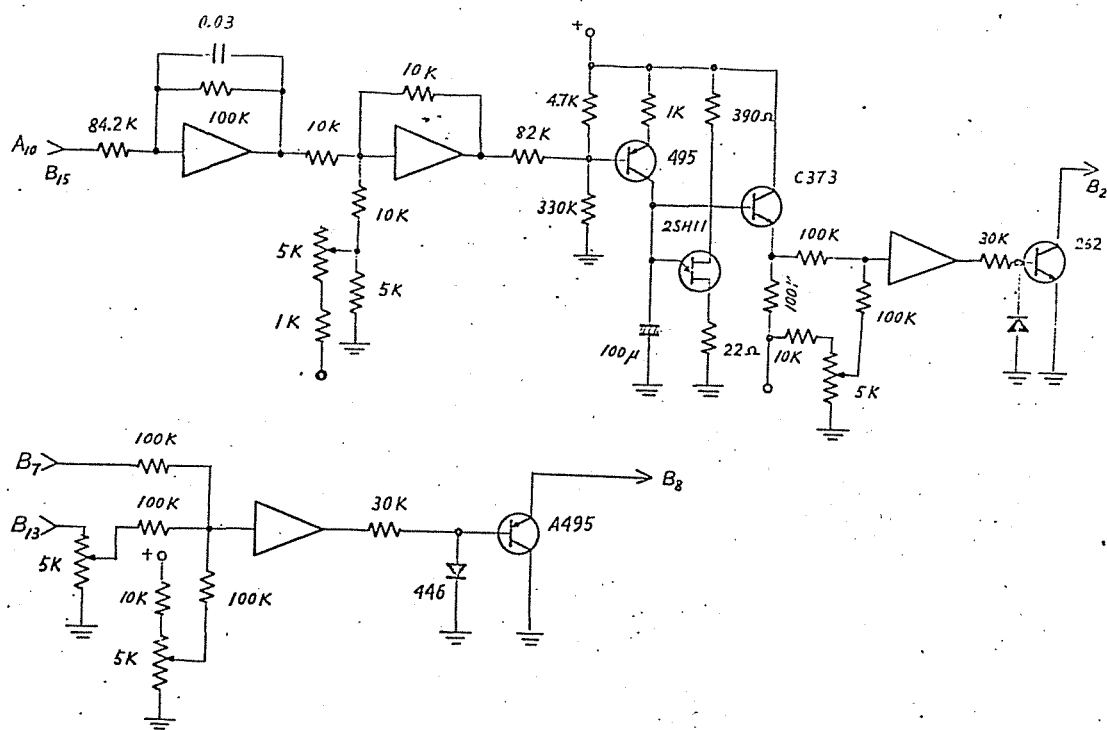


図 4.9 サーボモータ制御回路

第5章 呼吸制御装置一生体系の換気動態の解析

5.A 緒言

試作した最適呼吸制御装置は、生体の代謝や心拍出量の変化にかかわらず常に動脈血炭酸ガス分圧を一定値に保つべきであるが、まして生体の状態変化に対してどのように応答して動脈血炭酸ガス分圧を一定に保つか、また呼吸制御回路の変更が結果にどのような影響を与えるかを検討するために、呼吸制御装置一生体系を模擬し、解析した。

5.B 呼吸制御装置一生体系の定式化

生体の炭酸ガス運搬モデル(図5・1)を次のような仮定をもいて求めた。
 ① 生体は1つの肺、1つの組織、および肺と組織を結ぶ循環系より成る。
 ② 血液の循環時間の遅れはない。
 ③ 呼吸は周期的ではなく肺へは一方の気管よりガスが流入し、他方より連続的に流出する。
 ④ 動脈血炭酸ガス分圧と肺胞炭酸ガス分圧は完全に平衡する。
 ⑤ 血液の炭酸ガス解離曲線は直線とし、動脈血、静脈血とも等しい。
 ⑥ 吸入ガスの炭酸ガス濃度は0%とする。

肺におけるガス交換を考えると

$$\dot{Q}_c (C_{vCO_2} - C_{aCO_2}) = \dot{V_A} \cdot \frac{P_{aCO_2}}{P_B - 47}$$

$$= \frac{d}{dt} \left(V_r \frac{P_{aCO_2}}{P_B - 47} \right) \quad (5 \cdot 1)$$

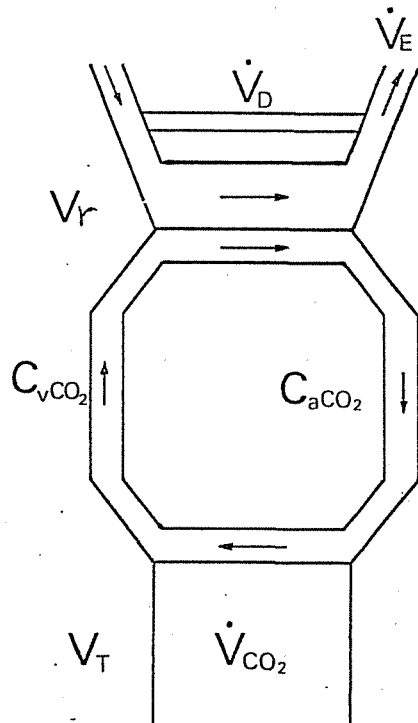


図5・1 炭酸ガス運搬モデル

となる。ここで \dot{Q}_c は心拍出量、 C_{vCO_2} は静脈血炭酸ガス濃度、 C_{aCO_2} は動脈血炭酸ガス濃度、 V_r はガス交換による有効な肺胞容積を表す。

同様に組織におけるガス交換を考えると

$$\dot{Q}_c (C_{aCO_2} - C_{vCO_2}) + \dot{V}_{CO_2} = \frac{d}{dt} (V_T \cdot C_{vCO_2}) \quad (5 \cdot 2)$$

となる。ここで \dot{V}_{CO_2} は組織における分時炭酸ガス産生量、 V_T は組織の容積を表す。

仮定⑤より血漿の炭酸ガス解離曲線を

$$C_{CO_2} = f \cdot P_{CO_2} + B \quad (5 \cdot 3)$$

とする。ここで f 、 B は定数とする。

(5・3)式と(5・1)、(5・2)式へ代入して濃度を分圧に書き直す

$$\frac{d}{dt} P_{ACO_2} = \left\{ \frac{f \cdot Q_c \cdot (P_B - 47)}{V_r} + \frac{\dot{V}_A}{V_r} \right\} P_{ACO_2} + \frac{f \cdot Q_c \cdot (P_B - 47)}{V_r} P_{ACO_2} \quad (5 \cdot 4)$$

$$\frac{d}{dt} P_{rCO_2} = \frac{Q_c}{V_T} P_{rCO_2} + \frac{Q_c}{V_T} P_{ACO_2} + \frac{\dot{V}_{CO_2}}{V_T \cdot f} \quad (5 \cdot 5)$$

となる。

呼気の平均炭酸ガス濃度検出部、呼吸制御装置を図5・2に示す。炭酸ガス濃度検出部において、①肺より

ポリエチレン袋までは一定容積の蛇管で接続され、Xの間ではガスの混合は起らぬ。

②ポリエチレン袋内では、ガスは瞬間に完全に混合し均一の炭酸ガス濃度となる。

③ポリエチレン袋では、入った量だけのガスが排出され、ポリエチレン袋の容積は常に一定である。と仮定する。

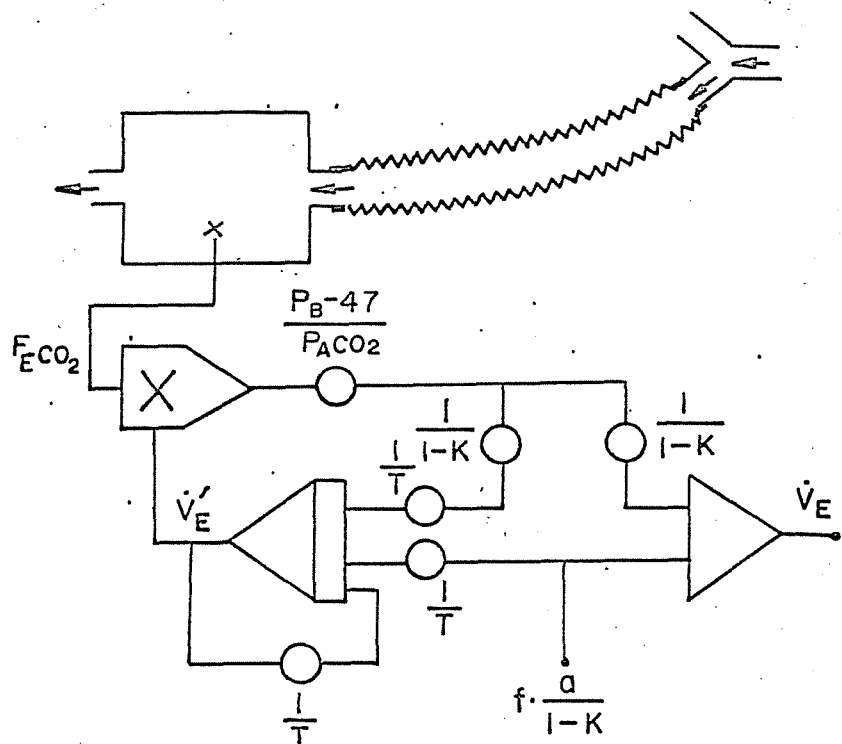
時間 $t=t_0$ における蛇管

内のガスを単位時間内に

呼出されたガス量の和とし、

Xの各々の単位時間に呼出

されたガス量を $V(1), V(2), \dots, V(NHK)$ 、およびXの炭酸ガス濃度を $V(1), V(2), \dots, V(NHK)$ とする(図5・3)。またポリエチレン袋内の炭酸ガス濃度を F_E とする。時間 $t=t_0+H$ におけるポリエチレン袋内の炭酸ガス濃度 F_E は図5・4に示すフローチャートで



四5・2 呼吸炭酸ガス濃度検出部および換気量制御部

求まる。ここで蛇腹の容積

をA、ポリエチレン袋の容積
をBとする。

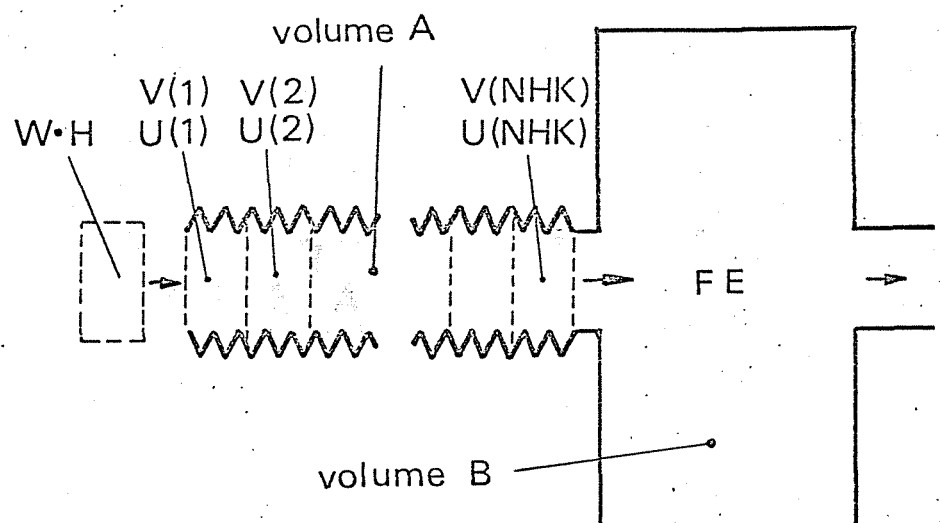


図5.3 呼気炭酸ガス濃度検出部

また呼吸制御装置は、

$$\dot{V}_E = \frac{1}{1-K} \cdot \dot{V}_A + \frac{a}{1-K} \cdot s \quad (5.6)$$

$$\frac{d}{dt} \dot{V}_E' = \frac{1}{T} \cdot \dot{V}_E' + \frac{1}{T} \cdot \dot{V}_E \quad (5.7)$$

$$\dot{V}_A = \bar{F}_{E\text{CO}_2} \times \dot{V}_{E\text{CO}_2}' \times \frac{P_B - 47}{P_{a\text{CO}_2}} \quad (5.8)$$

と表わされる。

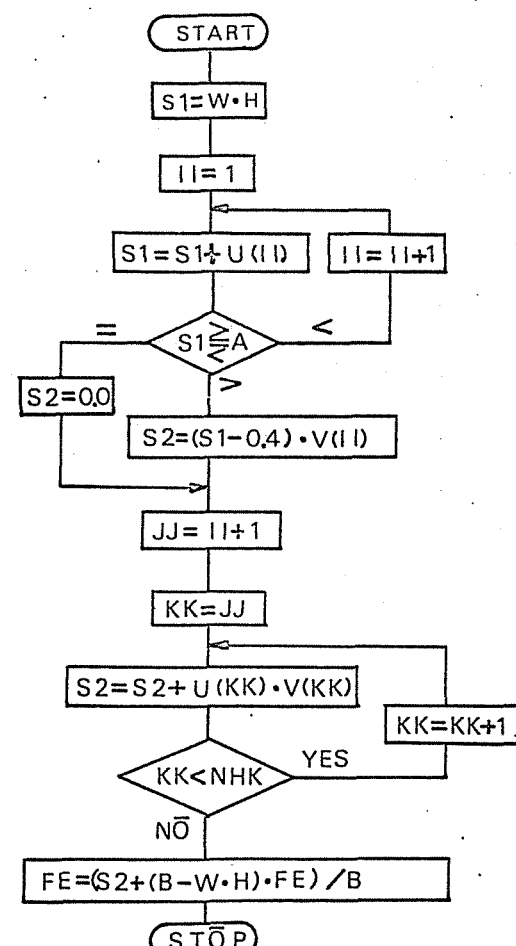
また口元における真の分時炭酸ガス排出量 ($\dot{V}_{\text{CO}_2, \text{true}}$) は、

$$\dot{V}_{\text{CO}_2, \text{true}} = \dot{V}_A \times \frac{P_{a\text{CO}_2}}{P_B - 47} \quad (5.9)$$

で求められるが呼吸装置では

$$\dot{V}_{\text{CO}_2, \text{act.}} = F_E \times \dot{V}_E' \quad (5.10)$$

と評価している。



5.2 計算結果

(5.1)式から(5.8)式および図5.4のフロー図

をデジタル計算機 (FACOM 270-20) を用いて数值計算した。連立微分方程式の解法は Lunge-Kutta-Gill の方法を用いた。対象として成人を考え、各定数を次のよう値に

図5.4 呼気炭酸ガス濃度を求めるフロー図

とった。

$$\dot{Q}_c = 6 (\text{l}/\text{min}), V_T = 40 (\text{l}), \dot{V}_{CO_2} = 0.2 (\text{l}/\text{min}), \bar{s} = 0.00425 (\text{l}/\text{mmHg}), V_r = 3 (\text{l}),$$

$$f \times a / (1 - K) = 2.0 (\text{l}/\text{min}), K = 0.3, P_B = 760 (\text{mmHg})$$

また呼吸制御装置の方は、

蛇窓の内容積：0.4(l)、ポリエチレンの内容積：1(l)、1次遅れの時定数：10秒、
20秒

でした。計算は生体が動脈血炭酸ガス分圧140(mmHg)、静脈血炭酸ガス分圧：47.9
(mmHg)、分時換気量：7.49(l/min)、心拍出量：6(l/min)、分時炭酸ガス排出量：
0.2(l/min)の平衡状態から、①炭酸ガス排出量が0.4(l/min)12あるとき、②炭酸ガス
排出量が0.1(l/min)12あるとき、③心拍出量が12(l/min)12あるとき、④心拍出量が3
(l/min)12あるとき12つで行なった。結果をそれぞれ図5.5、図5.6、図5.7、図5.8に示す。

炭酸ガス排泄量の変化

に対しては、動脈血炭酸
ガス分圧は、ほとんど40
mmHgの値を保っている。

1次遅れの時定数が10秒
の方が分時換気量の増加
が早く、動脈血炭酸ガス
分圧も40mmHgからの変
化が若干大きくなっている。
約20分後に新しい平衡
点に達している(図5.5、
図5.6)。心拍出量が

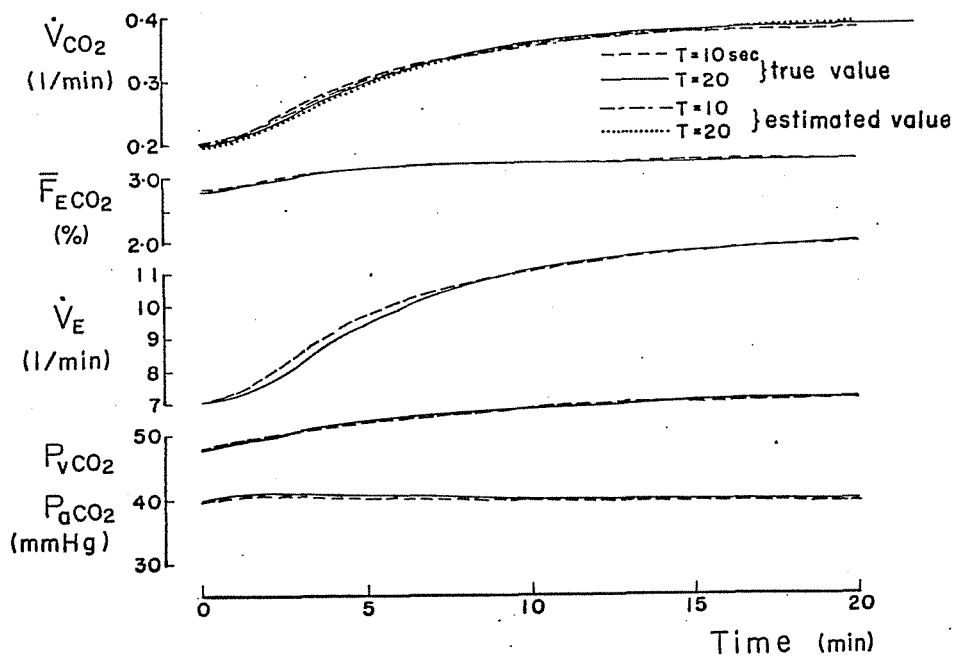


図5.5 炭酸ガス排出量が増加したときの呼吸制御装置一生体系の応答

増加したときは、左左に
1次動脈血炭酸ガス分圧は
上昇し、以後、分時換気量の増加とともに減少して40mmHgに達している(図5.7)。心拍出量
が減少したときは、逆に動脈血炭酸ガス分圧は左左に減少し、以後換気量の減少とともに増加
し40mmHgを若干越した状態から再び減少して40mmHgに達している(図5.8)。これらの
場合もT=10秒の方が若干早く平衡点に達している。

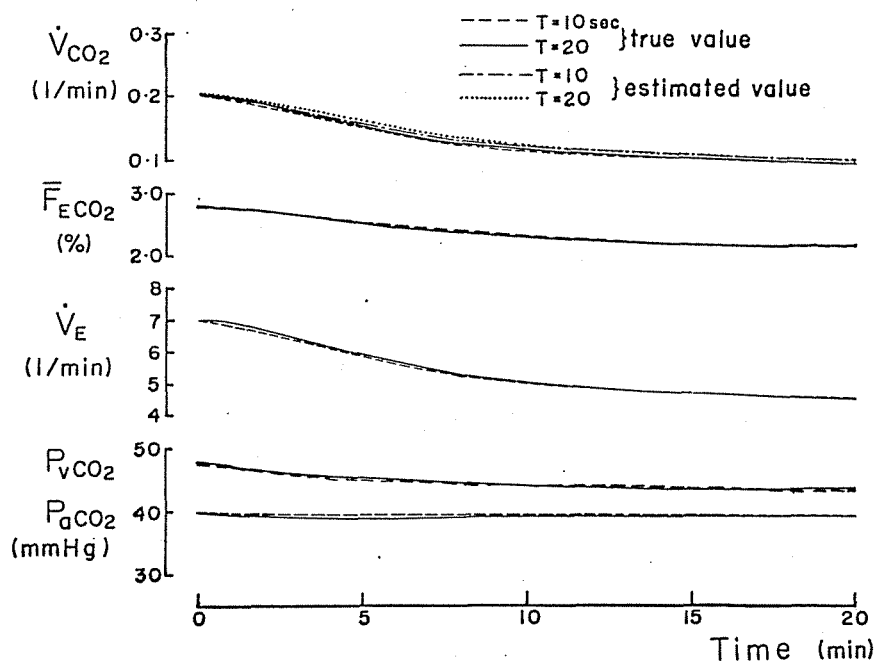


図5・6 炭酸ガス排出量が減少したときの呼吸制御装置一生体系の応答

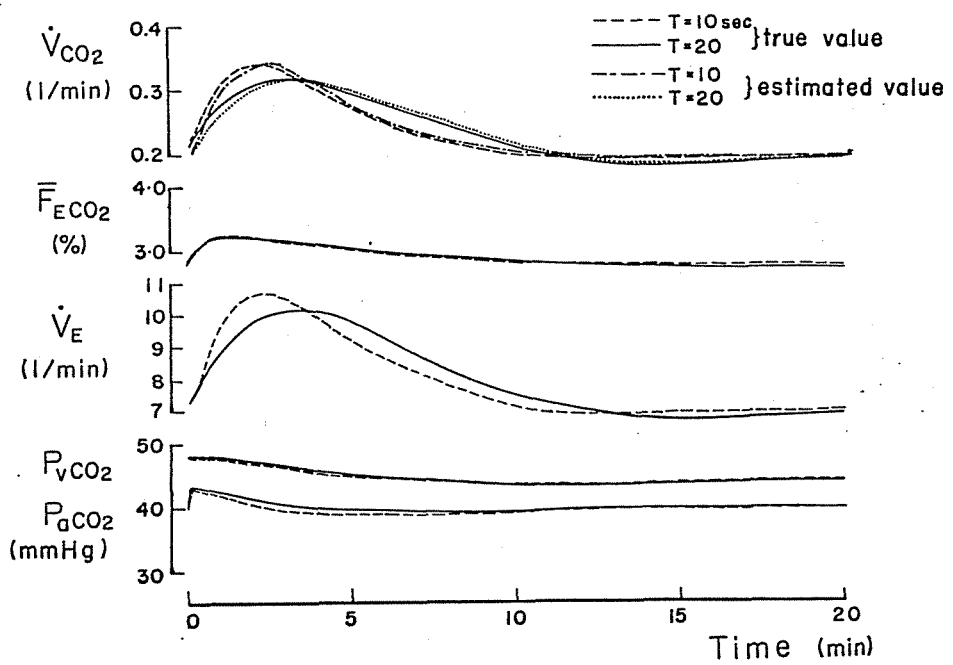


図5・7 心拍出量が増加したときの呼吸制御装置一生体系の応答

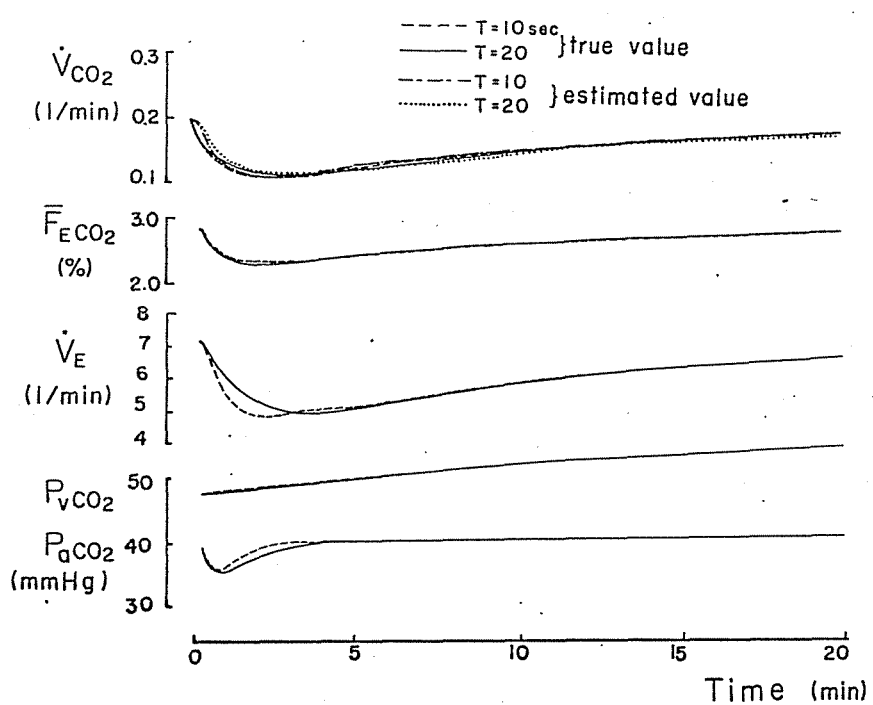


図5.8 心拍出量が減少したときの呼吸制御装置一生体系の応答

6章 補助呼吸装置への応用

6.A 緒言

第4章の最適呼吸制御装置は、麻酔、筋弛緩剤、疾患等で自発呼吸の消失した患者を対象とした装置であった。ところで麻酔は導入、維持、覚醒と一連の経過をたどり、覚醒時は徐々に自発呼吸が現れてくる。この時、呼吸装置の呼吸数と自発呼吸の呼吸数が異なると、呼吸装置と患者とは互いに干渉し合うことになり、最適呼吸装置は使用不可能となる。こうした時、呼吸数を自発呼吸に同期させ、しかも換気量を適正に制御する補助呼吸装置があれば、麻酔覚醒時にも使用可能となる。また、CO₂ナルコーシス等呼吸器疾患患者では、自発呼吸はあるが、換気が不十分で患者の補助呼吸を目的として、最適呼吸制御装置を一部変更し、補助呼吸装置として使用できるよう考案した。

本装置は、①患者の分時炭酸ガスに関する情報を取り、これより求まる適正換気量と患者の実際の換気量と比較し、換気不足を補う。②呼吸数は自発呼吸に同期させる。③死腔量として生理学的死腔量を使用し、これは1回換気量の半数とする。④自発呼吸が失なれたときには、自動的に呼吸数は一定で適正換気量の呼吸を行わせる呼吸装置とする。の特徴をもつている。

6.B 全体の構成

装置の構成を図6-1に示す。ベローズと患者とを糸結ぶ呼吸回路の途中に、気速計(日本光電)を挿入して、気速を測定し、それを呼吸時間間にわたって積分し、1回換気量を求めた。1回換気量と現在の患者の呼吸数を乘じて、分時換気量を求め(1次あくれみておくらせ、呼気炭酸ガス濃度信号と乗じて、分時炭酸ガス排泄量を求めた。(1次あくれみておくらせ、呼吸装置と同様の理由)ついでこの値に基づいて適正肺胞換気量を求め、この値を現在の呼吸数で割り、適正1回肺胞換気量を求めた。この値を次回の呼吸1回肺胞換気量(1回換気量 - 死腔量)と比較し、次回の呼吸が不足しているならば、不足分を補うようにした。もし患者の自発呼吸が設定時間(6~15秒)を

すこしても現われはいときには、時間リミットが働く、自動的に適正換気量の人工呼吸吸が始まるようにした。

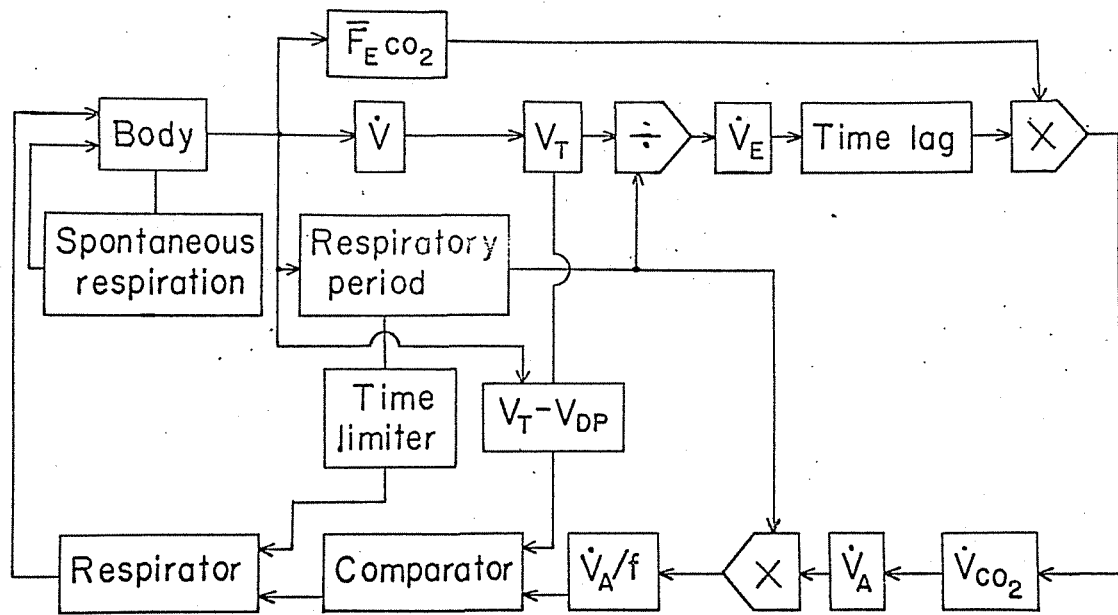


図 6.1 補助呼吸装置の構成

6.C 換気量制御部

換気量制御部回路の構成を図 6.2 に、各部分の信号の時間関係を、図 6.3 に示す。また回路図を図 6.4 から図 6.8 に示す。図 6.4 において気速計からの信号は比較回路に入り、吸気、呼気の別に従い、パルス列に変換される。

すなわち患者の微弱な自動呼吸の微候を気速を測定して検出している。吸気あるいは呼気開始時ににおいて気速が零レベル付近でふらつくことによる誤動作をなくすため、吸気時には、最初の吸気信号で單安定マルチバイアレーティング(1)を働かせ元の信号により呼気信号を、また呼気時には最初の呼気信号で、單安定マルチバイアレーティング(2)を働かせ元の信号で吸気信号を抑制し、誤動作を防止した。比較器、單安定マルチバイアレーティング(1)、(2)の出力は、比較器に入り、吸気と呼気により、その極性を反転する正確な信号が得られる(信号ズイフ)。

図 6.5 において、信号 α により單安定マルチバイアレーティング(3)が動作し、元の信号 (α) のパルス幅と信号 β のパルス幅との差の間にだけ気速信号を積分し

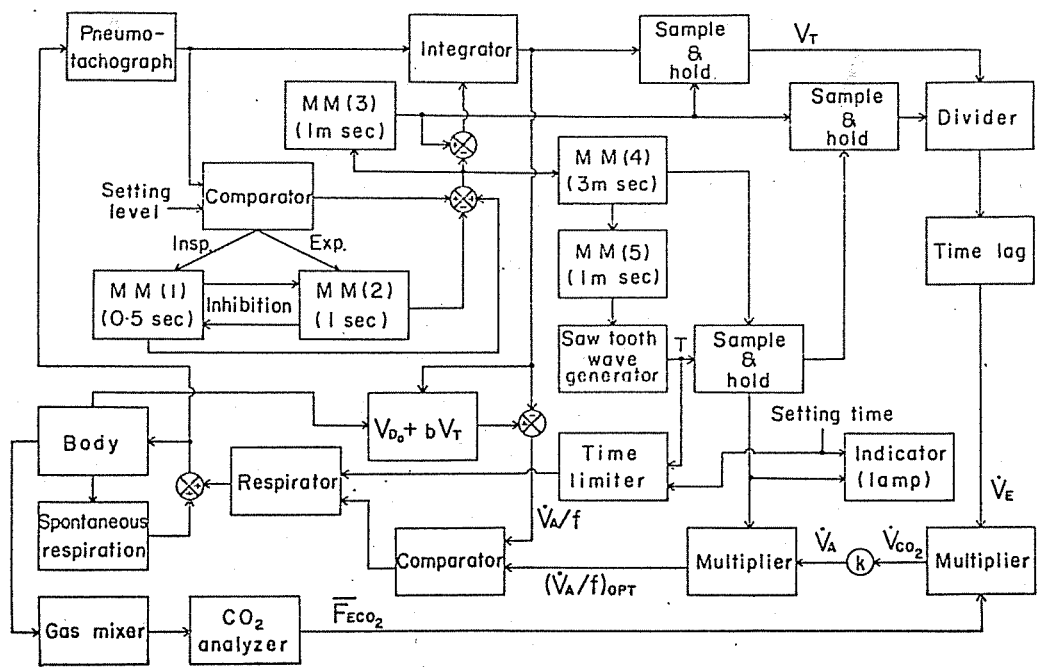


図 6・2 換気量制御部の回路構成

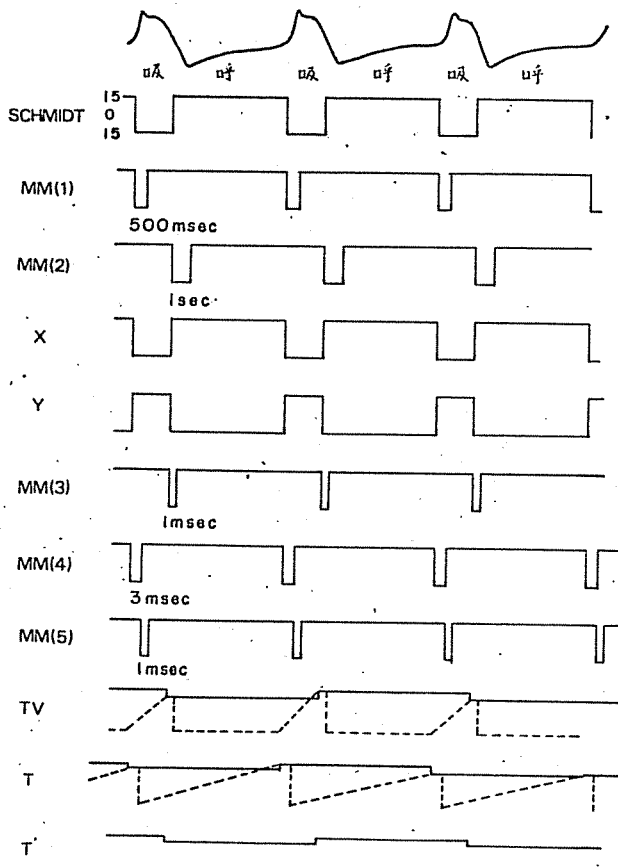


図 6・3 換気量制御部の回路信号の時間関係

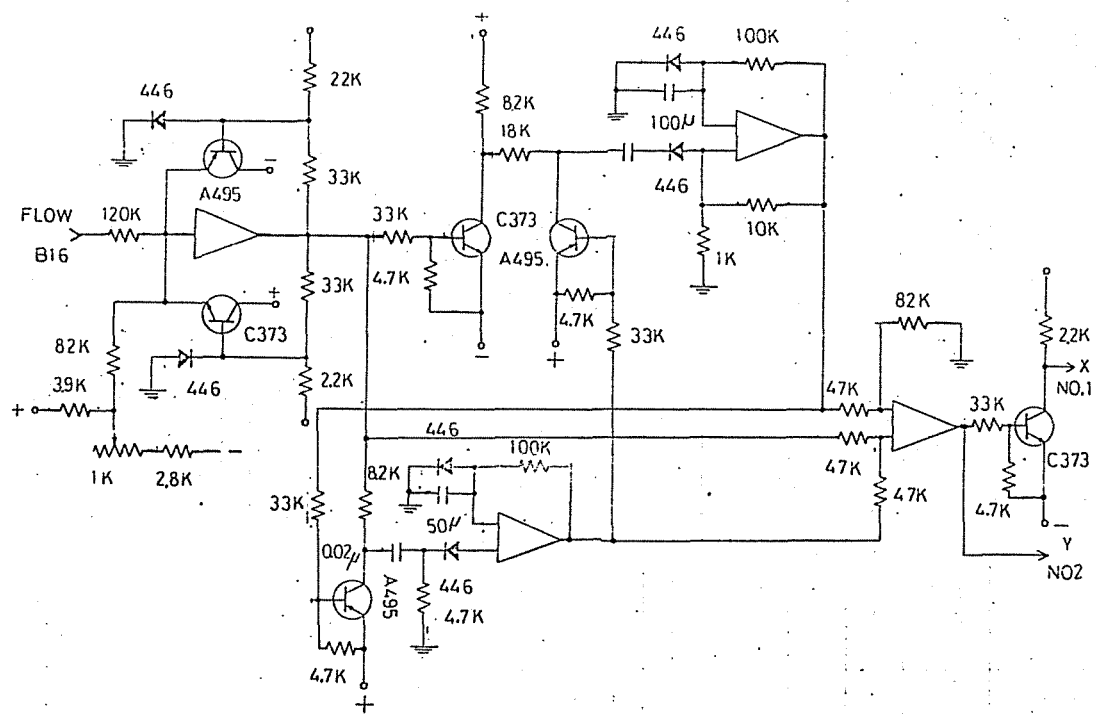


図 6.4 換気量制御部回路

一 比較器・单安定マルチバイアレータ MM(1), MM(2)

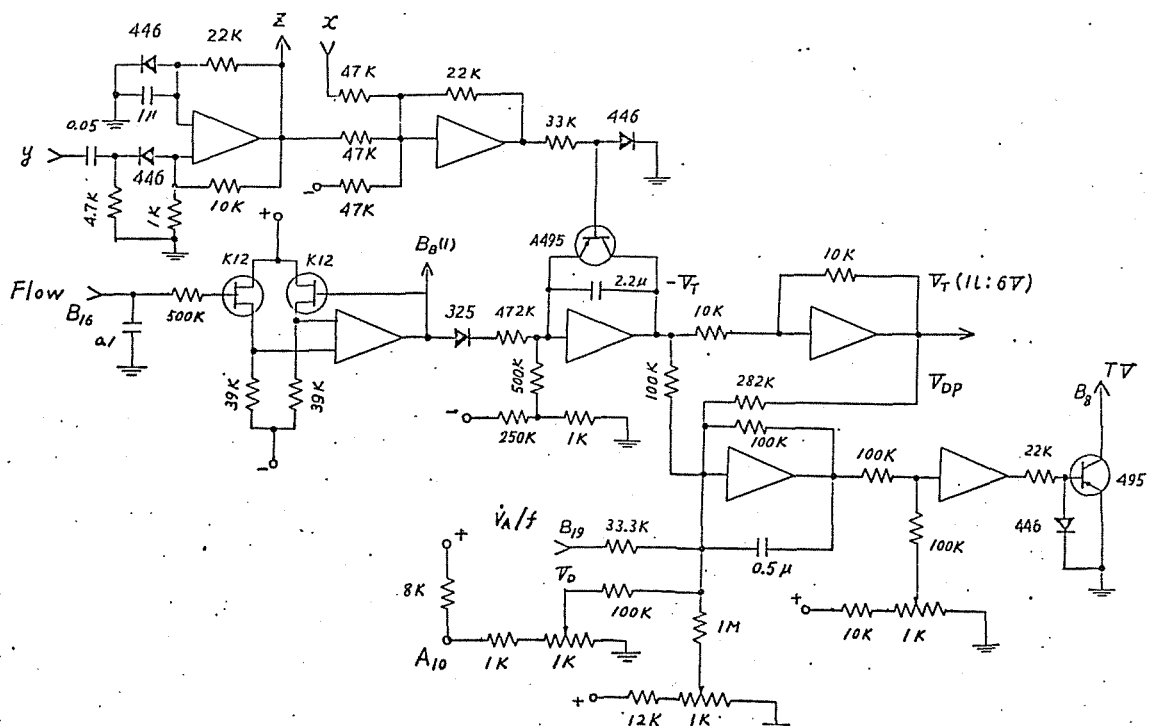


図 6.5 換気量制御部回路

一 单安定マルチバイアレータ MM(3), 1回換気量算出部

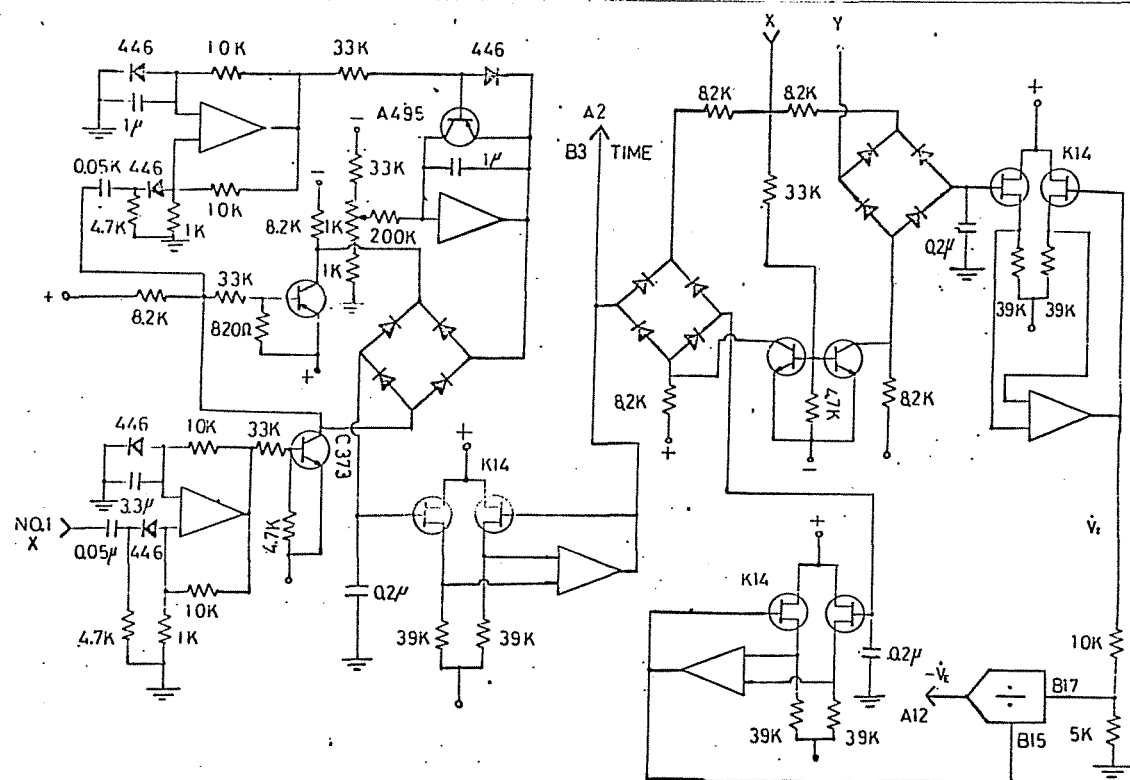


図 6.6 換気量制御部回路

一単安定マスクバイブレータ MM(4), MM(5), 呼吸周期, 分毎換気量算出部.

(積分器, I1), 1回換気量を求めた。図 6-6において、信号 α により、車両定

マルチバイブレータ M.M(5)を動作させる。積分器(I2)では一定電圧を積分

し、MM(5)の出力パルスによって元の電圧をコンデンサを放電して、のこぎり波

を発生させた。MM(5)のバルス周期は、呼吸周期に比例するから、のこぎり

波のピーク電圧は呼吸周期に比例したものによる。そこで積分器(I2)の出力

を MM(4) のパルスに同期してサンプルレートを変更し、呼吸周期に比例した電圧

を得た(丁)。また呼吸周期(丁)の信号をMM(3)の出力でサンプルホールドして1回

換気量信号を得た。この1回換気量を呼吸周期(T)で割り、患者の分時換気量(1)を算出した。

換気量を求めた。呼吸周期としてこの信号を用いたのは、1回換気量とサンプル

ハーレトの音楽が一致しているに留める。ここに次第に分時換気量は16.1で時々断続的に16.0に還る。

體內酸性物質排泄量增加時，血中 pH 值會降低，稱為呼吸性酸中毒。

上記段落にある脳膜炎菌の感染量が少なければ、免疫獲得までの間に必要な脳膜炎菌の感染量はおさまる。

この日朝午後換気量と日本全国定期玉舞に(EM9)二回適正睡眠換気量玉舞の

SW1は呪氣凝縮加ス 環境による換気量の自動制御と一定換気量による

呼吸の切り換えるためのものである。またSW2は第4章のものと同じである。呼吸周期電圧が一定電圧をこすと、比較器が働きモニターランプを点灯させ、自発呼吸が一定時間行ったことを示す。求まつた1回適正肺胞換気量は図6.5にもとづり、そこで自発呼吸による1回肺胞換気量と比較し、両者が一致すると比較器が働き、駆動回路(図6.8)のリレー③, ④をONにする。図6.8のOR回路は、信号 y_1 により吸気が終わったことを示すパルスか、あるいは呼吸周期が一定時間こしたこと示す信号のいずれかが入ると、リレー①, ②をOFFとするためのものである。駆動回路の動作原理は第4章と同じである。

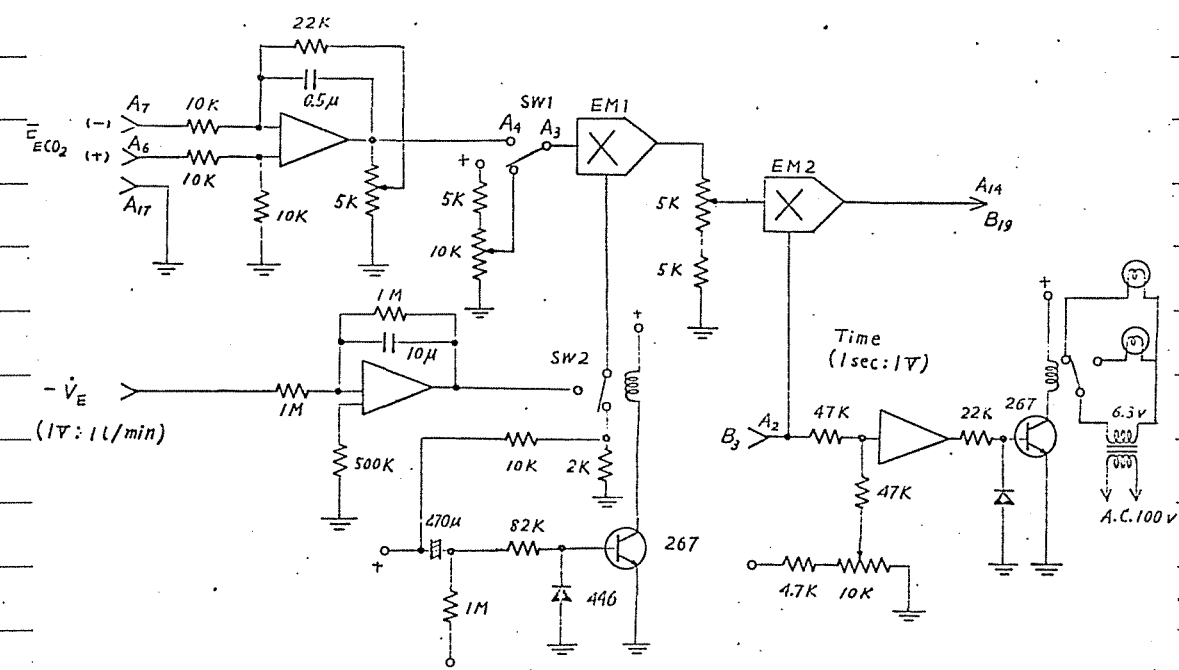


図 6.7 換気量制御部回路

一 肺胞換気量算出部

図6.4から図6.7までの回路はプリント基板3枚にまとめられ、最適呼吸装置用のものヒコネクターに入りかえ、気速計をえらぶするだけで、容易に補助呼吸装置にかわるようにした。

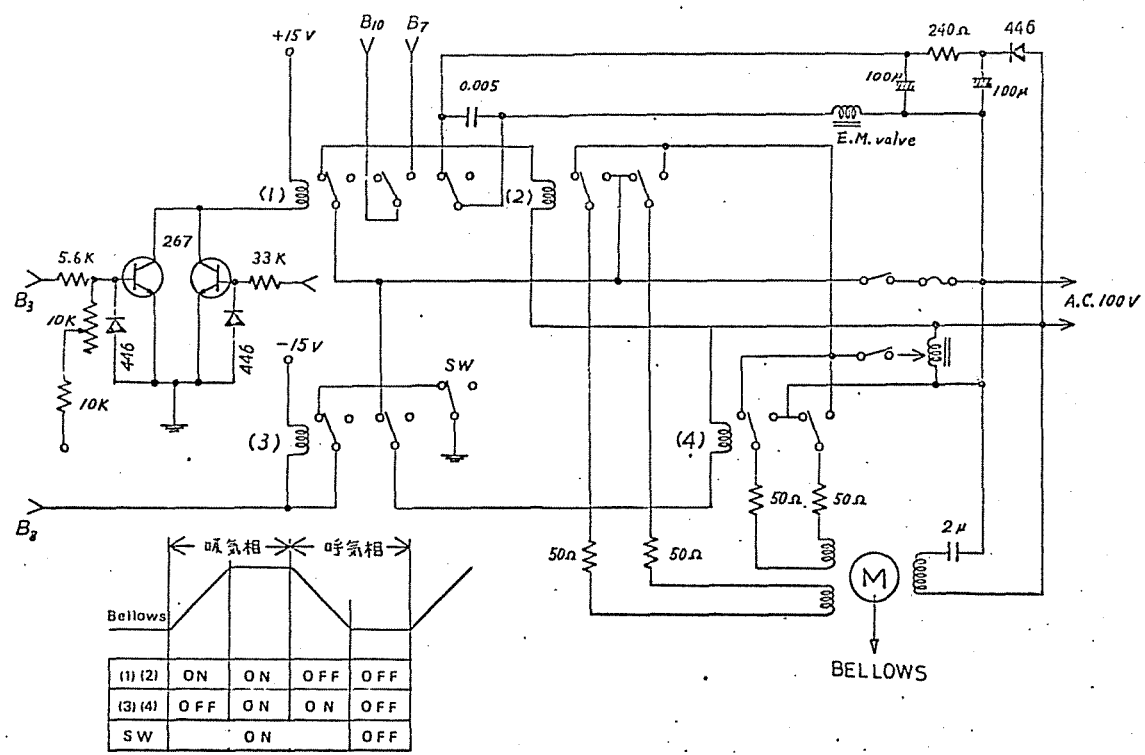


図 6.8 換気量制御部回路

一 サーボモータ 制御部

7章 動物実験及び臨床応用

7.A 長期人工呼吸実験

7.A.1 実験方法

体重 10-15 kg の雑種成犬 6 頭を使用した。人工呼吸は最低 24 時間に行なわれた。

実験は ① 最適呼吸制御装置による調節呼吸アーティフカルと ② 一定換気アーティフカルとの二つに分けて行なった。麻酔、血圧測定、動脈血分析は C-2-a の方法と同じである。動脈血酸素分圧は Severinghaus 酸素電極 (Radiometer, Copenhagen) を用いて 38°C で測定し、体温で補正した。

7.A.2 実験結果

24 時間にわたる人工呼吸時の動脈血酸素分圧、動脈血炭酸ガス分圧、分時炭酸ガス排出量の時間経過を図 7.1 に示す。最適呼吸制御装置による調節呼吸アーティフカルでは、動脈血炭酸ガス分圧、酸素分圧とも許容範囲にあつた。一定換気アーティフカルでは、動脈血酸素分圧は許容範囲内にあつたが、炭酸ガス分圧は時々許容範囲を下まわつた。

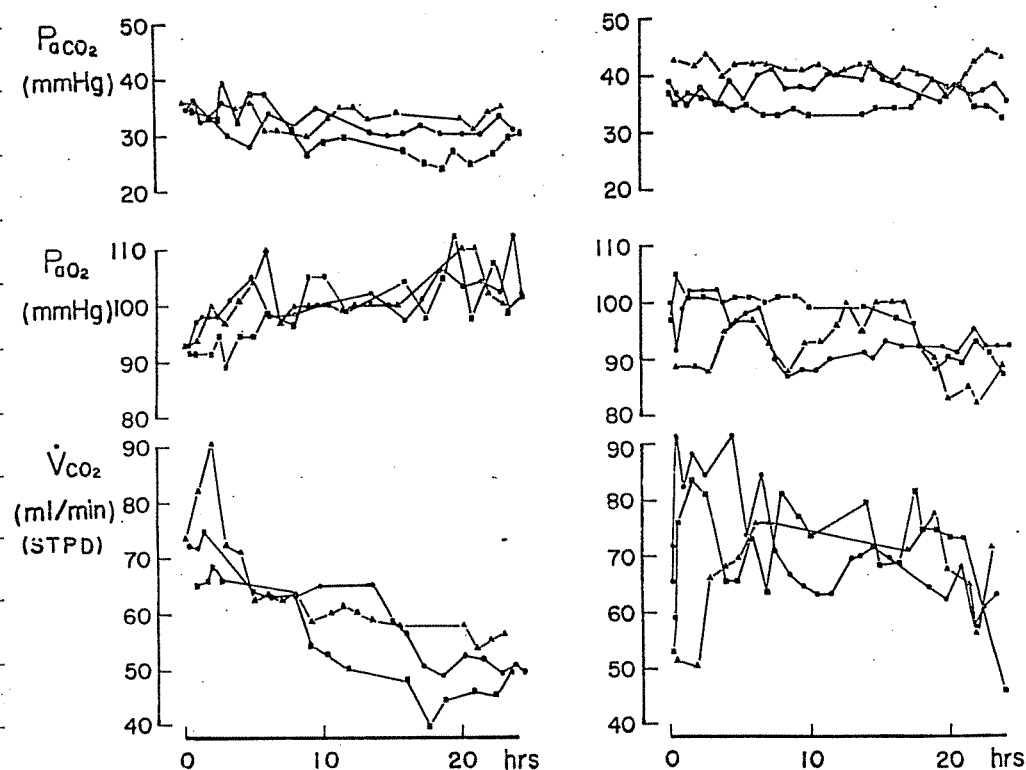


図 7.1 長期人工呼吸時の動脈血炭酸ガス分圧、酸素分圧
分時炭酸ガス排出量の時間的経過

各々の犬の24時間にわたる動脈血炭酸ガス分圧、酸素分圧、分時炭酸ガス排出量の平均値及び標準偏差を表7.1に示す。

表7.1 長期人工呼吸時の動脈血炭酸ガス分圧、酸素分圧、分時炭酸ガス排出

Group 1 (Controlled ventilation)

weight (kg)	15	10	12
sex	F.	F.	M.
P _{O₂} (mmHg)	90.3 ± 7.21	96.8 ± 5.07	93.9 ± 4.62
P _{CO₂} (mmHg)	41.0 ± 2.04	34.9 ± 1.86	37.8 ± 1.89
V̇ _{CO₂} (ml/min)	66.8 ± 8.75	71.0 ± 9.79	71.5 ± 9.66

量の平均値 及び

標準偏差。

数値は平均値

± 標準偏差を表す。

Group 2 (Constant ventilation)

weight (kg)	11	10	13
sex	M.	F.	M.
P _{O₂} (mmHg)	101 ± 4.55	98.7 ± 5.83	101 ± 3.96
P _{CO₂} (mmHg)	33.7 ± 1.89	30.5 ± 4.35	31.7 ± 2.11
V̇ _{CO₂} (ml/min)	63.7 ± 9.43	53.2 ± 9.10	59.1 ± 8.63

分時炭酸ガス排出量の変動に対する動脈血炭酸ガス分圧の変動は、調節呼吸ケーブルの方より一定換気ケーブルより小さくなっている。

7.B 静脈内炭酸ガス負荷実験

7.B.1 実験方法

体重8-22kgの雑種成犬12頭を使用した。装置を図7.2に示す。大腿静脈より下行大静脈にシリコン製ゴム管を插入し、重力により静脈血（血流量は心拍出量の約1割）を円板型人工肺に導いた。人工肺中では、静脈血は窒素と炭酸ガスの混合ガスと接触することにより、その静脈血炭酸ガス分圧、酸素分圧が変化され、回転ポンプにより38°Cの恒温槽を通り、頸静脈にもどる。

最初ドナー犬からの血液で人工心肺、シリコン製ゴム管を満たしていく。体外循環時には、人工肺中の血液量、動脈圧を監視し、人工肺へ血液を導く

ゴム管の途中で、その抵抗を調節することにより、実験を通して一定の体外循環血流が保たれるようにした。最初、人工肺中血液は空気と接触させ、犬の分時炭酸ガス排出量が一定になった後、人工肺中血液を窒素・炭酸ガス混合ガスと接触させその後再び空気と接触させた。

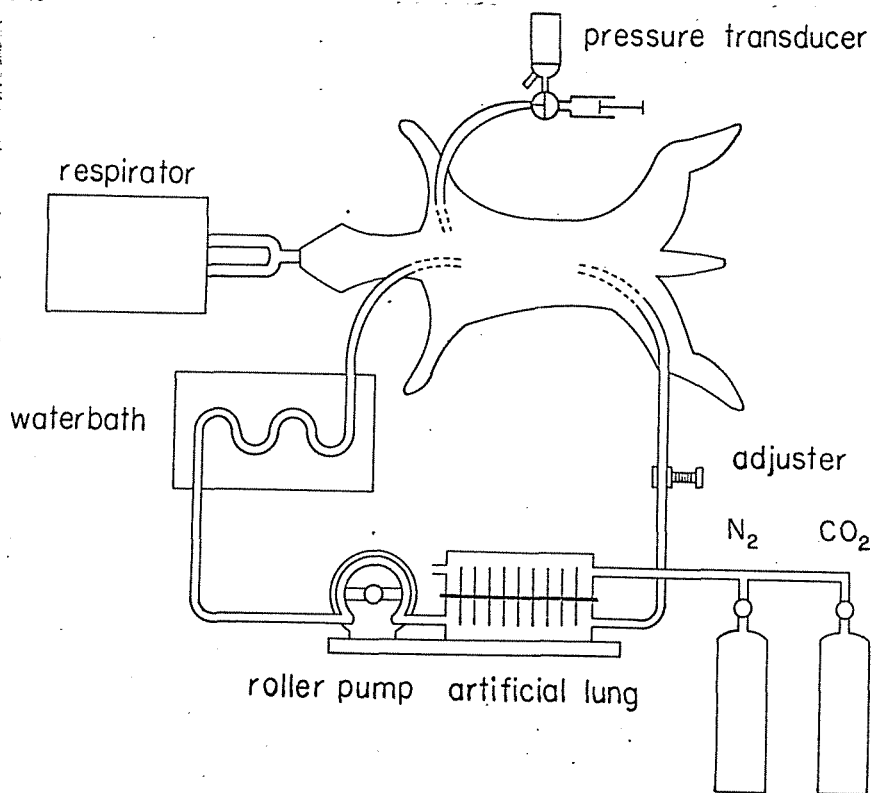


図7.2 静脈内炭酸ガス負荷実験法

実験は次の3つのグループに分けて行った。
① 一定換気
② 最適呼吸制御装置による調節呼吸。ただし死腔量は一定。
③ 最適呼吸制御装置による調節呼吸。ただし死腔量は1回換気量の関数。

7-B-2 実験結果

静脈内炭酸ガス負荷前、後の動脈血炭酸ガス分圧、酸素分圧、分時炭酸ガス排出量が表7-2に示してある。各グループ毎に動脈血炭酸ガス分圧、分時炭酸ガス排出量を平均し、その関係を図7-3に示す。一定換気で換気された犬の動脈血炭酸

ガス分圧は、わずかの代謝の増加に対して異常に高い値を示した。

表7.2 静脈内炭酸ガス負荷時の動脈血炭酸ガス分圧、酸素分圧

分時炭酸ガス排出量 before: 負荷前の値, after: 負荷後

1. Constant ventilation

weight(kg)	14		10	
sex	M.		M.	
time	before	after	control	20'
PCO ₂ (mmHg)	36.0	58.0	36.0	72.0
P _{O₂} (mmHg)	95.0	94.0	98.0	70.0
̇V _{CO₂} (ml/min)	36.2	64.1	40.3	52.9

20分の値

2. Controlled ventilation (constant dead space)

weight(kg)	18		22		16		22		14	
sex	M.		F.		F.		F.		M.	
time	before	after								
PCO ₂ (mmHg)	46.0	51.0	30.0	49.0	32.0	41.5	34.0	40.5	31.0	42.0
P _{O₂} (mmHg)	90.0	98.0	72.0	79.0	101	106	82.0	83.0	98.0	108
̇V _{CO₂} (ml/min)	47.3	106	25.9	158	24.7	61.2	79.5	134	31.5	68.3

3. Controlled ventilation (dead space is a function of tidal volume)

weight(kg)	14		14		11		20		8		11		11		20	
sex	M.		M.		M.		H.		F.		H.		H.		M.	
time	before	after														
PCO ₂ (mmHg)	37.0	38.0	34.0	37.0	32.0	38.0	39.0	38.0	30.0	34.5	29.0	33.0	29.5	38.0	32.0	33.5
P _{O₂} (mmHg)	84.0	110	102	118	81.0	93.0	80.0	92.0	109	114	78.0	92.0	112	126	96.0	95.0
̇V _{CO₂} (ml/min)	17.3	87.6	45.3	95.7	32.7	89.3	62.7	131	20.1	53.7	22.8	99.3	21.8	125	65.0	106

P_{aCO₂}(mmHg)

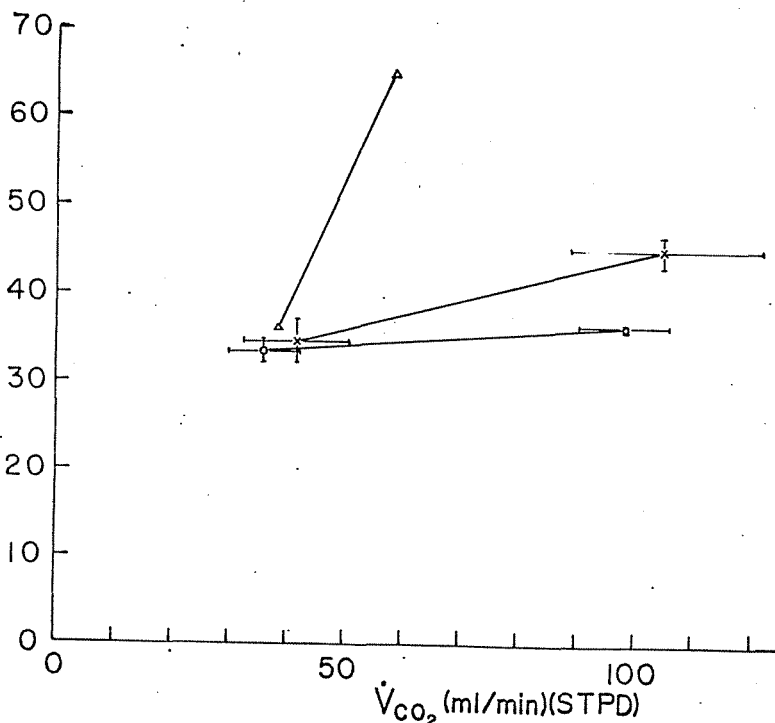


図7.3 静脈内炭酸ガス負荷時の動脈血炭酸ガス分圧と分時炭酸ガス排出量の関係

調節呼吸(ただし死腔量一定)では、代謝が増加したにもかかわらず、動脈血炭酸ガス分圧は、これ程上昇しなかった。調節呼吸(ただし死腔量を1回換気量の関数)では、動脈血炭酸ガス分圧は、代謝の増加にもかかわらず、ほぼ一定に保たれた。静脈内炭酸ガス負荷時の動脈血炭酸ガス分圧、分時換気量の過渡反応を図7-4に示す。

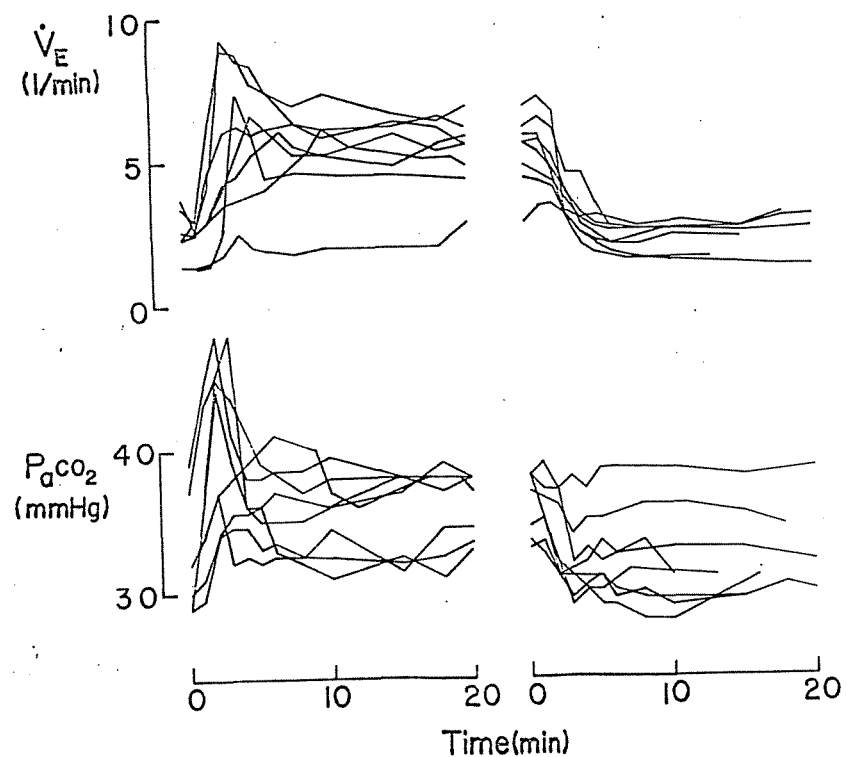


図7・4 静脈内炭酸ガス負荷時および負荷後の動脈血炭酸ガス分圧、分時換気量の過渡応答

動脈血炭酸ガス分圧は負荷後直ちに上昇して約2分後に頂点に達し、ついで下降している。分時換気量は負荷後数分してから上昇して、約5分後に頂点に達し、ついで減少している。炭酸ガス負荷終了後には動脈血炭酸ガス分圧はすぐに下降するが、分時換気量は約3分後より減少し始め、定常状態に達している。

7.C 補助呼吸装置による動物実験

7.C.1 実験方法

雑種成犬(4頭)をなんら前処理せずにペントバルビタール($30\text{mg}/\text{kg}$)で導入、插管後、補助呼吸装置に接続した。呼吸は最初自発呼吸のある状態に保ち、それに同期して補助呼吸を行なわせた。ついでペントバルビタールあるいはクロラローゼで仕立に自発呼吸を消失させ、その自発呼吸消失および自発呼吸発現時の補助呼吸装置の応答をみ、又血液ガス分析も行なった。筋弛緩剤(S.C.C.)を投与し、自発呼吸消失時の応答もみた。動脈血の採血法及びそのガス分析法は7.A.1と同じである。

7.C.2 実験結果

図7.5にクロラローゼにより仕立に自発呼吸を消失させたときの、血液ガスの時間的経過を示す。酸素分圧、炭酸ガス分圧、pHとも、自発呼吸の有無にかかわらず、正常範囲に保たれている。

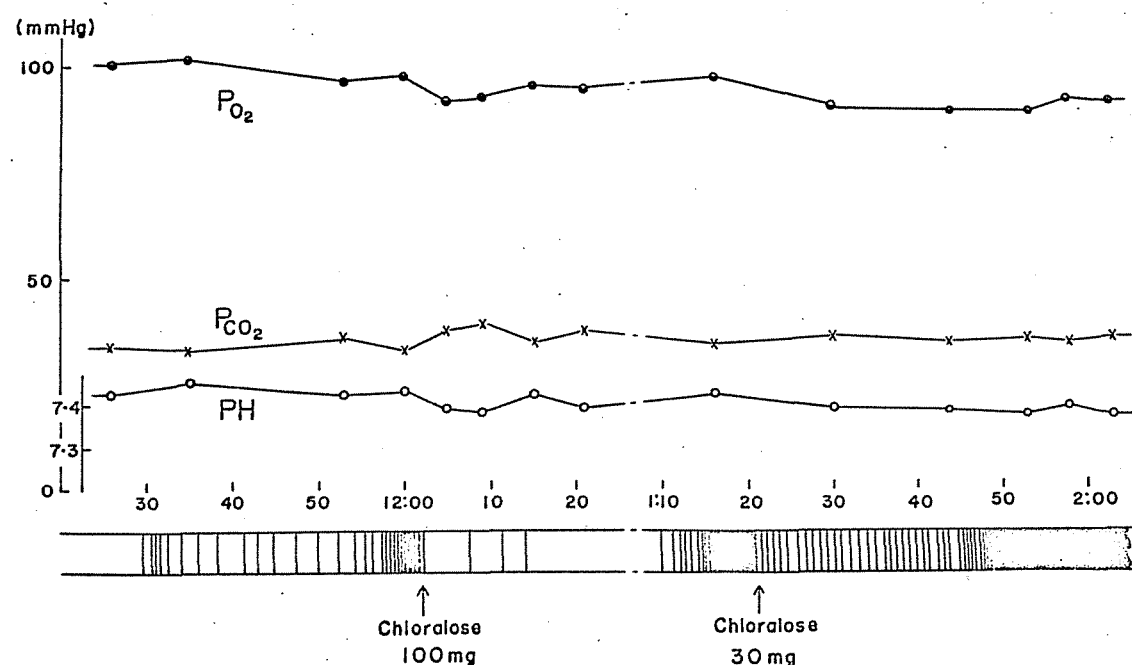


図7.5 補助呼吸装置による呼吸管理時の動脈血、酸素分圧
炭酸ガス分圧、pHの時間的経過

下段・黒の斜線は自発呼吸の発現を示す。

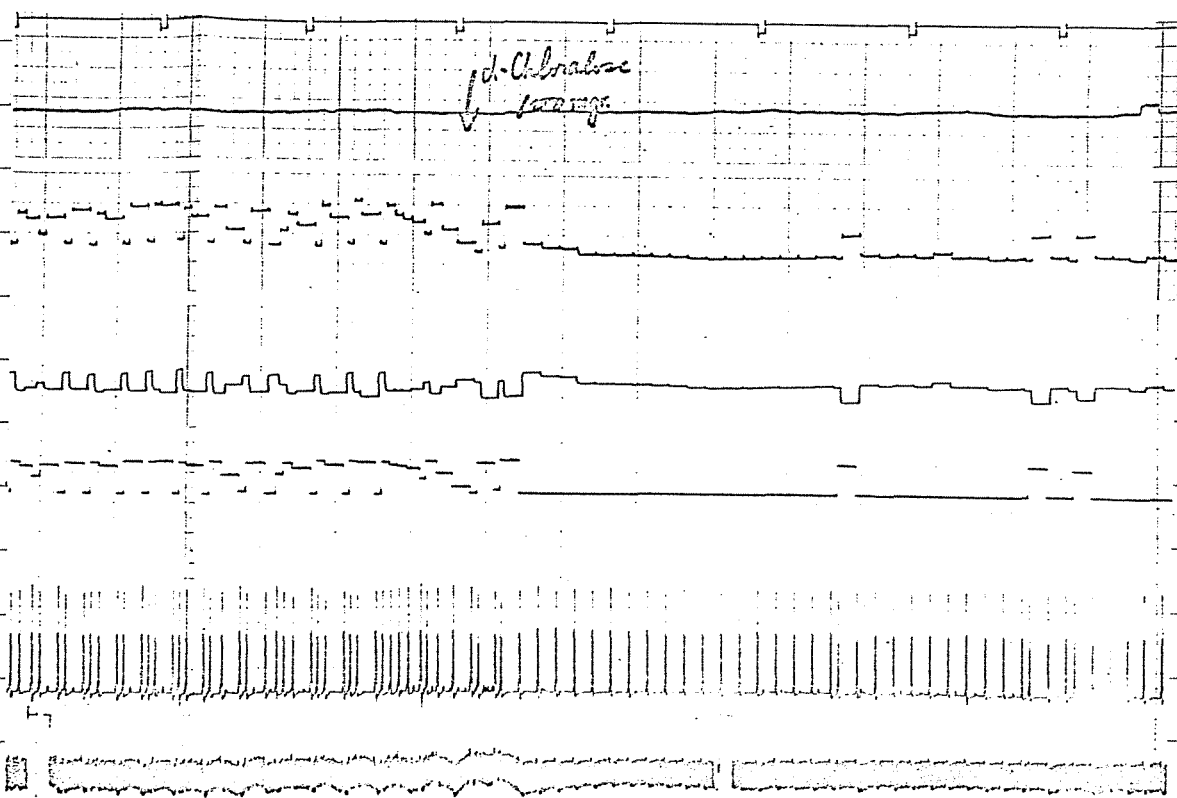


図7.6 麻酔剤(ケトローゼ)投与時の補助呼吸装置の応答

記録は上段刊平均炭酸ガス濃度、分時換気量、1回換気量
呼吸引吸周期、気流速、血圧を示す。

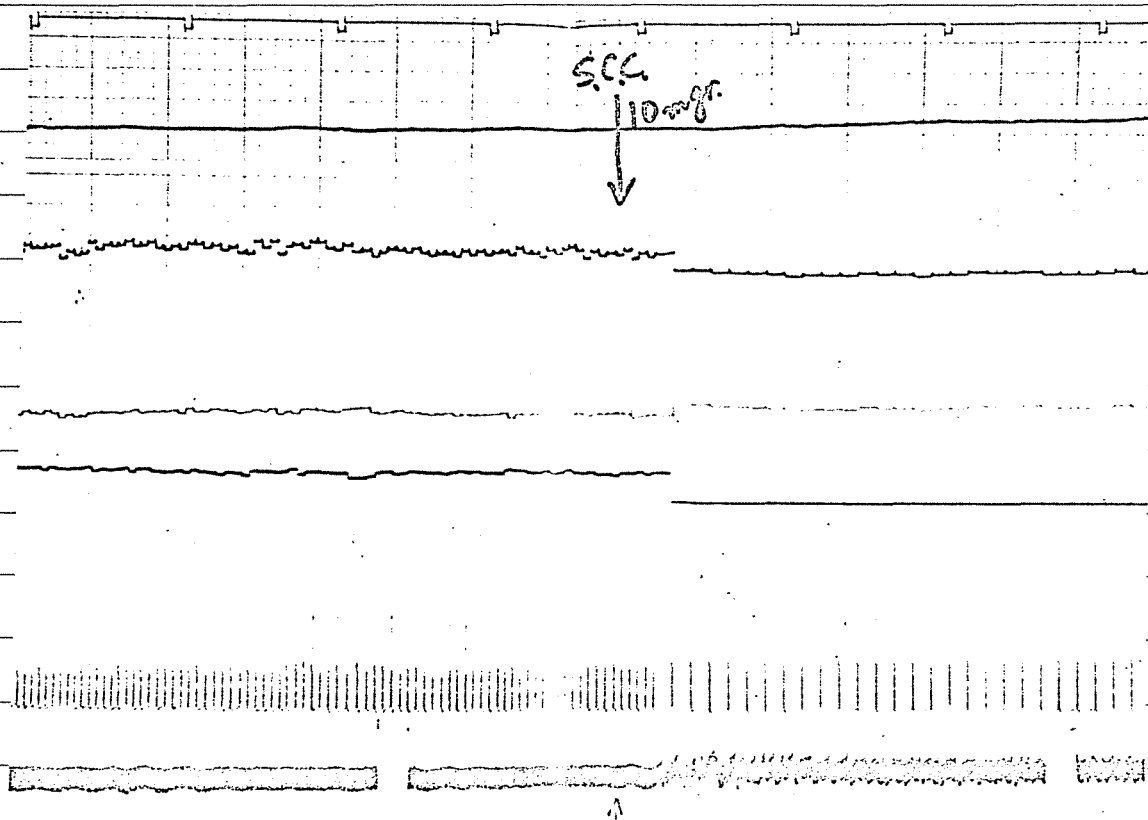


図7.7 筋弛緩剤(S.C.C.)投与時の補助呼吸装置の応答

図7.6に自発呼吸時にクロラローゼを静注し、自発呼吸を抑制させたときの様子を示す。クロラローゼ静注後自発呼吸が止ればそれに同期して補助呼吸を行なっていふことがわかる。図7.7にS.C.C.静注後の応答を示す。S.C.C.静注後、自発呼吸は完全に消失するから呼吸数一定の呼吸に替わっていることがわかる。

7.D 臨床応用一手術時における使用例

7.D.1 方法

呼吸器、循環器系に疾患のない患者6名に対して、その手術中の呼吸管理を最適呼吸制御装置を使用して行なった。患者は幼児及び成人で手術も開腹術、開胸術を含んである。(表7.3)

呼吸制御装置は、麻酔導入が完了してから、手術終了時まで使用し、覚醒時に停止した。死腔量、気道抵抗、コンプライアンスの値は、正常値とし、呼吸装置に設定した。

動脈血は上腕動脈あるいは大腿動脈より動脈穿刺により採血し、PH、炭酸ガス分圧、酸素分圧を血液ガス分析装置(Beeckman, U.S.A.)により測定した。なお採血は手術開始後と手術終了前の2回行った。

表7.3 手術時の呼吸管理に最適呼吸制御装置を適用したとき

患者名	年齢	性	体重	手術名	麻酔剤	血液ガス			経過時間	の血液ガス 分析結果
						pH	PaCO ₂	PaO ₂		
1 (x) Y.M.	52	♀	53 (kg)	左大腿骨骨切り術	GOF	7.35 7.40	46.5 42 (mmHg)	138 136 (mmHg)	1 35	45
2 (o) K.A.	69	♂	46	診断的開腹術 (転移性肝癌)	GOF	7.46 7.37	33 36	215 207	1 25	30
3 (▲) M.K.	30	♀	46	胃切除術	GOF	7.45 7.47	36 29	200 220	2 45	20
4 (口) T.N.	52	♀	50	左乳癌根治術	GOF	7.48 7.38	33 40	190 170	4 00	40
5 (△) K.K.	9	♂	30.5	結腸腫瘍根治術	GOF	7.30 7.28	48 44	190 126	1 205	110
6 T.S.	60	♀	40	右上葉離切術	GOF	7.34	53	97	7 00	00

7. D. 2 結果

血液ガスの分析結果を表7.3及び図7.8に示す。PHは1例除き、全例が2時間正常範囲にあつた。動脈血炭酸ガス分圧は、2例では手術初期に、1例では手術後期に正常範囲外にあつたが、大部分の時間は正常範囲にあつた。動脈血酸素分圧は2例で200mmHgを越すものがあつた。

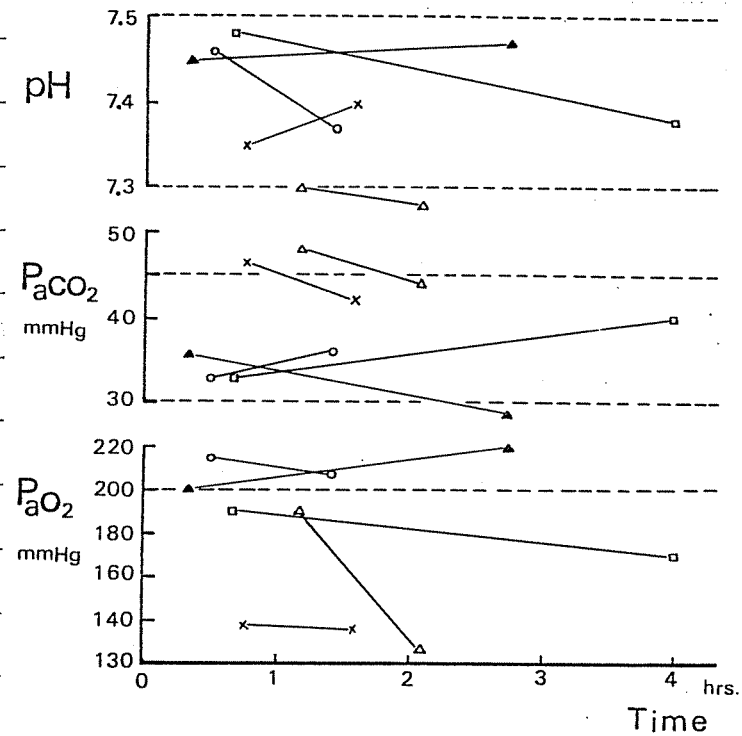


図7.8 手術時の呼吸管理に最適呼吸制御装置を使用したときの血液ガス組成の時間的経過

7. E 臨床応用 - 呼吸不全患者の治療

7. E. 1 方法

血液ガス分析より呼吸不全と思われる患者表7.4に対する治療を目的として人工呼吸を行なつた。換気は意識下でマスクピースを通して行なつた。呼吸はベネット・レスピレーターを使用し、空気と100%酸素ガス吸入の二通り行なつた。また最適呼吸制御装置を使用し空気および高濃度酸素ガスによる自動式人工呼吸を20~30分間行なつた。前腕動脈に動脈穿刺を行い、動脈血をサンプルして、血液ガス分析

装置(ILX-ター)にて分析した。

表7.4 呼吸不全患者の一覧表

Subjects (mmHg)	P _a O ₂ (mmHg)	P _a CO ₂ (mmHg)	pH	V _A (l/min)	V̇ _{CO2} (l/min)	V _D /V _T	D _L CO (ml/min/mmHg)	R (cmH ₂ O/l/sec)	C (l/cmH ₂ O)	V _D (l)
1. F.M.	65	48.7	7.51	3.85	0.126	0.648	9.6	1.50	0.134	0.198
2. N.A.	41.7	41.55	7.453	4.3	0.249	0.539	9.6	2.35	0.118	0.208
3. K.K.	73.2	34.5	7.412	5.27	0.253	0.481	8.5	1.9	0.160	0.220
4. O.K.	47	38.6	7.435	4.06	0.219	0.616	6.46	3.0	0.069	0.273
5. S.S.	66.8	39.7	—	4.33	0.241	0.596	5.1	4.6	0.265	0.317
6. T.N.	60.2	54.8	7.340	2.91	0.224	0.674	15.96	6.5	0.102	0.262
7. K.J.	78.3	39.8	7.408	2.72	0.152	0.445	7.0	4.08	0.392	0.109
8. S.S.	64.4	35.8	7.388	4.22	0.212	0.577	14.0	6.0	0.113	0.320
9. C.M.	62	35.2	7.394	2.78	0.136	0.387	18.1	5.6	0.088	0.212
10. Y.H.	68.4	38.3	7.398	3.76	0.202	0.448	13.1	3.4	0.229	0.203
11. S.S.	61.6	34.8	7.427	4.26	0.208	0.569	19.9	0.85	0.228	0.353
12. O.M.	59.2	34.6	7.422	4.08	0.198	0.367	21.0	4.5	0.205	0.132

7.E.2 結果

患者F.M.は、拡散能の低下、むすび $\frac{V_0}{V_T}$ 比の上昇にみられるように、拡散障害、換気血流比異常のため、また患者T.N.は、肺胞低換気、換気血流比異常により酸素分圧低下、炭酸ガス分圧上昇を示している。

人工呼吸の効果をみると(図7.9, 図7.10), 空気による自動式人工呼吸で炭酸ガス分圧は正常となるが、酸素分圧は改善されない。25%酸素呼吸に対しては、酸素分圧も改善され(図7.10), 血液ガス組成は正常となる。人工呼吸をやめると再び血液ガスは異常となる。

他の患者では、自発呼吸時に酸素分圧は低いが、炭酸ガス分圧は、正常もしくはやや低い値となる。患者N.A.は拡散障害のため空気呼吸では酸素分圧は改善されなかった。(図7.11)患者S.S., K.J.は25%酸素吸入により酸素分圧は改善され、血液ガス組成は正常となった。(図7.12, 図7.13)しかし、患者S.S.では自発呼吸(空気吸入)にもどると再び酸素分圧は低くなつた。

また、患者O.K.は40%酸素ガス吸入により、酸素分圧は改善された。

(図7.14) 患者Y.Y., O.M.には100%酸素ガスを吸入させたところ、酸素分圧は500mmHgを越したが、高濃度酸素吸入により予想される高炭酸ガス血症は抑制された。

ベネットレスピレーターで空気吸入の場合、動脈血炭酸ガス分圧は、大部分の例で正常範囲にあったが、患者F.M.では上昇して正常範囲を越した。

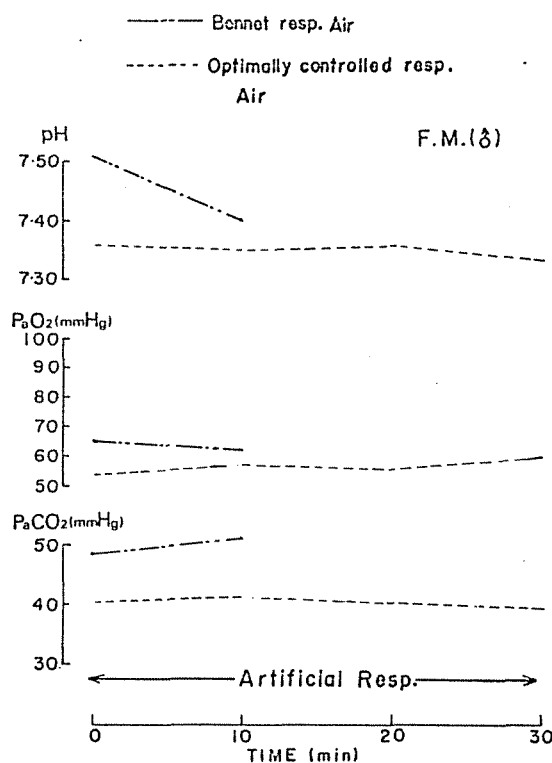


図7.9 人工呼吸時の血液ガス組成
— F.M(♂)

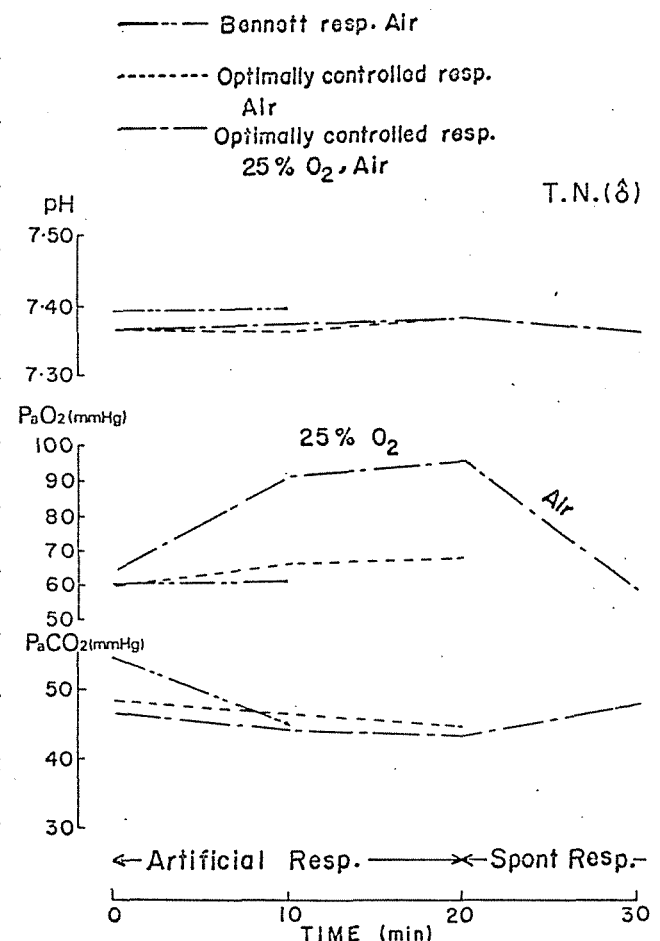


図7.10 人工呼吸時の血液ガス組成
— T.N.(♂)

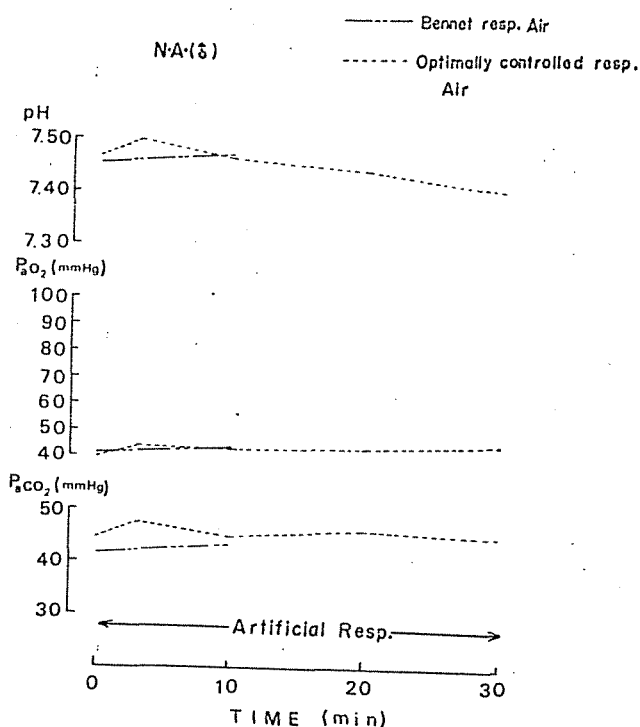


図 7.11 人工呼吸時の血液ガス組成
- N·A (♂)

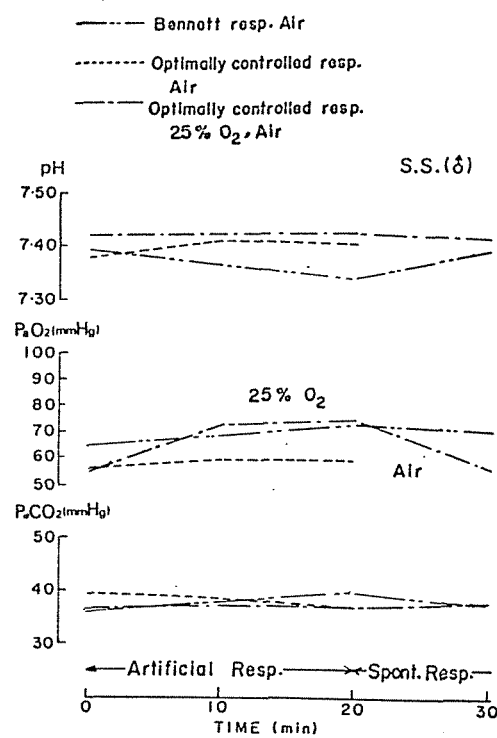


図 7.12 人工呼吸時の血液ガス組成
- S·S (♂)

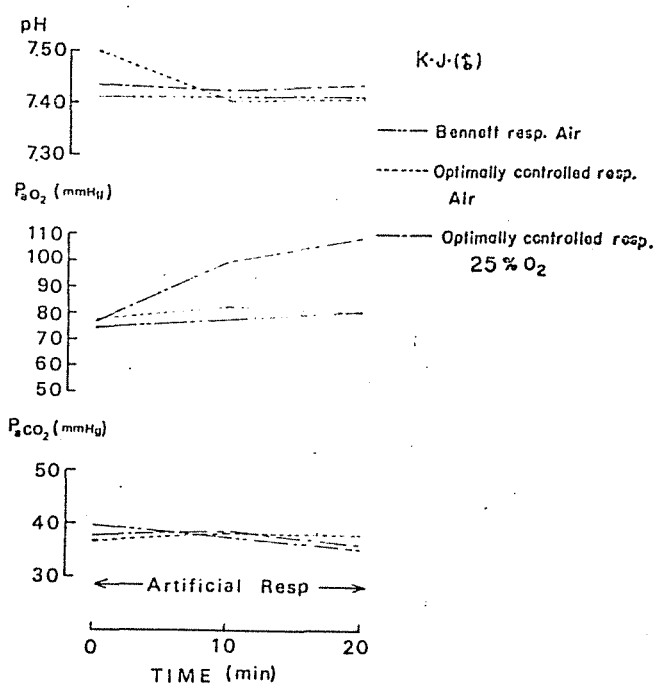


図7・13 人工呼吸時の血液ガス組成
— K・J (♂)

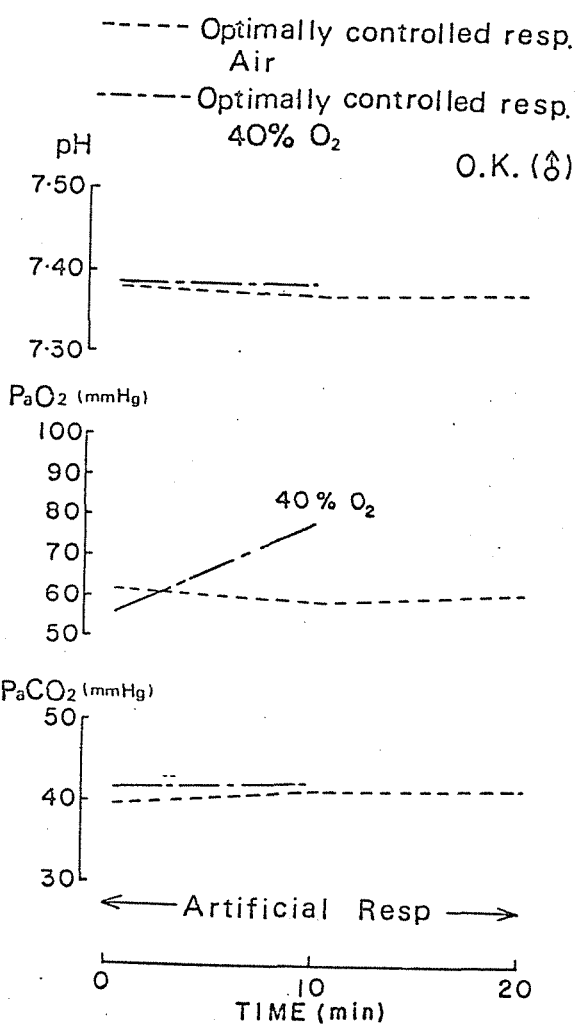


図7・14 人工呼吸時の血液ガス組成
— O・K・(♂)

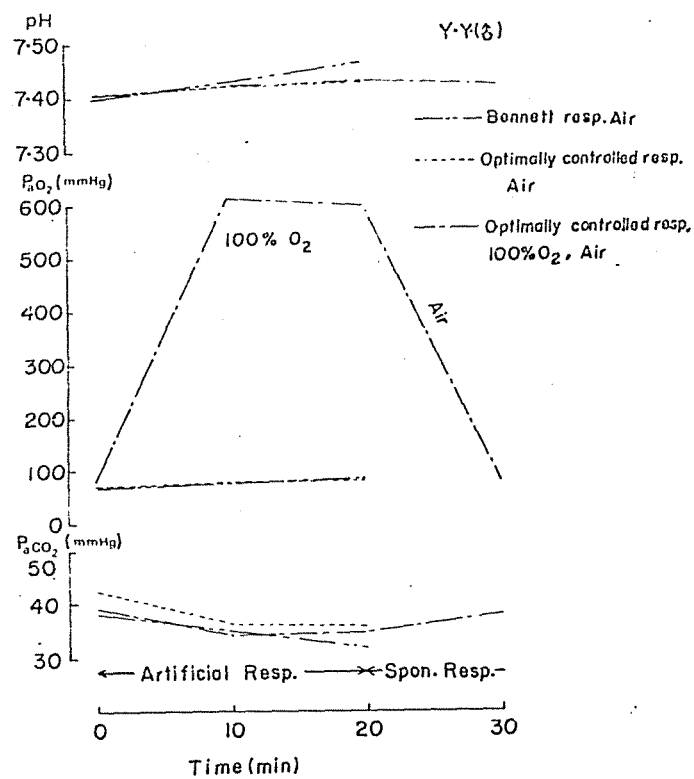


図 7-15 人工呼吸時の血液ガス組成
—Y-Y(女)

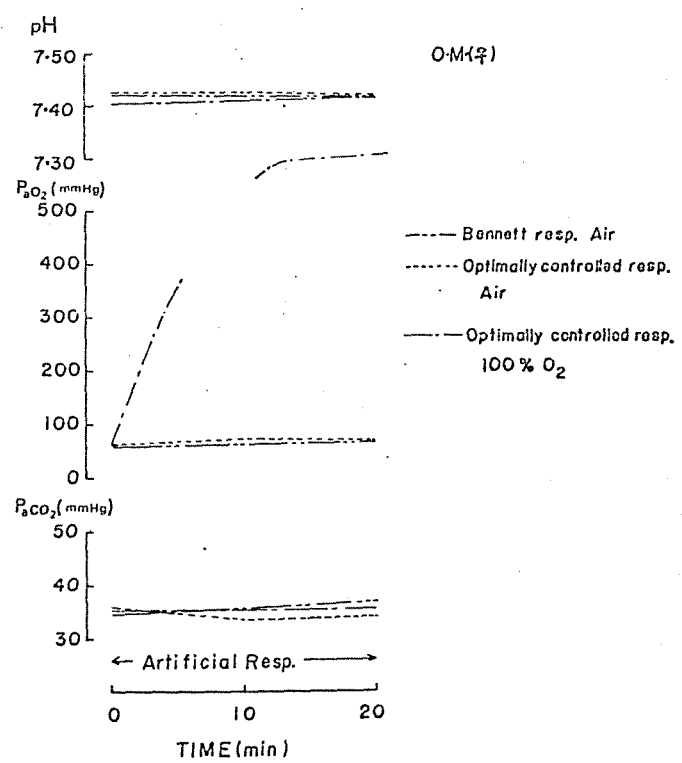


図 7-16 人工呼吸時の血液ガス組成
—O-M(男)

第8章 考察

人工呼吸の目的は適切な肺胞換気をはかることである。したがて人工呼吸中に適切な換気が行なわれるよう多くの方々や装置が提案されてきた。*Frumkin*¹¹⁾, *denibergsen*¹²⁾, *Halloman*¹³⁾, 神山¹⁴⁾らは、通常呼気終末位炭酸ガス分圧が動脈血炭酸ガス分圧に一致することを利用し、呼気終末位の炭酸ガス濃度を測定して、この値に応じて換気量あるいは吸気ガスの炭酸ガス濃度を調節し、動脈血炭酸ガス分圧を一定に保つ装置を考案している。しかし1回換気量が小さくなると、呼気終末位ガスと死腔ガスとの混合が起り、眞の肺胞気炭酸ガス分圧が得られないこと¹⁵⁾、またシャント、換気血流比異常、拡散障害等が存在するときには、肺胞気炭酸ガス分圧と動脈血炭酸ガス分圧とが一致しないこと、さらには慢性気管炎、肺気腫、肺線維症等では、呼気時に肺胞が同時に収縮しながら、呼気終末位炭酸ガス分圧は、肺胞気炭酸ガス分圧と一致しないこと等の理由により呼気終末位炭酸ガス分圧による換気量制御は不十分である。

Radford^{5), 6)}, *Engström*⁷⁾, *Tunn*⁸⁾, *Henny*⁹⁾は年令、性別、体重、身長等より分時炭酸ガス産生量、死腔量を推定し、適切な換気量を求める1モグラムを発表している。*Radford*の1モグラムは他の人々によってその有効性が認められた。¹⁰⁾しかし循環器、腎臓等の疾患を伴う呼吸不全患者や重症の急性あるいは慢性の肺疾患者に対しては、患者の生理学的死腔量と分時炭酸ガス排出量の増加のため、1モグラムから推定した換気量と実際の換気量に相違が観われた²¹⁾。また開胸手術時にも、1モグラムの使用は不適当であるとの報告もなされている²²⁾。すなわち1モグラムによる方法は、患者の身長、体重等から容易に適正換気量を決定できる長所をもつが、実際に分時炭酸ガス排出量、生理学的死腔量を測定していないため、疾患によりそれらが異常な値をとる場合や、時間経過とともに変化てくるような場合には有効性を失うことになる。

分時炭酸ガス排出量については *Pontoppidan*²³⁾らは、患者の実際の分時炭酸ガス排出量は *Radford*の推定値の±25%の範囲内にあったと報告しているが、その推定は困難である。図7・1および表7・1の分時炭酸ガス排出量の変化はこれを示している。さて、一定換気の実験例における分時炭酸ガス排出量の変化は、代謝の減少と V_O/V_T 比の上昇の二つの効果の影響を表わしていると考えられる。一定換気下では、人工呼吸開始時に適正換気であっても、分時炭酸ガス排出量が変化すれば換気は当然適正を失な

い、血液ガス組成も異常となってくる。このことは図7・1および表7・1に明示されている。一定換気では代謝の減少とともに動脈血炭酸ガス分圧が低下し、正常範囲を下さわっている。しかしこの場合には長期人工呼吸時にみられるように、 V_D/V_T 比が増加し、²⁷⁾ 炭酸ガスの排出能率を下げているため動脈血炭酸ガス分圧の低下は、図示の程度にてとまつるが、もしも V_D/V_T 比に増加がみられなければ、炭酸ガス分圧の減少はさらに大きくなることが予想される。また図7・3 および表7・2 に示されているように、分時炭酸ガス排出量の増加にも拘らず一定換気を保持すると動脈血炭酸ガス分圧は異常に上昇する。これを防ぐためには分時炭酸ガス排出量を連續測定し、その値に比例した換気を行なう必要がある。さらに分時炭酸ガス排出量を換気量制御の入力情報とすれば、呼気終末炭酸ガス分圧を入力情報とした換気量制御法にみられた、小さく1回換気量および肺胞収縮の非同期性による誤差はなくなる。したがって図7・1 および表7・1 のごとく最適呼吸制御装置の使用例では血液ガス組成を長時間にわたり正常範囲に保つことができた。また図7・3 および表7・2 に示すように急激な代謝変動に対しても、炭酸ガス分圧をほぼ一定に保つことができた。

分時炭酸ガス排出量を算出するためには、正確には呼吸ごとの呼気炭酸ガス濃度と呼気流量速とを測定しなければならない。ここでは装置に臨床使用のための実用性をもたせる目的から4・Aおよび4・Bでのべたように一定容積のポリエチレン袋内に呼気を導き、測定された炭酸ガス濃度と1次遅れ系から出力された分時換気量を掛けで分時炭酸ガス排出量を求める方法をとっている。その結果、測定装置を患者から十分離すことか可能となり、また気速計は不要となった。ただしこの方法では時々刻々の真の分時炭酸ガス排出量は求めることはできない。したがって図9・7 および図5・8 に示すように心拍出量がステップに変わったときには分時炭酸ガス排出量の真の値と評価値に差がみられる。しかし、10分を経過してから後は、ほとんど一致していること、過渡期における動脈血炭酸ガス分圧の変動も±5mmHgの範囲内であり、持続時間も2分以内となっているので生体に与える影響は少ないとと思われる。図5・5、図5・6 は炭酸ガス排出量がステップに変わった場合の呼吸動態のシミュレーションであるが、肺からの分時炭酸ガス排出量の変化はゆるやかで、そのため推定値と真の値の偏差も少なく、約20分後に新らしい定常状態となっている。この間動脈血炭酸ガス分圧は一定に保たれている。分時炭酸ガス排出量の真の値と評価値との差は1次遅れの時定数が小さいほど少しおりが、時定数が極端に短いと心拍出量の増加に対して生体内の炭酸ガス運搬系の遅れ時間と、

呼吸装置における呼吸量増加率とのかね合ひから換気量の増加が急激となり、生体に悪影響を与える危険が生ずる。また血液ガス組成の時間的変化は遅れ時間で10秒に選んでも十分満足である。そこで、シミュレーションの結果を考えながら呼吸制御装置では $T = 10$ 秒とし、4・A および 4・B で示された方法で分時炭酸ガス排出量を求めた。動物実験の結果(図7・4)では動脈血炭酸ガス分圧が一過性に2~3分間正常範囲を越す例があるが、短時間であるため生体に与える影響は少ないとと思われる。さらにその後は定常値に安定することから、4・A および 4・B による分時炭酸ガス排出量測定法でほぼ満足すべき結果を得られると考えている。

生理学的死腔量については Pontoppidan りは、実際の死腔量は Radford の推定値の 25% 増から 5 倍の範囲にあつたと報告している²⁷⁾。また生理学的死腔量は 1 回換気量の閾値にもなっている。^{18), 19), 20)} したがて死腔量についても実測の必要があるので、これを犬で実験した結果図3・1 および表3・1 に示されるような関係が求まった。そこで生理学的死腔量は 1 つの値に固定することなく、 V_D/V_T 比の形で評価すべきであろう。すちわち図7・3 および表7・2 に示すように死腔量を一定として静脈内炭酸ガス負荷を行なえば、増加する 1 回換気量により生理学的死腔量は増加するか、呼吸装置は死腔量を一定として評価しているため実質的に肺胞換気量は減少し、動脈血炭酸ガス分圧は若干上昇している。これに対して死腔量を 1 回換気量の比として評価すれば静脈内炭酸ガス負荷に対しても動脈血炭酸ガス分圧を一定に保つことができる。ところで V_D/V_T 比は心拍出量²⁹⁾、肺動脈圧³⁰⁾、1 回換気量²⁰⁾、吸気時間³¹⁾ および呼吸器内のガス圧縮³²⁾ に沿り変化する。1 回換気量については 3・c, 2・a でのべたように 1 回換気量を加えて生理学的死腔量を測定し、(3-6) 式のごとく死腔量を評価すれば、その影響は無くなる。また吸気時間については、吸気時間が 1・5 秒以下になると V_D/V_T 比は急に増加するといふ。呼吸比率を 1:1 とすると吸気時間が 1・5 秒の呼吸数は毎分 20 回となり、肺胞換気量を 15 l/min. 以下とすると最適呼吸数が 20 回を越すのは図3・3 から図3・6 までほとんどの限り吸気時間の影響を省略してよい。またガスの圧縮による誤差は数 % 以下であるので省略できる。心拍出量や肺動脈圧は通常の場合あまり変動すると考えられないが、手術等で変動が予想される場合は、再び V_D/V_T 比を測定する必要がある。Thornton³³⁾ は手術時の V_D/V_T 比の変化を測定し、平均 7.8% の増加であったとしている。もし2つの間 分時炭酸ガス排出量および分時換気量に変化がないとすると、 $V_D/V_T = C$ として

$$P_{aCO_2} = \frac{713 \times V'_{CO_2}}{V_E} \times \frac{1}{1-C}$$

となる。(たがってこの V_O/V_T 比の変化に対する動脈血炭酸ガス分圧の変化は $C=0.3$ で $+3.3\%$, $C=0.4$ で $+5.2\%$, $C=0.5$ で $+7.8\%$ となり)、初期の炭酸ガス分圧を 40 mmHg とすると、それ +1.3 mmHg, +2.1 mmHg, +3.1 mmHg の増加となり炭酸ガス分圧は依然として正常範囲にあることになる。また長期人工呼吸の患者では無気肺が起り換気血流比異常となり V_O/V_T 比が増加することが考えられるので、ときどき V_O/V_T 比の測定が必要であろう(図7・1, 表7・1)。

すなわち分時炭酸ガス排出量を連続測定し生理学的死腔量を正確に推定すれば、Boenの式にもとづく方法で適切な肺胞換気が得られることになる。図7・8は手術時の使用症例であるが、ほぼ満足できる結果となっている。ただし1症例にpHの低下と炭酸ガス分圧の上昇がみられ、不足換気である事を示している。手術症例では V_O/V_T 比については実測出来なかつたため、患者の心肺機能は正常であるものと仮定して、すべて正常の V_O/V_T 比を使用した。しかし開胸手術時には肺が圧迫されて V_O/V_T 比が変わることも考えられるので、これが原因となって1症例の動脈血炭酸ガス分圧、pHが異常になつたのではないかと考えている。

V_O/V_T 比の変化はそのまま炭酸ガス排出能率の変化であり、炭酸ガス分圧異常の原因となり危険である。しかし V_O/V_T 比測定には動脈血採血が必要であるから常に可能ではない。したがって V_O/V_T 比を推定する簡便な方法があれば非常に有用となる。

本装置は炭酸ガスのみに注目し、動脈血炭酸ガス分圧を正常範囲に保つことによって、動脈血酸素分圧もほぼ正常に保たれるとの考えに基づいて、換気量制御を行なっている。たしかに長期人工呼吸(図7・1, 表7・1)、補助呼吸(図7・5)および手術時使用例(図7・8, 表7・3)に示されるように、心肺疾患がない場合には空気呼吸あるいは酸素ガス吸入(笑気:酸素=1:1)により、酸素分圧は正常範囲に保たれた。しかし心肺疾患のある場合や換気血流比異常を伴っている場合には必ずしも動脈血酸素分圧の正常範囲への保障はされない。*Markell*³⁴⁾および*Slater*³⁵⁾らは、上腹部手術において、笑気ガス80%、酸素20%とし1回換気量を一定として人工呼吸を行なうと、無気肺の存在のために動脈血酸素分圧は低下することから、20%酸素呼吸または空気呼吸では、動脈血炭酸ガス分圧に基づく換気量制御は、酸素の面からは不十分になると報告している。

長期人工呼吸および補助呼吸実験では手術浸襲が軽度であったため空気呼吸でも動脈血酸素飽和度は正常範囲にあった。また手術症例では吸気がス酸素濃度を50%としたため動脈血酸素分圧の低下はみられていない。しかし、無気肺および換気血流比異常等を伴なっている患者の手術では、20%以上の酸素ガス吸入を行って動脈血酸素飽和度の低下を防ぐことが必要であろう。表7・4の拡散障害、換気血流比異常のある患者では空気吸入で血液の酸素分圧は改善されていないか、25%または40%の酸素ガス吸入が動脈血酸素分圧の改善に効果を上げている（図7・10, 7・12, 7・13, 7・14）。

酸素治療時には、酸素分圧の改善に注意が泣かれ、往々にして炭酸ガス分圧が異常に高っていることがある。ベネット・レスピレーターによる100%酸素ガス吸入時の動脈血炭酸ガス分圧は、患者O・K.で37.8mmHg (control), 41.2mmHg (100% O₂)、患者T・N.で48.6mmHg (control), 55.8mmHg (100% O₂)、患者K・J.で34.3mmHg (control), 20.8mmHg (100% O₂)、患者S・S.で41.4mmHg (control), 44.8mmHg (100% O₂)、患者O・M.で35.5mmHg (control), 33.4mmHg (100% O₂)であった。患者O・K., S・S., O・M.ではcontrol, 100% O₂吸入時ともあまり変化がなかった。しかし患者T・N.では異常に上昇し、患者K・J.では異常に下降していた。これに対して、最適呼吸制御装置で高濃度酸素ガスを吸入させた時には、動脈血炭酸ガス分圧は正常範囲にあった（図7・10, 7・12, 7・13, 7・14, 7・15, 7・16）。

以上述べたことから、症例によつては吸気ガスの酸素濃度を上げるといふ配慮を補足するとして、最適呼吸制御装置によつて十分な呼吸管理がなされるものと結論できる。

第9章 結論

麻酔時における呼吸管理や呼吸不全患者の治療を目的として最適呼吸制御装置を試作した。この装置は①分時炭酸ガス排出量に比例した肺胞換気を行わせる。②死腔量として生理学的死腔量を使用し、その値は1回換気量の閾値になっている。③呼吸数は換気ガスシミュレーターの演算回路により最適呼吸数を選ぶ。④呼吸比率は可変である。の特徴を持っている。また演算回路のプリント板交換と、気速計をとりつけることにより容易に補助呼吸制御装置に変更できるようにした。

分時炭酸ガス排出量は、時間重みをつけた數呼吸の混合呼気ガスの炭酸ガス濃度と、10秒の時定数もつた1次遅れ系で変換され実際の分時換気量とを掛け合わせて求め、装置の簡略化を行なった。このため過渡期においては算出された見掛けの炭酸ガス排出量と真の値とに差があるが、呼吸制御装置一生体系のシミュレーションによって換気動態を解析の結果その差は5%以内であった。心拍出量がステップに増減した場合には、動脈血炭酸ガス分圧に±5mmHg以内の変動があらわれたが、分時炭酸ガス産生量がステップに変化した場合には、動脈血炭酸ガス分圧にほとんど変動がないことを確かめ、この方法が臨床にも十分使用できることを確認した。

長期人工呼吸に関する動物実験では、一定換気量で呼吸を行なった群では、代謝減少を補償できず、動脈血炭酸ガスが正常範囲を下下ったために対し、最適呼吸制御装置で呼吸させた群では、血液ガス組成は全期間に渡り正常値に維持された。

また静脈内炭酸ガス負荷実験では、制御装置のパラメーターである死腔量を1回換気量の増減にかかわらず一定とした例では、負荷に伴ない動脈血炭酸ガス分圧は若干上昇したが死腔量を1回換気量の閾値とした例では、負荷にかかわらず動脈血炭酸ガス分圧は一定値を保った。過渡応答では動脈血炭酸ガス分圧が正常範囲を越すものが“あつたか”、数分以内に復帰することから生体に対しての影響は少ないとと思われる。

麻酔深度の変化により生体の自発呼吸が消失したり、あるいは現われたりする時に補助呼吸装置を使用した。装置は自発呼吸のあるときは、それに同期して補助呼吸を行い自発呼吸の消失時は、呼吸数一定の調節呼吸となる。血液ガス組成は、自発呼吸の有無にかかわらず一定であった。

臨床応用としてまず手術時の呼吸管理の目的で使用したか、動脈血炭酸ガス分圧、pHは大部分正常範囲内に保たれ、また動脈血酸素分圧も50%酸素吸入により正常範囲に保たれた。

呼吸不全患者の治療を目的として使用したときには、20%酸素の空気呼吸では低下している動脈血酸素分圧を改善することはできなかつたか、25%までは40%酸素ガス吸入により動脈血の酸素分圧、炭酸ガス分圧とも正常範囲に保つことができた。

本研究は患者の体重、身長、年齢、性別等より適正換気量を推定する方法の欠点である、分時炭酸ガス排出量や死腔量の疾患や時間経過による推定誤差を、分時炭酸ガス排出量の連續測定と生理学的死腔量の実測により解決した。また呼気終末位炭酸ガス濃度を指標とする換気量制御法において誤差の原因となつた死腔ガスと呼気終末位ガスの混合や、不均等換気は平均呼気炭酸ガス濃度を測定するためその影響は無くなつた。また肺胞気一動脈血炭酸ガス分圧較差による誤差に対しては、生理学的死腔量を用い、炭酸ガス分圧較差を生ずると等価な死腔量だけ多く換気させて解決した。

第7章の結果より、 V_O/V_T 比を正確に求め、適当な濃度の酸素ガスを使用すれば、調節呼吸および補助呼吸のいずれにおいても、試作した最適呼吸制御装置を使用して、酸素ならびに炭酸ガスの血液ガス分圧を正常範囲内に保つことが出来るといえる。

謝　辞

本研究は応用電気研究所メディカル・エレクトロニクス部門において、昭和43年4月より3年にわたり行なつたもので、その間終始懇意な指導と草稿撻をうえられ、また校閲の勞をうられた吉澤千楨教授に対して心から感謝する。さらに本装置の設計、試作から動物実験、臨床応用まで終始多大の指導、助言を賜わつた三上智久助教授に深甚の謝意を表くわす。動物実験および臨床応用に際し、医師の立場から有益な指導、助言をいただいた菅原宏見博士および呼吸装置の制御方式ならびに呼吸装置一生体系の解析に対して適切な助言をいただいた高橋邦夫助手に厚く感謝の意を表わす。本装置の完成には、二川清弘氏の高度な技術的援助によるところがはなはだ多い。かつしんで感謝の意を表わす。手術時の呼吸管理に本装置の使用の機会を与えてくれ、かつ麻酔を担当していただいた医学部麻酔科後藤康之講師さらに呼吸不全患者の治療に本装置の使用の機会を与えてくれ、かつ使用時に多大の援助をいただいた医学部第1内科川上義和博士に深く感謝する。写真および原稿整理には、山本克之、伊福部達、中村鎮雄、小野東、桑原善祥諸氏、および榎本富士子様を煩わした。これ記して寄せられた好意に感謝する。

参考文献

- 1) Sokoloff, L.: The effects of carbon dioxide on the cerebral circulation, *Anesthesiology*. 21:664-673, 1960.
- 2) Wollman, H., S. D. Alexander, P. J. Cohen, T. C. Smith, P. E. Chase, and R. A. van der Molen: *Anesthesiology*. 26: 329-334, 1965.
- 3) McClenahan, J. B. et al.: Effect of ventilation on surfactant and its turnover rate, *J. Appl. Physiol.* 23:215-220, 1967
- 4) Clavier, C. R., and J. E. Affeldt: Ventilatory efficiency of the cuirass respirator in totally paralyzed chronic poliomyelitis patients, *J. Appl. Physiol.* 6:531-538, 1954
- 5) Radford, E. P., B. G. Ferris, and B. C. Kriete: Clinical use of nomogram to estimate proper ventilation during artificial respiration, *New Engl. J. Med.* 251:877-884, 1954
- 6) Radford, E. P.: Ventilation standards for use in artificial respiration, *J. Appl. Physiol.* 7:451-460, 1955.
- 7) Engstrom, C. G., P. Herzog, O. P. Norlander, and S. A. Sevensson: Ventilation nomogram for the newborn and small children to be used with the Engstrom respirator, *Acta anaesth. scand.* 6:175-183, 1962.
- 8) Nunn, J. F.: Predictors for oxygen and carbon dioxide levels during anesthesia, *Anesthesia*. 17:182-194, 1962.
- 9) Kenny, S.: The adelaide ventilation guide, *Brit. J. Anaesth.* 39:21-23, 1967.
- 10) Gain, E. A.: The adequacy of the Radford nomogram during anesthesia, *Can. Anaesth. Soc. J.* 10:491, 1963.
- 11) Frumin, M. J., N. A. Berman, and D. A. Holady: Carbon

dioxide and oxygen blood levels with a carbon dioxide controlled artificial respirator, Anesthesiology, 20:313-320, 1959.

12) Lambertsen, C. J., and H. Wendel: An alveolar P_{CO_2} control system, its use to magnify respiratory depression by meperidine, J. Appl. Physiol. 15:43-48, 1960.

13) Holloman, G. H., H. T. Milhorn, and T. G. Coleman: A sampled data regulator for maintaining a constant alveolar CO_2 , J. Appl. Physiol. 25:463-468, 1968.

14) 神山守人, 橋直也, 山村秀夫: 調節呼吸の自動制御について, 麻酔, 17:1047-1048, 1968

15) Beecher, H. K., and A. J. Murphy: Acidosis during thoracic surgery, J. Thoracic Surgery. 19:50-70, 1950.

16) Slead, W. W., F. E. Martin, and N. K. Jensen: Physiologic studies following thoracic surgery, J. Thoracic Surgery. 25:435-447, 1953.

17) Etsten, B. E.: Respiratory acidosis during intrathoracic surgery. J. Thoracic Surgery. 25:286-299, 1953.

18) Severinghaus, J. W., and M. Stupfel: Alveolar dead space as an index of distribution of blood flow in pulmonary capillaries, J. Appl. Physiol. 10:335-348, 1957.

19) Nunn, J. F., and D. W. Hill: Respiratory dead space and arterial to end-tidal CO_2 tension difference in anesthetized man, J. Appl. Physiol. 15:383-389, 1960.

20) Cooper, E. A.: Physiological dead space in passive respiration, Anesthesia. 22:199-219, 1967.

21) Bradley, A. F., M. A. Stupfel, and J. W. Severinghaus: The effect of temperature on P_{CO_2} and P_{O_2} of blood in vitro, J. Appl. Physiol. 9:201-204, 1956.

22) Rohrer, F.: Physiologie der Atembewegung: Handbuch der normalen und path. Physiologie, edited by A. T. J. Bethe et al.

- Berlin: Springer 12:70-127, 1925.
- 23) Otis, A. B., W. O. Fenn, and H. Rahn: The mechanics of breathing of man, J. Appl. Physiol. 2:592-607, 1950.
- 24) 三上智久・吉孝千穂: 呼吸力学系の最小エネルギー制御, 医用電子と生体工学, 4: 12-21, 1966
- 25) Etsten, B.: Respiratory effect of a calibrated volume-limited pressure variable ventilator during surgery, J. Appl. Physiol. 14:736-, 1959.
- 26) 三上智久: スピロメーターのための位置変換器, 医用電子と生体工学, 8:229-231, 1970
- 27) Pontoppidan, H., J. H. Whyte, H. H. Bendixen, M. B. Laver, and E. P. Radford: Ventilation and oxygen requirements during prolonged artificial ventilation in patients with respiratory failure, New Engl. J. Med. 273:401-409, 1965.
- 28) Nunn, J. F.: Ventilation nomograms during anesthesia, Anesthesia. 15:65, 1960.
- 29) Suwa, K., J. H. Whyte, and H. H. Bendixen: Circulation and physiologic dead space changes on controlling the ventilation of dogs, J. Appl. Physiol. 21:1855-1859, 1966.
- 30) Askrog, V.: Changes in $(a-A)CO_2$ difference and pulmonary artery pressure in anesthetized man, J. Appl. Physiol., 21:1299-1305, 1966.
- 31) Watson, W. E.: Observations on physiological deadspace during intermittent positive pressure respiration, Brit. J. Anesth., 34:502-508, 1962.
- 32) Crossman, P. F., L. S. Bushnell, and J. H. Whyte: Dead space during artificial ventilation: gas compression and mechanical dead space, J. Appl. Physiol. 28:94-97, 1970.
- 33) Therton, J. A.: Physiological dead space, Anesthesia, 15: 381-393, 1960.

- 34) Markello, R., J. A. Cutter, and B. D. King: Hyperventilation studies during nitrous oxide narcotic-relaxant anesthesia, Anesthesiology. 24:225-230, 1963.
- 35) Slater, E. M., S. E. Nilsson, D. L. Leake, M. B. Laver, J. H. Whyte, and H. H. Bendixen: Arterial oxygen tension measurements during nitrous oxide-oxygen anesthesia, Anesthesiology. 26:642-647, 1965.

著者の発表論文

論文

1. Mitamura, Y., T. Mikami, H. Sugawara, and C. Yoshimoto. "An optimally controlled respirator" IEEE Transaction on Biomedical Engineering (昭和45年9月2日受付)
2. 三田村好矩、三上智久、菅原宏見、吉本千穂：最適呼吸制御装置による呼吸の自動管理、医用電子と生体工学（昭和46年1月28日受付）
3. 高谷邦夫・三田村好矩・吉本千穂：呼吸の適応制御に関する研究
Ⅱ 呼吸制御装置の最適設計について、応用電気研究所彙報 18: 169-186, 1966
4. 吉本千穂・三田村好矩：呼吸の適応制御に関する研究、医用電子生体工学研究会（電子通信学会）、MBE 68-12, 1968
5. 三田村好矩・菅原宏見・三上智久・吉本千穂：人工呼吸の最適制御、生体工学と制御工学シンポジウム講演論文集 pp. 95-99, 1970

学会発表

1. 三田村好矩、高谷邦夫、吉本千穂：呼吸の適応制御に関する研究
— V_{CO_2} による呼吸制御の試み、第6回日本ME学会大会, 1967
2. 三田村好矩・高谷邦夫・三上智久・吉本千穂：呼吸の適応制御に関する研究 V_{CO_2} による呼吸制御装置の試作、第7回日本ME学会大会 NO. 108, 1968
3. 三上智久・三田村好矩・菅原宏見・二川清弘・吉本千穂：最適呼吸制御装置について、第8回日本ME学会大会, NO. C-88, 1969
4. 三田村好矩・菅原宏見・三上智久・吉本千穂：陽圧呼吸装置一生体系の呼吸動態、第8回日本ME学会北海道支部大会, 1969
5. 菅原宏見・三上智久・三田村好矩・吉本千穂・小野功一：麻酔犬における炭酸ガス静脈内負荷にたいする呼吸系の応答、第49回北海道医学大会生理系分科会 NO. 3, 1969

6. 菅原宏見・三上智久・三田村好矩・吉幸千穂：換気量および呼吸様式による
呼吸死腔量の変化，第3回日本胸部疾患学会 北海道地方会総会 No.18,
1969
7. 三上智久・三田村好矩・菅原宏見・吉幸千穂：補助呼吸の制御装置，
第9回日本ME学会大会，No.C-26, 1970
8. 菅原宏見・三田村好矩・三上智久・吉幸千穂：最適呼吸の実験的研究，
第9回日本ME学会大会，No.C-27, 1970
9. 菅原宏見・三田村好矩・三上智久・吉幸千穂：最適呼吸制御装置による
呼吸の自動管理，第17回日本麻酔学会 No.71, 1970
10. 山季亮え・三田村好矩・菅原宏見・三上智久・吉幸千穂：低酸素および
炭酸ガス負荷による血流分布の変化，第23回日本循環器学会 北海道地方会
No.8, 1970
11. 三田村好矩・三上智久・菅原宏見・吉幸千穂：最適呼吸制御装置と生体
系の換気動態の解析，第9回日本ME学会 北海道支部大会，No.2, 1970